# ГОСУДАРСТВЕННЫЙ КОМИТЕТ СССР ПО ГИДРОМЕТЕОРОЛОГИИ И КОНТРОЛЮ ПРИРОДНОЙ СРЕДЫ

## ТРУДЫ ОРДЕНА ТРУДОВОГО КРАСНОГО ЗНАМЕНИ ГЛАВНОЙ ГЕОФИЗИЧЕСКОЙ ОБСЕРВАТОРИИ им. А.И.ВОЕЙКОВА

Выпуск

439

## ФИЗИКА ОБЛАКОВ И АКТИВНЫХ ВОЗДЕЙСТВИЙ

Под редакцией д-ра физ.-мат. наук Н. С. ШИШКИНА канд. физ.-мат. наук Ю. А. ДОВГАЛЮК



201,200. p. 221,240

УДК 551.576+551.509.6

Сборник содержит статьи, посвященные теоретическим и экспериментальным исследованиям облаков и физических процессов, протекающих в них при интенсивном развитии и при воздействиях.

Излагается методика расчетов запасов конвективной энергии в атмофере и влагозапаса облаков над большими территориями. Описан способ восстановления профиля осадков в слоистообразных облаках по данным об осадках

V земли

Приводятся данные лабораторных исследований разрушения капель растворов и их заряжения при замерзании. Обсуждаются результаты исследований свойств конвективных облаков с помощью ИК радиометра. Анализируются данные натурных экспериментов по вызыванию искусственных осадков и борьбе с градом. В сборник помещены также материалы исследований облачных ресурсов в лесной зоне СССР применительно к задаче тушения лесных пожаров искусственно вызываемыми осадками.

Сборник рассчитан на научных сотрудников, работающих в области физи-

ки облаков и активных воздействий.

The publication contains articles dealing with theoretical and experimental studies of clouds and physical processes in them during intensive development and when seeding.

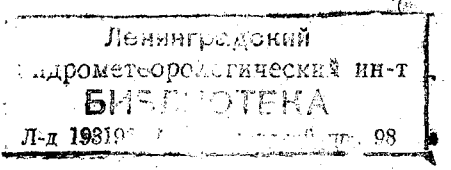
The procedure is given for calculating the convective energy store in the atmosphere and cloud moisture store over vast territories. There is described a method for reconstructing precipitation profile in stratiform clouds by the data

on precipitation near ground.

The data are presented on laboratory studies of solution drop destruction and drop charging when freezing. There are discussed results of studying the properties of convective clouds with IR radiometer. The data of field experiments on artificial rain initiation and protection against hail are analyzed. The publication includes also the materials of studying cloud resources in the forest zone of the USSR as applied to the problem of forest fire extinguishing by artificially initiated rainfall.

The publication is meant for researchers working in the field of cloud physics

and weather modification.



 $\Phi \frac{20405-069}{069(02)-81} = 22-80(2)$ . 1903040000

С Главная геофизическая обсерватория им. А. И. Воейкова (ГГО), 1981 г.

## О ЗАПАСАХ КОНВЕКТИВНОЙ ЭНЕРГИИ В АТМОСФЕРЕ

Запасы конвективной энергии атмосферы в дни с неустойчивой стратификацией температуры могут иметь весьма большие значения. Их учет важен для создания теории атмосферной циркуляции. Простой путь к вычислению этих запасов над большими территориями открывает метод слоя, предложенный Бьеркнесом [4]. Основное высвобождение конвективной энергии происходит при развитии конвективных облаков. Бьеркнес рассмотрел атмосферный слой толщиной z, в котором происходит развитие облаков в количестве  $S_{\rm B}$  и имеются безоблачные промежутки  $S_{\rm C}$ , где возникает компенсирующее опускание воздуха. Вся рассматриваемая площадь принимается равной

$$S_{\rm B} + S_{\rm c} = 1, \tag{1}$$

Для изменения тепловой энергии в слое за единицу времени можно написать

$$\frac{\partial Q}{\partial t} = c_p \left( M_{\rm B} \frac{\partial T_{\rm B}}{\partial t} + M_{\rm c} \frac{\partial T_{\rm c}}{\partial t} \right), \tag{2}$$

где  $M_{\rm B}\!=\!\rho_{\rm B}S_{\rm B}z$  и  $M_{\rm C}\!=\!\rho_{\rm C}S_{\rm C}z$  массы облачного и сухого воздуха в слое z соответственно;  $\frac{\partial T_{\rm B}}{\partial t}=v_{\rm B}(\gamma-\gamma_{\rm B})$ ,  $\frac{\partial T_{\rm C}}{\partial t}=v_{\rm C}(\gamma-\gamma_{\rm C})$  — изменения температуры влажного и сухого воздуха при подъеме или опускании,  $(v_{\rm B}$  и  $v_{\rm C}$  вертикальные скорости влажного и сухого воздуха),  $c_p$  — теплоемкость воздуха при постоянном давлении.

Предположим, что облака имеют цилиндрическую форму, а плотности влажного  $\rho_B$  и сухого  $\rho_C$  воздуха равны. Изменения плотности воздуха в слое с высотой не учитываются.

При развитии конвективной циркуляции должен выполняться закон сохранения массы

$$M_{\rm B}v_{\rm B} + M_{\rm c}v_{\rm c} = 0. \tag{3}$$

Я. Бьеркнес преобразовал выражение (2), прибавив и вычтя в правой части член  $c_p M_{\rm B} \frac{\partial T_{\rm c}}{\partial t}$ .

Получаем при этом

$$\frac{\partial Q}{\partial t} = c_p \left[ (M_{\rm B} + M_{\rm c}) \frac{\partial T_{\rm c}}{\partial t} + M_{\rm B} \left( \frac{\partial T_{\rm B}}{\partial t} - \frac{\partial T_{\rm c}}{\partial t} \right) \right]. \tag{4}$$

Первый член в квадратных скобках характеризует изменение тепловой энергии всей массы воздуха  $M_{\rm B}+M_{\rm C}=M$  в слое z при развитии конвекции, а второй — избыточное нагревание (или охлаждение) облачного воздуха.

Исследованиям второго члена было уделено наибольшее внимание. Помимо Я. Бьеркнеса, его выполняли С. Петтерсен [5], А. Ф. Дюбюк [1] и автор [2, 3]. В частности, в работе [2] получены выражения:

а) для тепловой энергии соленоидального члена в слое толииной H:

$$Q_{\rm K} = c_p \overline{\rho} H \frac{S_{\rm B}}{S_{\rm C}} [(T_{\rm B} - T) - S_{\rm B}(T_{\rm B} - T_{\rm C})], \tag{5}$$

где  $\overline{\rho}$  — средняя плотность воздуха  $T_{\rm B}$ ,  $T_{\rm C}$  и T — температура воздуха, поднимающегося соответственно по влажной, сухой адиабатам и по фактической кривой стратификации от нижней до верхней границы слоя;

б) для оптимального количества облаков, при котором высво-

бождается максимальная тепловая энергия конвекции

$$S_{\rm o} = 1 - \sqrt{\frac{T - T_{\rm c}}{T_{\rm R} - T_{\rm c}}};$$
 (6)

в) для кинетической энергии единицы массы облачного воздуха

$$\frac{v^2}{2} = \frac{gH}{\sigma T_0} [(T_0 - T) - S_B(T_B - T_c)], \tag{7}$$

где g — ускорение силы тяжести,  $T_0$  — абсолютная температура на нижней границе слоя.

При получении формул (5)—(7) принимались во внимание

следующие упрощения:

— вертикальный градиент температуры в слое предполагается постоянным,

— скорость подъема облачного воздуха  $v_{\rm B}$  считается одинаковой для всего горизонтального сечения облака, так же как и скорость опускания воздуха  $v_{\rm c}$  в безоблачных промежутках. С учетом закона сохранения массы мгновенные значения величин  $v_{\rm B}$  и  $v_{\rm c}$  будут одинаковы и по высоте. Это существенно упрощает интегрирование уравнений вида (2), (4), так как  $\frac{\partial Q}{\partial t}$  превращается в полную производную.

В настоящей статье излагается методика расчета полной тепловой энергии, высвобождаемой при развитии конвективных об-

лаков.

Определение полной энергии, высвобождающейся при развитии конвективных облаков. Рассмотрим выражение

$$\frac{\partial Q_M}{\partial t} = c_p M \frac{\partial T_c}{\partial t}.$$
 (8)

Вместо производной в правой части с учетом (3) можно написать

$$\frac{\partial T_{\rm c}}{\partial t} = -\frac{S_{\rm B}}{S_{\rm c}} v_{\rm B} (\gamma_{\rm c} - \gamma),$$

а следовательно, (8) примет вид

$$\frac{\partial Q_M}{\partial t} = -c_p M \frac{S_B}{S_C} v_B (\gamma_C - \gamma). \tag{9}$$

Для слоя с постоянным градиентом температуры  $\gamma$ , заданными значениями  $S_{\rm B}$  и M с учетом, что скорость  $v_{\rm B}$  будет функцией только времени t, можно написать вместо частной производной  $\frac{\partial Q_M}{\partial t}$  полную производную

$$\frac{dQ_M}{dt} = -c_p M \frac{S_B}{S_C} v_B(t) (\gamma_C - \gamma). \tag{10}$$

Интегрирование уравнения для момента времени, когда мощность облака равна H, дает

$$Q_{\mathcal{M}} = c_{p} \overline{\rho} H \frac{S_{\text{B}}}{S_{\text{c}}} (T - T_{\text{c}}). \tag{11}$$

Общее количество выделенной тепловой энергии мы получим, суммируя (5) и (11):

$$Q = Q_M + Q_K = c_p S_B \rho H(T_B - T_c). \tag{12}$$

Произведение  $S_{BP}H$  дает общую массу облачного воздуха в слое толщиной H (в условных единицах).

Интересно отметить, что в формуле (12) отсутствует в явном виде фактический вертикальный градиент температуры. Однако величина  $\gamma$  определяет количество облаков  $S_{\rm B}$  и их мощность H.

Отношение количеств тепла, идущих на избыточный нагрев облачного воздуха (5) и на нагрев всей массы воздуха (11) равно

$$\frac{Q_{\rm K}}{Q_M} = \frac{T_{\rm B} - T}{T - T_{\rm c}} - S_{\rm B} \frac{T_{\rm B} - T_{\rm c}}{T - T_{\rm c}}.$$
 (13)

При оптимальном количестве облаков  $S_{\rm o}$  получаем простое выражение

$$\frac{Q_{\kappa}}{Q_M} = \frac{S_0}{1 - S_0},\tag{14}$$

т. е. количества тепловой энергии относятся как количества облаков и безоблачных промежутков.

Если учесть, что на работу образования конвективных облаков идет лишь незначительная часть  $Q_{\rm k}$ , определяемая коэффициентом полезного действия конвективной тепловой машины (в реальных условиях она обычно не превышает 3—5%), то очевидно, что почти вся скрытая теплота конденсации, высвобождающаяся при развитии облаков, идет на нагревание масс воздуха.

Если облака при своем развитии охватывают несколько атмосферных слоев с различными значениями  $\gamma$ , то приближенное выражение для высвобождающейся тепловой энергии при развитии конвективных облаков в количестве  $S_{\rm B}$  мы получим, суммируя ее

изменение по слоям.

При этом предполагается, что при развитии через несколько слоев с разными значениями γ облака сохраняют цилиндрическую

форму.

Пример расчета запасов конвективной энергии. Вычисление полной тепловой энергии облачной конвекции производят по данным аэрологического зондирования с использованием приемов расчета возможной мощности конвективных облаков и эпюры скорости их развития [2]. Для этого аэрологическая диаграмма разбивается на слои (толщиной 50-100 мбар) с постоянными значениями  $\gamma^*$ . По формуле (6) находят значения  $S_B = S_{01}$  для 1-го слоя. Подставляют это значение в формулу для вычисления скорости роста конвективных облаков:

$$\frac{v^2}{2} = \frac{gH}{6T_0} \sum_{k} \left[ (T_{\rm B} - T)_k - S_{\rm B} (T_{\rm B} - T_{\rm c})_k \right],\tag{7'}$$

при их развитии через несколько слоев с различными значениями  $\gamma$  и находят положение верхней границы облаков как уровень, на котором вертикальная скорость развития v обращается в нуль.

Затем находят оптимальное количество облаков  $S_{o2}$  для роста

облаков выше этого уровня по формуле

$$S_{o} = 1 - \sqrt{\frac{\sum_{k} (T - T_{c})_{k}}{\sum_{k} (T_{B} - T_{c})_{k}}}.$$
 (6')

Повторяя ту же процедуру, находят верхнюю границу облаков при их количестве  $S_{\rm o2}$  и т. д.

Следует также иметь в виду, что при выпадении дождя в пункте радиозондирования в период выпуска и подъема зонда его данные являются нереп-

резентативными для расчетов по методу слоя.

<sup>\*</sup> Перед выполнением расчетов следует проверить, достаточны ли запасы влаги в атмосфере для развития конвективных облаков. Эмпирическое правило гласит: если сумма дефицитов точки росы на уровнях 850, 700 и 500 мбар превышает 30°С, то влажность воздуха недостаточна для развития мощных конвективных облаков. Если слой неустойчивости не очень мощный, то развитие облаков не ожидается, если суммарный дефицит точки росы на уровнях 850 и 700 мбар превышает 20°С.

Как правило, рост облаков до максимального уровня, возможного при данной стратификации температуры, происходит за 2-4 этапа

После того как найдены возможные оптимальные количества облаков  $S_0$  и их вертикальные мощности H, вычисляют Q.

Получаемое таким образом высвобождение тепловой энергии относится к зоне репрезентативности данных радиозондирования (круг радиусом порядка 150 км с центром в пункте зондирования). При этом предполагается, что облака на последующих этапах развития образуются независимо от облаков, возникших на предыдущем этапе. Наше предположение, вероятно, приводит к некоторому завышению значений конвективной энергии, тем более, что в расчетах не принимается во внимание распад облаков, обусловливающий затраты тепловой энергии.

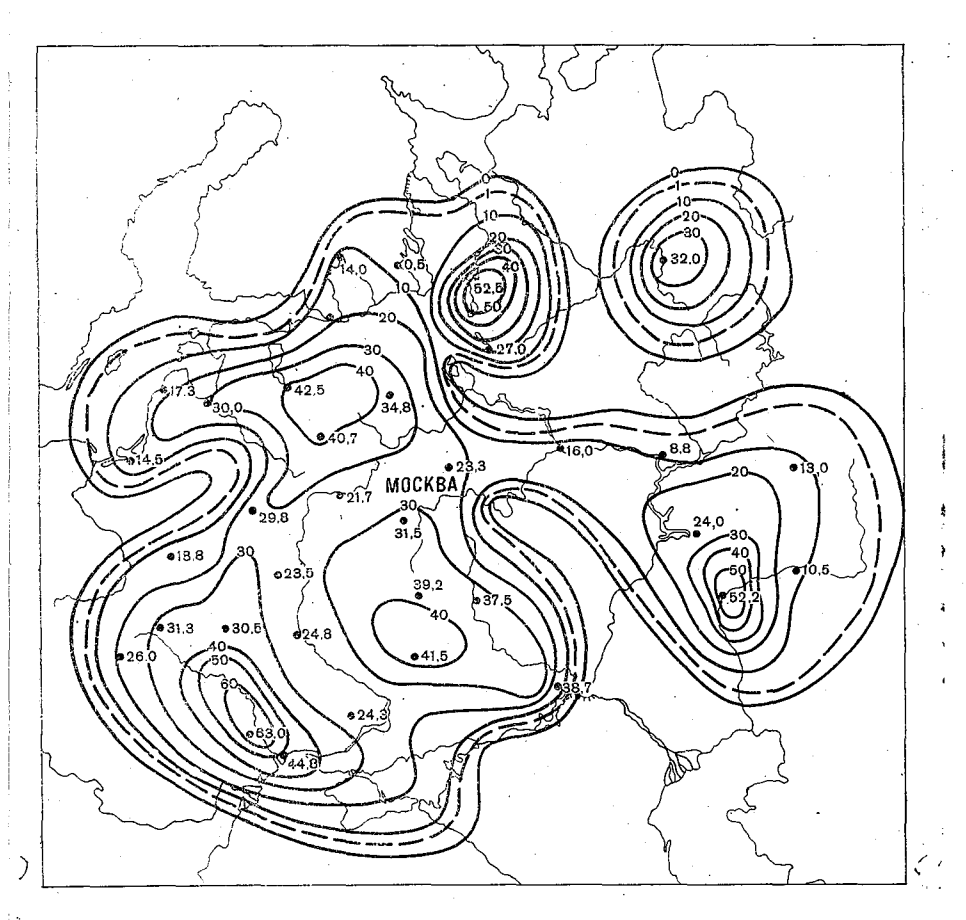


Рис. 1. Вычисленный запас конвективной энергии (10<sup>12</sup> Дж/км<sup>2</sup>) над ЕТС в период максимума конвекции 14 июля 1964 г.

При расчетах по данным нескольких пунктов радиозондирования можно выявить макромасштабные зоны с повышенным и пониженным высвобождением тепла при развитии конвективной облачности. Можно ожидать, что выявление таких зон будет способствовать предсказанию участков зарождаемости атмосферных фронтов.

При вычислении запасов тепловой энергии удобно выражать  $\bar{\rho}$  в кг/м³, H в метрах, T в Кельвинах. Так как  $c_p = 10^3$  Дж/(кг·К) и количество облаков  $S_{\rm B}$  выражается в безразмерных единицах (10 баллов облаков принимаются за 1), то расчетную формулу можно записать в виде

$$Q = 10^{6} \bar{\rho} S_{\rm B} H (T_{\rm B} - T_{\rm c}). \tag{15}$$

Величина Q выражается в Дж/м $^2$  и реализуется к моменту максимума конвекции.

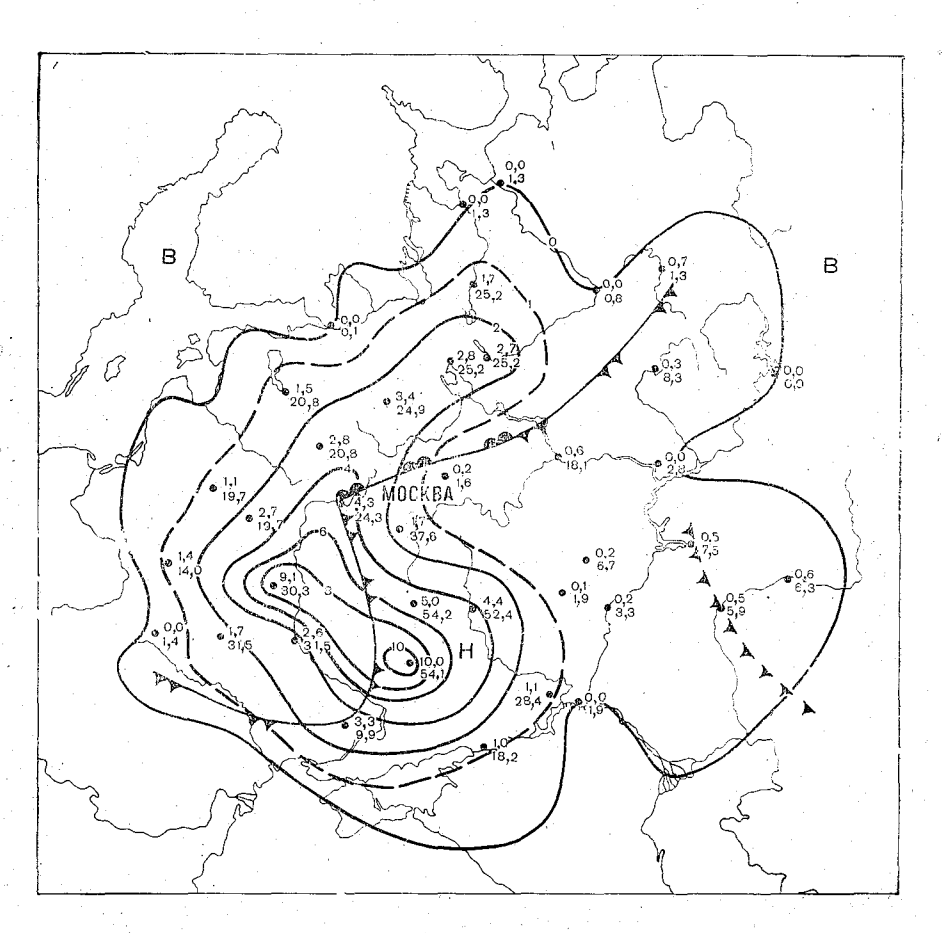


Рис. 2. Ареалы осадков на ЕТС за 14 июля 1964 г.

На рис. 1 дан пример вычисления запасов конвективной энертии в атмосфере для Европейской территории СССР в день с интенсивной конвекцией 14 июля 1964 г.

Обильные ливневые осадки на значительной территории связаны с прохождением фронта с волнами и вторичного холодного фронта (рис. 2). Карта осадков построена Е. В. Оренбургской. Она определяла для каждой зоны радиусом 150 км вокруг пункта радиозондирования максимальное количество выпавших за сутки осадков и среднее количество осадков в расчете на всю площадь зоны независимо от того, на какой части площади осадки выпадали. Изолинии построены по средним количествам осадков для разных зон на ЕТС. Положения фронтальных разделов указаны на 21 ч московского времени.

Как видно из сравнения рис. 1 и 2, основные области повышенных значений тепловой энергии конвекции соответствуют аре-

алам фронтальных осадков.

В области фронта с волнами вычисленные значения конвективной энергии для периода максимума конвекции достигали  $(53 \div 63) \cdot 10^6 \ \text{Дж/м}^2$ .

Максимальные количества фронтальных осадков составляли здесь 40—50 мм, а средние количества осадков — 5—10 мм.

В области вторичного холодного фронта значения конвективной энергии, полученные в расчете, достигали  $52 \cdot 10^6$  Дж/м². Среднее количество осадков здесь не превышало 0.5-0.6 мм, а максимальное достигало 18.1 мм (Горький). Сопоставление значений для двух областей позволяет сделать вывод, что в треугольнике Горький — Уфа — Уральск нами получены завышенные значения тепловой энергии конвекции. Ее реализация ослаблялась влиянием усиливающегося антициклона, обусловливающего и размывание вторичного холодного фронта, что в расчетах энергии конвекции не учитывалось.

Приведенные выше максимальные значения тепловой энергии конвекции превышают суточный приход солнечной радиации при ясном небе в несколько раз \*. Это означает, что накопление энергии неустойчивости для образования активных циклонических областей должно происходить в течение 2—3 суток, т. е. порядка половины естественного синоптического периода.

Рассчитанное указанным способом высвобождение конвективной энергии может параметрически сводиться в системы уравнений, описывающих атмосферную циркуляцию.

В заключение можно сделать следующие выводы.

1. Развитие метода слоя позволило получить простое выражение для запасов тепловой энергии, высвобождающейся при образовании конвективных облаков.

34 3603 4 8,64 30 C.

<sup>\*</sup> Например, для широты Сухуми суточный приток радиации при безоблачном небе составляет  $30\cdot 10^6$  Дж/м².

2. Используя данные сети станций аэрологического зондирования можно рассчитывать запасы энергии в период максимума конвекции над большими площадями, что может иметь существенное значение для развития теории атмосферной циркуляции.

#### СПИСОК ЛИТЕРАТУРЫ

1. Дюбюк А. Ф. К вопросу о разрешении влажной неустойчивости и конвекции. — Труды НИУ ГУГМС, 1945, сер. 1, вып. 7.

2. Шишкин Н. С. Облака, осадки и грозовое электричество. — Л.: Гидрометеоиздат, 1964. — 399 с.

3. Шишкин Н. С. К вопросу об учете влияния фазовых превращений воды на скорость вертикального развития конвективного облака. — Труды ГГО, 1972, вып. 278, с. 29—38.

1972, вып. 278, с. 29—38.

4. В jerk nes J. Saturated-adiabatic ascent of air through dryadiabatically descending environment.— Q. J. Roy. Met. Soc., 1978, vol. 64, № 275.

5. Petterssen S. Contribution to the theory of convection.—Geoph. Publ., 1979, vol. 12, № 9.

## К РАСЧЕТУ ВОДОЗАПАСА КОНВЕКТИВНЫХ ОБЛАКОВ НАД БОЛЬШИМИ ТЕРРИТОРИЯМИ

В статьях [1, 2] была произведена попытка оценки водных запасов конвективных облаков, развивающихся над значительной территорией, по данным расчетов оптимального количества облаков и их объемов по методу слоя и экспериментальным данным о водности облаков. Рассчитанные объемы облаков сопоставлялись с радиолокационными данными об объемах радиоэха в часы максимума конвекции, а вычисленные водные запасы — с количеством фактически выпавших ливневых осадков, что позволяло определять средние поправочные коэффициенты к рассчитанным водным запасам. При этом получался сильный разброс данных для отношения рассчитанных суммарных водных запасов конвективных облаков к количеству выпавших ливневых осадков за день.

В настоящей статье изложен новый способ расчета водных запасов конвективных облаков, базирующийся на развитии метода слоя.

**Теория вопроса.** В работе [4] изложен способ расчета полной тепловой энергии, высвобождающейся при развитии конвективных облаков в атмосфере с неустойчивой стратификацией температуры.

 $\Pi$ ри образовании облаков в количестве  $\mathcal{S}_\mathtt{B}$  мощностью H вы-

ражение для энергии имеет следующий вид

$$Q = c_p \overline{\rho} S_{\rm B} H(T_{\rm B} - T_{\rm c}), \tag{1}$$

где  $c_p$  теплоемкость воздуха при постоянном давлении,  $\rho$  — средняя плотность воздуха в слое развития облаков,  $T_{\rm B}$  и  $T_{\rm C}$  — температура воздуха, поднимающегося от нижней до верхней границы слоя по влажной и сухой адиабатам соответственно.

Как указывал еще основоположник метода слоя Бьеркнес [5], единственным источником энергии облачной конвекции является конденсация водяного пара. Поэтому для определения количества сконденсированной влаги мы должны разделить высвобо-

дившуюся при развитии конвективных облаков тепловую энер гию Q на скрытую теплоту конденсации  $L_{\kappa}^*$ :

$$M = \frac{Q}{L_{\rm K}} = \frac{c_p}{L_{\rm K}} \bar{\rho} S_{\rm B} H (T_{\rm B} - T_{\rm c}). \tag{2}$$

Так как  $c_p = 10^3$  Дж/(кг·К),  $L_{\rm R} = 2.5 \cdot 10^6$  Дж/кг, то расчетная формула для определения запасов воды в атмосферном столбе получает вид

$$M = 4 \cdot 10^{-4} \overline{\rho} \, S_{\scriptscriptstyle B} H (T_{\scriptscriptstyle B} - T). \tag{3}$$

Если выражать  $\bar{\rho}$  в кг/м³, H в километрах и учитывать, что площадь  $S_{\rm B}$  — в безразмерных единицах (10 баллов облаков прини-

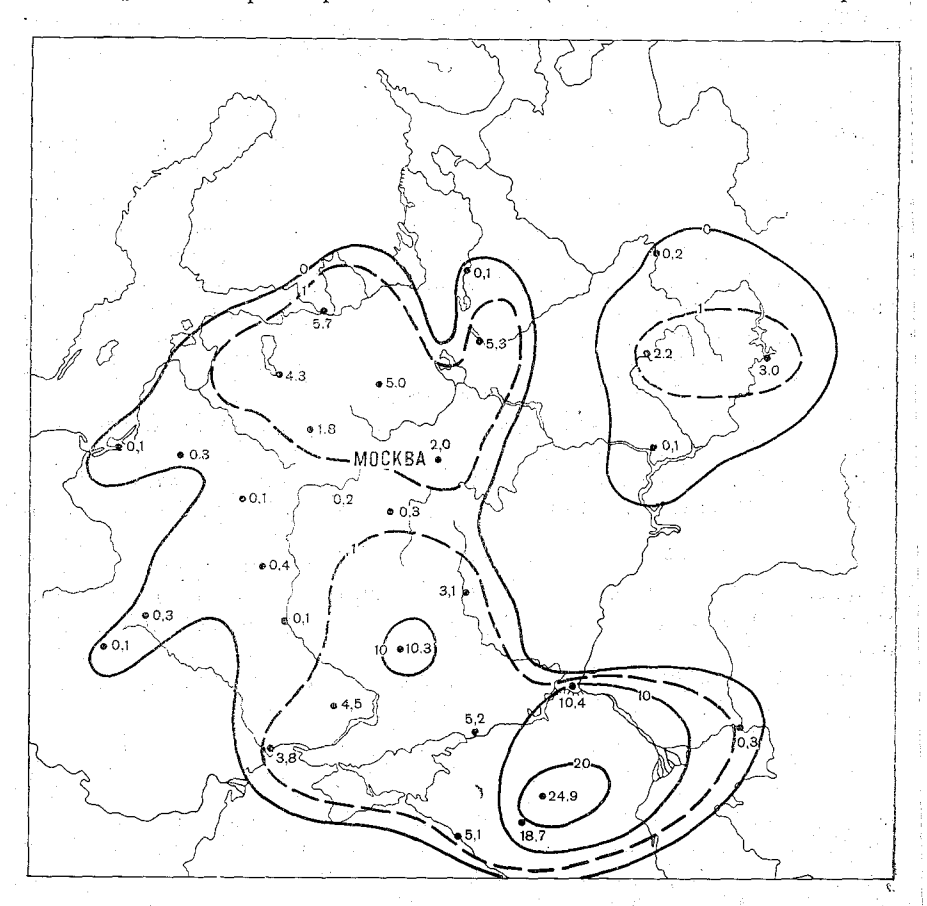


Рис. 1. Вычисленный водозапас (мм) конвективных облаков над ETC в период максимума конвекции 25 мая 1964 г.

<sup>\*</sup> Строго говоря, при расчетах следовало бы учитывать также высвобождение тепла при замерзании капель и при сублимации водяного пара [3].

мается за 1), то получим *М* в миллиметрах. Способ расчета *М* 

акой же, как для Q. Последний изложен в [4].

Примеры расчета водозапаса облаков. Мы выполнили расчет одозапаса конвективных облаков над Европейской территорией ССР для двух дней с активной конвекцией, сопровождающейся ыпадением ливневых осадков.

На рис. 1 приведены результаты расчета водозапасов на пеиод максимума конвекции за 25 мая 1964 г. Данные о количетве фактически выпавших осадков за сутки представлены на ис. 2. На рис. 3 и 4 приведены аналогичные сведения за 15 авуста 1964 г. Қарты осадков построены Е. В. Оренбургской.

Способ построения карт изложен подробно в статье [4]. Приеденные на картах значения влагозапасов конвективных облаковычислены по данным аэрологического зондирования для зоны адиусом 150 км вокруг пункта выпуска радиозондов. Изолинии

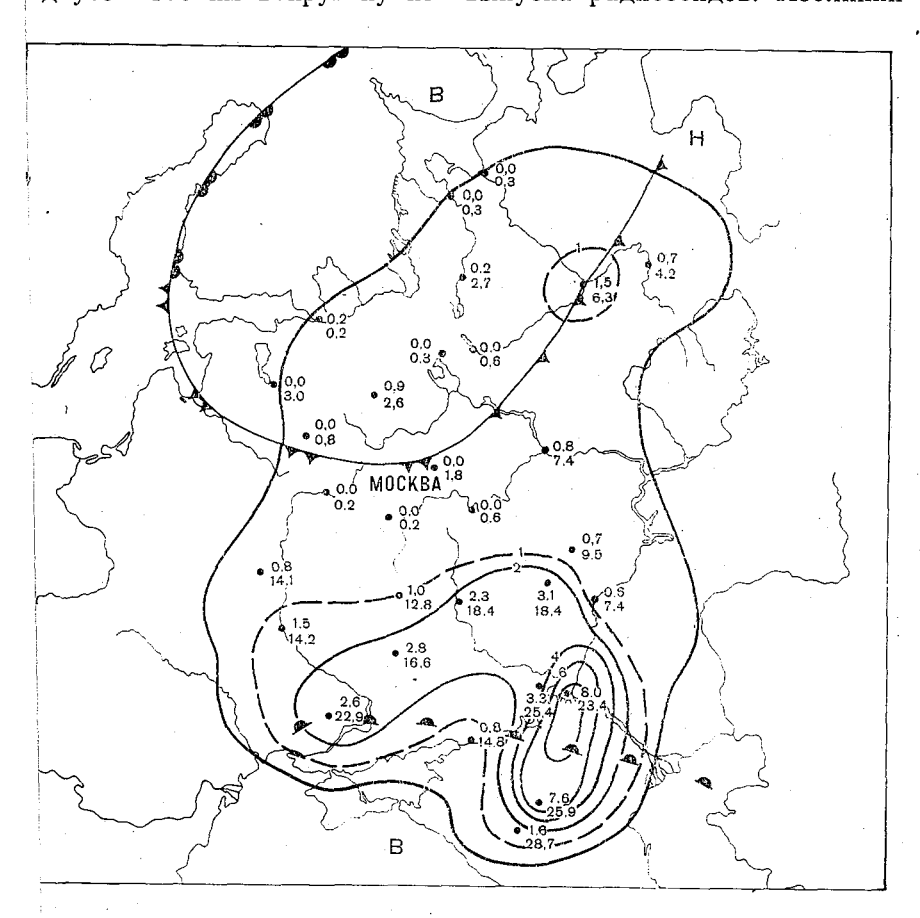


Рис. 2. Ареалы осадков на ЕТС за 25 мая 1964 г.

проведены через 10 м по данным для большого числа зон. Пунк тиром проведена линия, соответствующая влагозапасу облако 1 мм.

На картах осадков приведены данные о максимальном их ко личестве (мм) в зоне радиусом 150 км вокруг пункта аэрологи ческого зондирования (нижняя цифра) и о среднем количеств осадков, отнесенном ко всей площади зоны независимо от того в каких ее частях выпадали осадки (верхняя цифра). Изолини проведены по средним значениям в разных зонах ЕТС через 2 мм Пунктиром проведены изолинии количества осадков 1 мм. Положения фронтальных зон указаны за 21 ч московского времени

Как видно при сравнении рисунков, ареалы водозапаса близки к ареалам выпадения осадков. В частности, 25 мая 1964 гобласть значительного водозапаса облаков в нижней части Еврс пейской территории СССР (рис. 1) хорошо согласуется с ареа

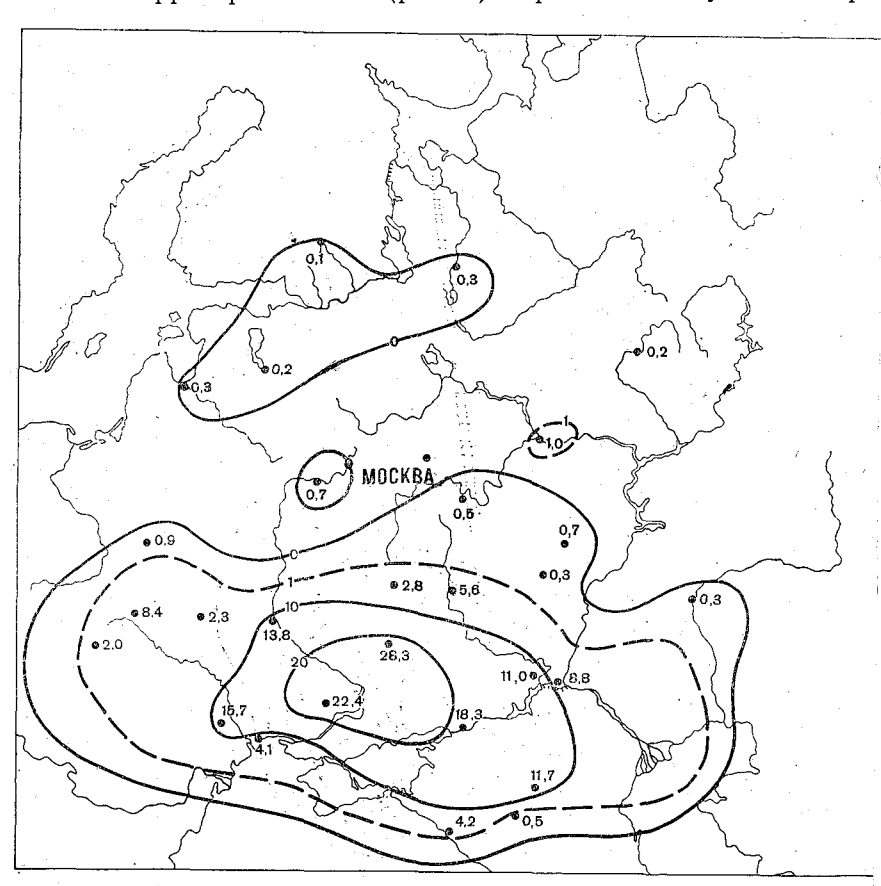


Рис. 3. Вычисленный водозапас (мм) конвективных облаков над ETC в период максимума конвекции 15 августа 1964 г.

лом ливневых осадков (рис. 2), за исключением района Астрахань — Гурьев. Наиболее сильные осадки отмечены в районе Волгоград — Дивное — Минеральные Воды. Здесь среднее количество их составляло 7,6—8,3 мм, а максимальное — 23—29 мм. Рассчитанный водозапас конвективных облаков в этом районе составляет 10—25 мм.

Небольшая область повышенного водозапаса в районе Ленинград—Вологда, по-видимому, не реализовалась под влиянием усиления антициклона, и лишь в районе Котласа отмечено выпадение слабых ливневых осадков на вторичном холодном фронте.

На значительной территории, где рассчитанный водозапас менее 1 мм, отмечалось выпадение ливневых дождей на одной или нескольких станциях зоны радиусом 150 км вокруг пункта радиозондирования. Среднее количество осадков при этом также обычно не превышало 1 мм.

15 августа 1964 г. на карте (рис. 3) в районе Харькова резко-

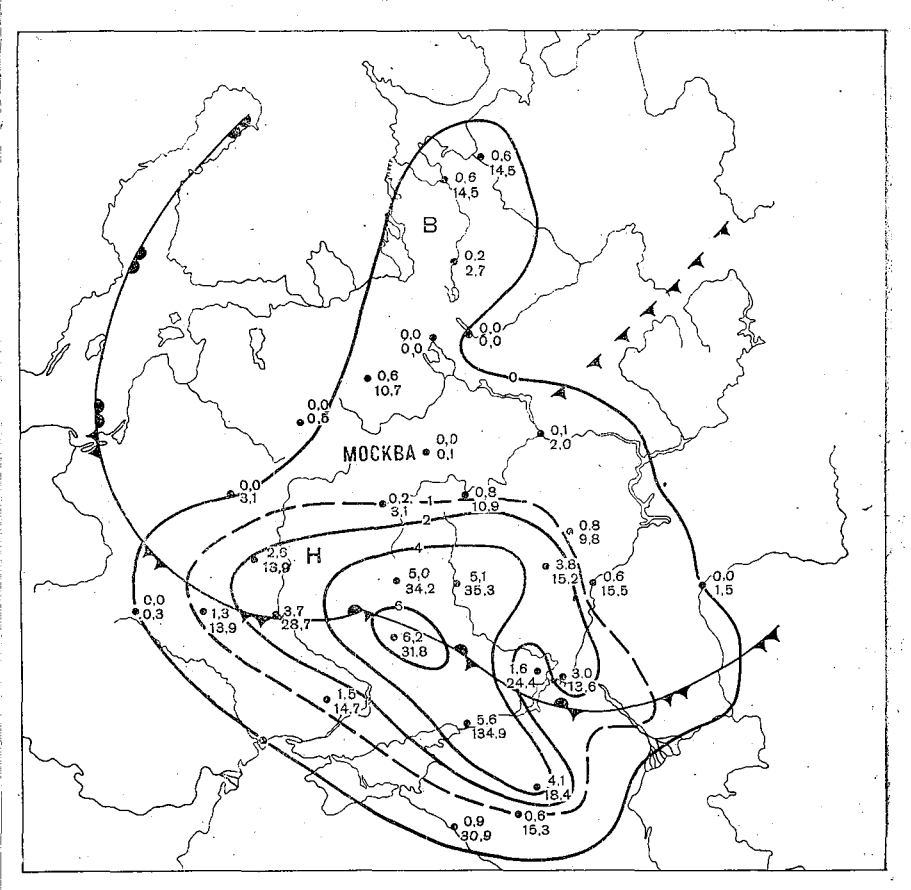


Рис. 4. Ареалы осадков на ЕТС за 15 августа 1964 г.

выделяется зона с максимальными значениями (28,3 мм). Она хорошо согласуется с ареалом выпадения интенсивных ливневых осадков в области фронта окклюзии (рис. 4), за исключением Астраханской области. Среднее количество выпавших осадков в районе Харьков — Ростов-на-Дону составляло 5,6-6,2 мм, максимальное количество осадков в районе Харькова достигало 31,8 мм, а в районе Ростова-на-Дону — 134,9 мм. Зоны с суммарным водозапасом облаков менее 1 мм (Киров — Сухиничи — Тамбов, Каргополь — Псков), близки к ареалам ливневых осадков, полученным по данным одной или нескольких станций внутри круга радиусом 150 км с центром в пункте радиозондирования (за исключением Прибалтики, где осадки не выпадали). Фактическое среднее количество осадков за сутки в указанных районах не превышало 1 мм, однако на отдельных станциях их количество составляло 10—15 мм. Полного соответствия рассматриваемых карт не отмечается и не должно быть, так как 1) водозапас облаков вычислен для дневного времени суток (период максимума конвекции), а количество осадков дано за сутки, 2) расчеты конвекции выполнялись по данным утреннего аэролотического зондирования; при этом последующая трансформация воздушной массы и ее перенос не учитывались.

По порядку величины данные о водозапасе и об осадках со-

гласуются удовлетворительно.

Отношение средних количеств осадков на заданной территории к водозапасу конвективных облаков, развивающихся над той же территорией, дает коэффициент осаждения облачной влаги. который в обоих рассмотренных случаях оказался равным 0,3. Для примера, рассмотренного в статье [4], коэффициент осаждения облачной влаги равен 0.2.

В заключение можно сделать следующие выводы.

1. Предложенный способ позволяет рассчитывать водозапас жонвективных облаков над большими территориями по данным сети станций аэрологического зондирования.

2. Сопоставление рассчитанного водозапаса и фактического количества осадков позволяет оценивать коэффициент осаждения

облачной влаги.

#### СПИСОК ЛИТЕРАТУРЫ

1. Анчугова Р. А., Шишкин Н. С. Сравнение параметров осадкообразую-Анчутова Г. А., плишки н. П. С. Сравнение параметров осадкоооразующих конвективных облаков по данным радиолокационных наблюдений и по методу слоя. — Труды ГГО, 1968, вып. 279, с. 84—89.
 Вудилова Е. П. и др. К методике оценки водных запасов конвективных облаков/Е. П. Будилова, Т. В. Иванова, В. Т. Леншин, Л. С. Хайбуллина, Н. С. Шишкин. — Труды ГГО, 1972, вып. 278, с. 142—152.
 Шишкин Н. С. К вопросу об учете влияния фазовых преобразований воды и сустость регодикетительного разгими конвективного облака. Точны БГО

на скорость вертикального развития конвективного облака. - Труды ГГО, 1972, вып. 278, с. 29—78.

4. Шишкин И. С. О запасах конвективной энергии в атмосфере. — См. наст.

сборник.

5. Bjerknes J. Saturated-adiabatic ascent of air through dryadiabatically descending environment.—Q. J. Roy. Met. Soc., 1978, vol. 64, N 275.

### К РЕШЕНИЮ ЗАДАЧИ ВОССТАНОВЛЕНИЯ ВЕРТИКАЛЬНОГО ПРОФИЛЯ ОСАДКОВ ИЗ СЛОИСТООБРАЗНЫХ ОБЛАКОВ

При решении ряда вопросов прикладного характера, таких, как проектирование линий спутниковой связи, радиотеплолокация атмосферы и др., возникает потребность в знании статистических характеристик атмосферных осадков на разных высотах. К настоящему времени накоплен большой статистический материал по измерениям интенсивностей осадков на уровне земли и проведены его климатические обобщения [1, 9]. Однако достаточно полных количественных измерений характеристик осадков в свободной атмосфере в настоящее время не имеется. Повторяемости различных характеристик осадков на высотах можно было бы установить косвенным путем, зная повторяемости осадков разных градаций интенсивности на земле и вертикальные профили осадков, соответствующие каждой градации интенсивности. образом, возникает задача о восстановлении расчетным вертикального профиля осадков, исходя из данных плювиографических измерений. В данной статье рассмотрен метод решения такой задачи применительно к обложным осадкам, выпадающим из слоисто-дождевых облаков. Результаты расчетов приводятся в работе [2].

Основные уравнения. Постановка задачи, принятая в данной работе, предусматривает рассмотрение роста капель и выпадения осадков из слоисто-дождевых облаков на стадии их полного развития, когда осадки занимают всю толщу облачной атмосферы. Искомой величиной являются спектры осадков на разных уровнях, а в качестве заданной величины выбирается один из моментов функции распределения— интенсивность осадков на поверхности земли. Однозначная связь между моментом функции распределения и спектром существует только при условии задания однопараметрической функции распределения частиц осадков по размерам. Задание вида функции распределения является распространенным приемом при параметризации микрофизических процессов в облаках [11] и позволяет построить схему, описы-

Ленинградоний Гидрометеородогаческая инет

TANGERSON LUCA

17

вающую вертикальный профиль осадков, при помощи сравнительно простых соотношений и констант, заимствованных отчасти из теории, отчасти из опыта.

Рассмотрим уравнение, выражающее сохранение массы частиц осадков с учетом микрофизических процессов:

$$\frac{dM}{dt} = -M \operatorname{div} \mathbf{v} + \left(\frac{dM}{dt}\right)_{\text{vor}} + \left(\frac{dM}{dt}\right)_{\text{vor}},\tag{1}$$

где M — абсолютная водность осадков, v — средневзвешенная по объемам скорость падения частии.

Отличительными признаками слоистообразных облаков явля-

ются следующие:

а) квазиостационарность,

б) горизонтальная однородность,

в) малая вертикальная скорость w, так что выполняется условие  $w/\!-\!v\!\ll\!1$ .

Учитывая эти свойства слоистообразной облачности, преобразуем (1) к следующему более простому виду:

$$v\frac{dM}{dz} = -M\frac{\partial v}{\partial z} + \left(\frac{dM}{dt}\right)_{\text{KORF}} + \left(\frac{dM}{dt}\right)_{\text{KORF}}.$$
 (2)

Для того чтобы записать выражения для величин, входящих в (2), в явном виде зададим следующую функцию распределения частиц по размерам (формула Маршалла — Пальмера [5]):

$$N(D) = N_0 e^{-\lambda D},\tag{3}$$

где D — диаметр частицы, N(D)dD — концентрация частиц в интервале размеров  $D\pm dD/2$ ,  $N_0$  и  $\lambda$  — параметры (величина  $N_0$  мало меняется и может быть задана, по эмпирическим данным [5] она равна  $8\cdot 10^6$  м<sup>-4</sup>).

Аналогичная формула применяется для описания спектра ледяных частиц [12]. В этом случае в качестве величины, характеризующей размер частицы, берется ее эквивалентный диаметр — диаметр капли, образующейся при таянии частицы.

Средняя скорость падения частиц v по определению равна:

$$v = \int_{0}^{\infty} D^{3} v_{i}(D) e^{-\lambda D} dD / \int_{0}^{\infty} D^{3} e^{-\lambda D} dD, \tag{4}$$

где  $v_i(D)$  — скорость падения отдельной частицы.

Скорость падения дождевой капли, согласно [11], зададим в виде

$$v_{i_{\rm B}} = -130D^{1/2} \left(\frac{\rho_0}{\rho}\right)^{1/2},\tag{5}$$

где  $\frac{\rho_0}{\rho} \approx \exp(kz)$  — отношение плотности воздуха на уровне моря к плотности воздуха на уровне  $z,\; k=-\frac{1}{\rho}\frac{\partial \rho}{\partial z} \approx 10^{-4} \text{ м}^{-1}.$ 

Скорость падения наиболее часто встречающихся в снегопадах обзерненных пластинчатых кристаллов задавалась [10] в виде:

$$v_{i\pi} = -276D^{0,778} \exp(kz/2), \tag{6}$$

где D — эквивалентный диаметр кристалла.

Подставляя в (4) выражение скорости падения капель (5), получим

$$v = -38.8N_0^{-1/8} M^{1/8} \exp(kz/2). \tag{7}$$

Подставляя в (4) аналогичное выражение для кристаллов (6), получим

$$v = -43.3N_0^{-0.195} M^{0.195} \exp(kz/2). \tag{8}$$

Скорость коагуляционного роста осадков рассмотрим в приближении непрерывного роста отдельных частиц. Как это принято в работах ряда авторов [3, 11], будем предполагать, что общая водность облака складывается из водности мелких облачных частиц (m) и гидрометеорных частиц (M). Скоростью гравитационного оседания облачных частиц, по определению этого понятия, можно пренебречь по сравнению со скоростью оседания гидрометеорных частиц.

Скорость коагуляционного роста отдельной частицы осадков дается [6] следующим уравнением:

$$\frac{dM_i}{dt} = -\frac{\pi d_i^2}{4} E_i v_i m, \tag{9}$$

где  $E_i$  — коэффициент коагуляции, m — абсолютная водность облачных капель,  $d_i$  — сечение объема, из которого происходит вымывание облачных капель.

В случае рассмотрения роста жидких осадков  $d_i = D$  и скорость роста общей водности осадков дается подстановкой в (9) формулы (3) и интегрированием по всем размерам:

$$\left(\frac{dM}{dt}\right)_{\text{KOAL}} = \int_{0}^{\infty} \frac{dM_i}{dt} N(D) dD = 6.96 \cdot 10^{-4} E N_0^{1/s} m M^{7/s} \exp\left(\frac{kz}{2}\right). \quad (10)$$

Скорость коагуляционного роста кристаллов зависит от их размеров и от их ориентации во время падения. В работе [7] указывается, что при Re>0,1 несферические частицы стремятся ориентироваться таким образом, что их аэродинамическое сопротивление оказывается максимальным. Так как мы рассматриваем частицы с  $Re\gg0,1$ , то будем считать, что пластинчатые кристаллы ориентируются плоскостью поперек потока. Тогда связь между  $d_i$  и эквивалентным диаметром кристалла (D) дается [6] следующей эмпирической формулой:

$$d_i = 1,39 \cdot 10^2 \, D^{9/2},\tag{11}$$

где  $d_i$  и D выражены в метрах.

Аналогично (10) получаем уравнение для скорости роста общей водности кристаллов:

$$\left(\frac{dM}{dt}\right)_{\text{KOB}\Gamma} = 1,25N_0^{-0.195} M^{1.195} Em \exp\left(\frac{kz}{2}\right).$$
 (12)

Рассмотрим далее конденсационный рост и испарение частиц осадков. Уравнение для конденсационного роста и испарения отдельной капли, согласно [6], имеет следующий вид:

$$\frac{dM_l}{dt} = \frac{2\pi Ds}{f_B(T)} (1 + 0.23 \,\mathrm{Re}^{1/2}). \tag{13}$$

Здесь  $S = \frac{p_s}{p_s(T)} - 1$  — относительное пересыщение, где  $p_s$  — упругость пара в воздухе,  $p_s(T)$  — упругость насыщения при температуре T (в кельвинах) в облаке;

$$f_{\rm B}(T) = 10^5 \frac{1}{T} \left( 5,42 \cdot 10^3 \frac{1}{T} - 1 \right) + 193 \frac{T}{p_s(T)},$$
 (14)

где  $p_s$  — выражено в миллибарах,  $1+0.23~{\rm Re}^{1/2}$  — поправка на вентиляцию при падении.

С точностью  $\pm 15 \%$  можно аппроксимировать

$$2\pi D(1+0.23 \text{ Re}^{1/2}) = 2.24 \cdot 10^3 D^{9/6}. \tag{15}$$

Тогда, интегрируя скорость конденсационного роста отдельных капель с учетом формулы (3), получим выражение

$$\left(\frac{dM}{dt}\right)_{\text{KOH II}} = 0.193N_0^{0.35} M^{0.65} \frac{s}{f_{\text{B}}(T)}.$$
 (16)

Для расчета конденсационного изменения массы отдельного кристалла применим [6] уравнение конденсации для диска:

$$\frac{dM_i}{dt} = \frac{4\tilde{d}_i s}{p_s(T)} (1 + 0.23 \,\mathrm{Re}^{1/2}),\tag{17}$$

где

$$f_n(T) = 1,22 \cdot 10^3 \frac{1}{T} \left( 6,16 \cdot 10^3 \frac{1}{T} - 1 \right) + 154 \frac{T}{p_s(T)}.$$

Аппроксимация, аналогичная (15), приводит к выражению

$$\frac{dM_l}{dt} = 5,27 \cdot 10^5 D^{2,253} \int_{\pi}^{S} f_{\pi}(T) , \qquad (18)$$

откуда в свою очередь легко получить выражение для роста общей массы кристаллов:

$$\left(\frac{dM}{dt}\right)_{\text{KOHII}} = 7,027N_0^{0,19} M^{0,81} \frac{s}{f_{\pi}(T)}.$$
 (19)

Преобразуем теперь уравнение (2) к расчетному виду. В случае осадков в форме дождя из формулы (7) следует

$$\frac{\partial v}{\partial z} = \left(\frac{v}{8M} \frac{dM}{dz} + \frac{k}{2}\right)v. \tag{20}$$

Учитывая выражение (20) и уравнения (10) и (16) запишем формулу для вертикальной производной водности жидких осадков:

$$\frac{dM}{dz} = -\frac{4}{9} kM + \frac{8}{9} \frac{1}{v} \left(\frac{dM}{dt}\right)_{\text{KOAR}} + \frac{8}{9} \frac{1}{v} \left(\frac{dM}{dt}\right)_{\text{KOHA}} = 
= -0.444 \cdot 10^{-4} M - 0.16 \cdot 10^{-4} Em N_0^{1/4} M^{8/4} - 4.45 \cdot 10^{-3} \times 
\times N_0^{0.475} M^{0.525} \frac{s}{f_B(T)} \exp\left(\frac{kz}{2}\right).$$
(21)

Физический смысл членов в правой части (21) следующий: слагаемое, пропорциональное M, описывает влияние сжимаемости атмосферы на водность осадков, слагаемые, пропорциональные  $M^{3/4}$  и  $M^{0,525}$  описывают влияние коагуляции и конденсации (испарения) соответственно.

Рассмотрим аналогичное уравнение для вертикального градиента водности осадков в виде снега. Из формулы (8) следует

$$\frac{\partial v}{\partial z} = \left(\frac{0,195v}{M} \frac{dM}{dz} + \frac{k}{2}\right)v. \tag{22}$$

Учитывая выражение (22), а также (12) и (19), приходим к следующему уравнению:

$$\frac{dM}{dz} = -0.418kM \frac{0.837}{v} \left(\frac{dM}{dt}\right)_{\text{коаг}} + \frac{0.837}{v} \left(\frac{dM}{dt}\right)_{\text{конд}} = 
= -0.418 \cdot 10^{-4} M - 2.42 \cdot 10^{-2} EmM - 0.136 N_0^{0.382} \times 
\times M^{0.618} \frac{s}{f_{\pi}(T)} \exp\left(\frac{kz}{2}\right).$$
(23)

Граничным условием к уравнениям (21) и (23) служат значения водности (M) при z=0. Эти значения определяются по заданной интенсивности осадков из уравнения

$$I = 3.6Mv, \tag{24}$$

где I — интенсивность осадков в мм/ч.

Обсуждение уравнений. Полученные уравнения (21) и (23), совместно с граничными условиями — значениями M и z=0, вытекающими из (24), образуют математическую задачу, решение которой позволяет восстановить вертикальные профили водности осадков, исходя из заданных значений I на поверхности земли. Задание функции распределения в виде (3) позволяет легко

выразить ряд характеристик осадков через значение M (г/м³) исходя из определения водности:

$$M = \int_{0}^{\infty} \frac{\pi \rho_{e}}{6} D^{3} N_{0} e^{-\lambda D} dD = \frac{\pi}{6} \rho_{e} N_{0} \frac{\Gamma(4)}{\rho^{4}}, \qquad (25)$$

где ое — плотность воды.

Запишем выражение для  $\lambda$  (м<sup>-1</sup>):

$$\lambda = 42.1 N^{1/4} M^{-1/4}. \tag{26}$$

Концентрация частиц осадков  $N_t$  (м $^{-3}$ ) дается выражением

$$N_t = \int_{\lambda}^{\infty} N_0 e^{-\lambda D} dD = \frac{N_0}{\lambda}. \tag{27}$$

Характерный размер частиц в спектре — диаметр медианного объема (в метрах)

$$D_0 = 0.087 N^{-1/4} M^{1/4}. (28)$$

В уравнения (21) и (23) входит ряд параметров, часть из которых является константами, а часть - функциями высоты.

Одним из наиболее важных параметров является водность облачных капель (m). Значения m задавались по эмпирическим данным. Была взята зависимость водности слоистообразных облаков от температуры. Исследования ряда авторов показали, что существует достаточно устойчивая статистическая связь между этими величинами [8]. Для того чтобы перейти от зависимости водность — температура к зависимости водность — высота, надо знать средние температурные профили при слоисто-дождевой облачности для разных сезонов. Эти данные были взяты согласно статистической модели атмосферы [4].

Обсуждение значений других параметров и примеры решения уравнений (21), (23) даются в работе [2].

#### СПИСОК ЛИТЕРАТУРЫ

 Алибегова Ж. Д. Структура полей жидких осадков за короткие интервалы времени. — Л.: Гидрометеоиздат, 1975. — 133 с.
 Баранов В. Г. и др. Некоторые результаты расчета вертикального профиля обложных осадков/В. Г. Баранов, Ю. А. Довгалюк, А. В. Зинченко, Т. Ф. Кучинская. См. наст. сборник.

3 Буйков М. В. Численное моделирование облаков слоистых форм. — Обнинск: изд. ВНИИГМИ — МЦД, 1978.— 61 с.
4. Васищева М. А., Щукин Г. Г. Экспериментальные исследования водности облаков. Статистические модели атмосферы. — Обнинск: ВНИИГМИ — МЦД, 1976. — 94 с.

5. Литвинов Н. В. Структура атмосферных осадков. — Л.: Гидрометеоиздат, 1974. — 152 c.

- 6. Мейсон Б. Дж. Физика облаков. Пер. с англ. Л.: Гидрометеоиздат, 1961. — 541 c.
- 7 Плауде Н. О. К вопросу о коагуляционном росте ледяных кристаллов в переохлажденных облаках. — Труды ЦАО, 1963, вып. 51, с. 33—41.

- 8. Статистические характеристики пространственной и микрофизической структуры облаков. Авиационно-климатологический атлас-справочник СССР. Вып. 3, т. 1, 2/Под ред. Л. С. Дубровиной.— М., Гидрометеоиздат, 1975.
- 9. Douglas M. A. J., Sims A. L., Climatogy of instantanens rainfall rates.— J. Appl. Met., 1978, vol. 17, N 8, p. 1135—1140.
- 10. K a j i k a w a M. Experimental formula of falling velocity of snow crystals.— J. Met. Soc. Janan, 1975, ser. II, vol. 53, N 4, p. 267—275.
- 11. Kessler E. On the distribution and continuty of water substace in atmospheric circulations.—Met. Monog., 1969, vol. 10, N 32.—84 p.
- Passarelli R. E. Theoretical and observational study of snow-size spectra and snowflake aggregation efficiencies.— J. Atmos. Sci., 1978, vol. 35, N 5, p. 882—889.

# НЕКОТОРЫЕ РЕЗУЛЬТАТЫ РАСЧЕТОВ ВЕРТИКАЛЬНОГО ПРОФИЛЯ ОБЛОЖНЫХ ОСАДКОВ

В статье [3] данного сборника сформулирована задача о восстановлении расчетным путем вертикального профиля осадков, исходя из данных наземных плювиографических измерений. Интерес к такой задаче вызван запросами практики. Для ряда техобластей представляет интерес вероятность встречи с осадками разной интенсивности на разных высотах в свободной атмосфере. Однако в настоящее время остсутствуют данные, позволяющие определить такую вероятность. Имеются лишь статистические распределения повторяемости осадков разных градаций интенсивности на поверхности земли [1]. Повторяемости осадков на высотах можно установить, зная вертикальные профили осадков, соответствующие каждой градации интенсивности. Ниже излагается схема расчета вертикального профиля обложных осадков и приводится несколько примеров расчета. Расчеты производились для условий, характеризующих четыре сезона года в средних широтах и в Арктике.

Расчетная схема. При решении выделяются три зоны: зона испарения осадков под основанием облака, зона роста жидких осадков в теплой части облака и зона роста твердых осадков при отрицательных температурах в переохлажденной части облака. Пересыщение относительно воды внутри слоистообразных облаков незначительно, поэтому конденсационным ростом капель дождя можно пренебречь по сравнению с их коагуляционным ростом [5]. Значение пересыщения относительно льда рассчитывалось, исходя из допущения, что имеется насыщение относительно воды. Значение водности облачных капель (m), как указано в [3] бралось по экспериментальным данным, причем m задавалось постоянным для каждого пятиградусного интервала темпе-

ратур [6].

При решении уравнений, описывающих изменение водности осадков с высотой [3], атмосфера разбивалась по высоте на слои соответствующие пятиградусным интервалам температуры. Вве-

дем следующие обозначения величин, входящих в уравиения (21)

$$A_{1} = -0,444 \cdot 10^{-4},$$

$$B_{1} = -0,16 \cdot 10^{-4} \operatorname{Em} N_{0}^{1/4},$$

$$C_{1} = -4,45 \cdot 10^{-3} N_{0}^{0,475} \frac{s}{f_{B}(T)} \exp(\hbar z/2),$$

$$A_{2} = -0,418 \cdot 10^{-4} - 2,42 \cdot 10^{-2} \operatorname{Em},$$

$$A_{2} = -0,418 \cdot 10^{-4} - 2,42 \cdot 10^{-2} \operatorname{Em},$$

$$B_{2} = -0,136 N_{0}^{0,382} \frac{s}{f_{A}(T)} \exp(\hbar z/2).$$
(1)

коэффициенты А1, В1, С1, А2 и В2 в пределах каждого пятигра-С учетом способа задания значений водности облаков (т)

дусного слоя считались констаитами,

осадков на нижней границе пятиградусного слоя (М0) и на верхниже аналитические решения, связывающие значения водности В этом случае уравнения (21) и (23) из [3] имеют указанные

В зависимости от атмосферных условий применялись следую-

а) испарение дождя шие три формулы, описывающие:

 $\mathcal{M} = \left[ \frac{C_1}{A_1} + M_0^{0,475} \right] e^{-0,475A_1 \Delta} z - \frac{C_1}{A_1} \right]^{2,105}$ 

 $\left| \left( \frac{B_1}{I_A} - \frac{A_1}{I_A} - \frac{A_1}{I_A} - \frac{A_1}{I_A} \right) \right| = M$ (8)

в) конденсационно-коагуляционный рост и испарение кристал-
$$M = \left[ \frac{B_2}{(B_2 + M^{0.382})} - 0.382 M_3 - 2.2 \right] 2.618$$

NOR

$$M = \left[ \left( \frac{B_2}{A_2} + M_0^{0.382} \right) e^{-0.382A_2} \Delta^2 - \frac{B_2}{A_2} \right]^{2,618}^{2,618}.$$
3 Rech  $\Delta z$  — Beptikanbhar molihocte iirthfranychofo caor.

зу вверх. При температуре выше нуля считалось, что осадки Расчет производился последовательно для каждого слоя сни-

он долгиодение M на поверхности земли (0=z) определялось по выбранного минимального значения, равиого 10-2 г/м3. снега. Расчет велся до тех пор, пока М не достигнет заранее существуют в виде дождя, при температуре ниже нуля — в виде

KOB [1]. статистической обработке измерений осадидп пользуемыми водились расчеты, выбирались в соответствии с градациями, ис-Значения наземной интенсивности осадков, для которых произ-.[1] исходя из значений интенсивности осадков

сти расчет вертикального профиля осадков при заданных атмо-**Результаты расчетов.** Формулы (2) —(4) позволяют произве-

(z)

сферных условиях. Для расчета иадо задать численные значения рада параметров. Значение коэффициента ноагуляции принималось равным 8·10<sup>6</sup> м<sup>-4</sup> [4]. Пересыщение з значение № принималось равным 8·10<sup>6</sup> м<sup>-4</sup> [4], что соответстниже основания облака задавалось равным — 0,1, что соответстниже

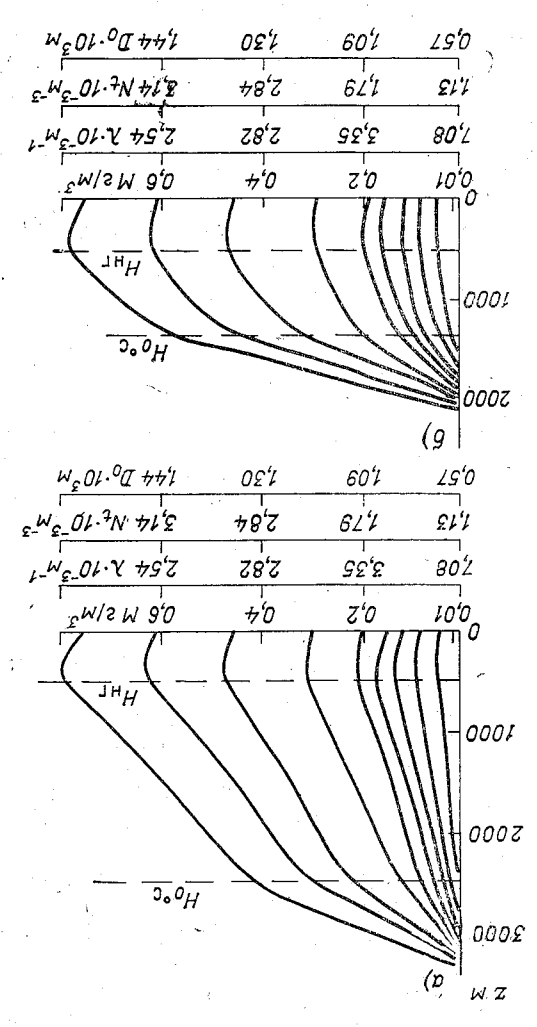


Рис. І. Высотный разрез водности обложных осадков (М) в умеренных широтах за июль (а) и октябрь (б). \$\lambda\$ — показателе экспоненты формуды Маршалла — Пальмера, \( \vec{W} \), — общая конмуды Маршалла — Пальмера, \( \vec{W} \), — общая кон-

мулы Маршалла — Пальмора,  $M_{\rm c}$  — общая когиценты маршалла — Пальмора,  $M_{\rm c}$  — общая когице медивного объема;  $H_{\rm HI}$  и  $H_{\rm 0}$  °C— высоты нужней границы облачности и нулевой изотермы.

вует относительной влажности 90 %. Высота нижней границы слоисто-дождевых облаков принималась равной 500 м для средних широт и 350 м для Арктики [6]. Вертикальные профили температуры для разных сезонов года при условии наличия слоистодождевых облаков были взяты из [2], зависимость водности облаков от температуры — из [6]. Примеры полученных в результате расчета вертикальных профилей M для разных сезонов (лето, осень) и для разных географических районов (умеренные широты, Арктика) показаны на рис. 1 и 2.

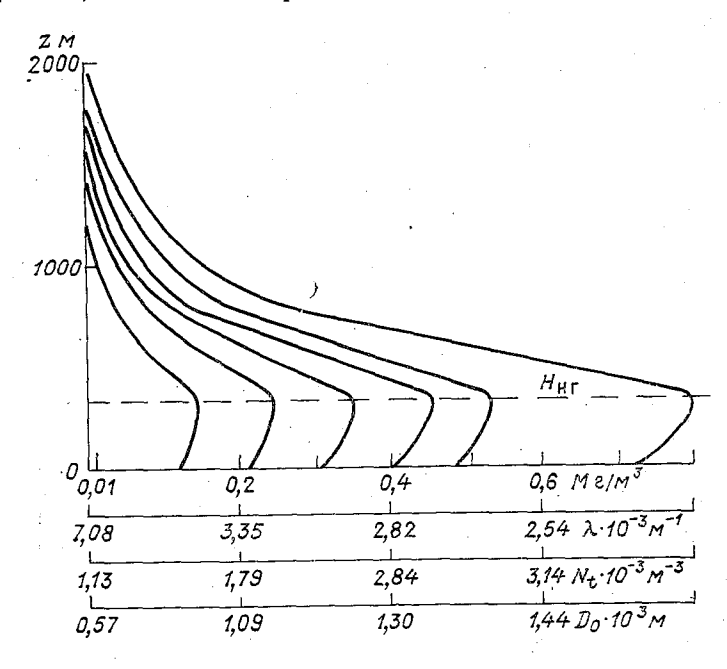


Рис. 2. Высотный разрез водности обложных осадков (M) в Арктике за октябрь.

Усл. обозначения см. рис. 1.

Используя формулы из [3], легко рассчитать по известному значению M другие характеристики осадков: значение параметра  $\lambda$ , входящего в функцию распределения Маршалла — Пальмера, общую концентрацию частиц осадков, значение характерного диаметра частиц, значение интенсивности осадков.

В заключение следует отметить, что приведенные в данной статье графики и формулы дают описание интенсивности, водности и спектра частиц осадков на разных уровнях в атмосфере. Полученные в результате расчетов результаты согласуются с имеющимися эмпирическими данными о структуре обложных осадков. Образование осадков и их интенсивность связаны с микрофизическим строением и вертикальной мощностью обла-

ков. В основном осадки выпадают из облаков смешанного (во да — лед) строения. Дождь, образующийся при таянии ледяных частиц, выпадает при средней толшине летних облаков около 3000 м.

#### СПИСОК ЛИТЕРАТУРЫ

 Алибегова Ж. Д. Структура полей жидких осадков за короткие интервалы времени.— Л.: Гидрометеоиздат, 1975.—133 с.
 Васищева М. А., Щукин Г. Г. Экспериментальные исследования водности облаков. Статистические модели атмосферы.—Обнинск. Изд. ВНИИГМИ — МЦД, 1976. — 94 с.

- 3. Довгалюк Ю. А., Зинченко А. В. К решению задачи восстановления вертикального профиля осадков из слоистообразных облаков. -- См. наст. сборник.
- 4. Литвинов Н. В. Структура атмосферных осадков. Л.: Гидрометеоиздат, 1974. — 152 c.
- 5. Мейсон В. Дж. Физика облаков/Пер. с англ. Л.: Гидрометеоиздат, 1961. — 541 c.
- 6. Статистические характеристики пространственной и микрофизической структуры облаков. Авиационно-климатический атлас-справочник СССР. Вып. 2, т. 1, 2/Под ред. Л. С. Дубровиной. — М.: Гидрометеоиздат, 1975.

## О КИНЕТИКЕ КРИСТАЛЛИЗАЦИИ ПЕРЕОХЛАЖДЕННЫХ ВОДЯНЫХ КАПЕЛЬ, НАХОДЯЩИХСЯ В ВОЗДУШНОЙ СРЕДЕ

Исследование процесса кристаллизации переохлажденных вояных капель имеет давнюю историю [5]. Однако до последнего ремени дискутируются количественные значения статистических арактеристик замерзания переохлажденных водяных капель. тсутствуют также строгие критерии, позволяющие установить, осит ли замерзание гомогенный или гетерогенный характер. Об гом свидетельствуют появившиеся в 70-х годах работы [1, 3—5, 8].

Правильное понимание особенностей кристаллизации водяных апель имеет прямое отношение к физике облаков, поскольку роцесс осадкообразования нередко связан с появлением ледяной зазы в облаках.

Задачей данной статьи является расчет некоторых статистичеких характеристик кристаллизации переохлажденных водяных апель по данным проведенных экспериментов, а именно на осное предположения о гомогенном характере зародышеобразования нуклеации) рассчитаны скорости нуклеации льда в переохлаженных водяных каплях I и дифференциальная функция распреления числа замерэших капель в зависимости от температуры. роме того, для проверки справедливости предположения о гоогенности нуклеации были определены погрешности  $\Delta I$  для каель разных размеров.

Расчет статистических характеристик гомогенной кристаллиции. В основе методики расчета скорости гомогенного зародынеобразования лежит следующий физический принцип: вероятость замерзания переохлажденной капли не зависит от того, колько времени и при какой температуре она находилась до екоторого фиксированного момента времени, начиная с которозта вероятность определяется. Другими словами, принимается, го предыстория переохлажденного состояния капли до любого

омента времени не влияет на вероятность ее замерзания.

$$dN(t) = -v \cdot I\{T(t)\}N(t)dt, \tag{1}$$

где N(t) — число незамерзших переохлажденных капель в момент времени t, dN(t) — число капель, замерзших за время dt v — объем капли, T(t) — закон изменения температуры во времени,  $I\{T(t)\}$  — скорость нуклеации как функция температуры.

Из (1) получаем изменение во времени числа незамерзших

капель

$$N(t) = N_0 e^{-v \int_0^t I\{T(t')\}dt'}, \qquad (2)$$

где  $N_0$  — число незамерзших капель в момент t=0,

Если взять достаточно малый интервал времени  $\Delta t = t_{i+1} - t_i$  чтобы можно было считать значение T(t) постоянным в этом ин тервале, то

$$N(t_{i+1}) = N(t_i) e^{-v \cdot I(T) \Delta t}. \tag{3}$$

Переходя от изменения во времени к изменению по темпера туре при заданной скорости охлаждения  $\gamma = \frac{\Delta T}{\Delta t}$ , из (3) получим

$$I(T) = \frac{\gamma}{v \Delta T} \ln \frac{N(T_i)}{N(T_{i+1})}, \quad \Delta T = T_i - T_{i+1}. \tag{4}$$

Формула (4) приводится в [3, 8]. По ней мы и вычисляли скорость нуклеации. При этом  $N(T_i)$  соответствовало числу не замерзших капель в начале каждого интервала  $\Delta T$ , а  $N(T_{i+1})$  — в конце.

Наши эксперименты проводились на установке, описанной в [2], в которой капля дистиллированной воды подвешивалась на тонкой стеклянной нити толщиной примерно 30 мкм в воздушной среде специальной камеры. Начальная температура в камеробыла около 0°С, а затем она понижалась с постоянной скоростью до момента замерзания капли. Температура замерзания фиксировалась с помощью точечного термисторного микроэлек тротермометра в момент выделения скрытой теплоты кристалли зации. Чувствительный элемент термометра располагался в не посредственной близости от капли, что обеспечивало достаточно точное определение температуры ее замерзания.

Нам представляется, что для изучения гомогенной кристалли зации условия охлаждения капли, подвешенной в воздухе, боле благоприятны, чем условия охлаждения капли, помещенной даж в хорошо очищенное масло [1, 8]. Масло, хотя и слабо, но все таки растворяется в воде и, следовательно, обязательно загрязняет капли. Очевидно, что с уменьшением радиуса капель эффек загрязнения будет усиливаться из-за увеличения относительно роли поверхности. Кроме того, само по себе лабораторное изучение кристаллизации водяных капель в воздухе ближе к естест

венным атмосферным условиям, чем соответствующие опытыв масле.

В опытах весь температурный диапазон подразделялся на интервалы  $\Delta T = 1$  °C, и измерялось число капель, замерэших в каждом таком интервале. Все опыты были подразделены на шесть серий по диапазонам диаметров капель: 1) 0,60—0,79 мм, 2) 0,80—0,99 мм, 3) 1,00—1,19 мм, 4) 1,20—1,39 мм, 5) 1,40—1,59 мм, 6) 1,60—1,90 мм. Каждая серия включала 110 капель. Объем капель каждой серии вычислялся по формуле

$$\overline{v_i} = \frac{4}{3} \pi (\overline{r_i} - \overline{\Delta r_i})^3, \tag{5}$$

где  $\bar{v}_i$  и  $\bar{r}_i$  — соответственно средние объем и радиус капель-й серии без учета испарения,  $\overline{\Delta r_i}$  — среднее уменьшение радиуса за счет испарения. Размер капель определялся с помощью микроскопа, снабженного оптическим микроскопом типа MOB-1, который позволял измерять их диаметр с точностью  $\pm 10$  мкм.

Таблипа 1

Значения  $\overline{T}$ ,  $\delta T$  и критерия согласия Пирсона  $P_{\chi^2}$  для каждой серии опытов

$\overline{R_i} \cdot 10^{-2}$ cm	$8,28 \pm 1,05$	$7,07\pm0,72$	6,03±0,58	$4,94 \pm 0,78$	$3,84 \pm 0,65$	$2,38 \pm 1,30$
$\overline{T}$ K	255,05	254,59	254,41	254,36	253,54	253,20
5 T K	2,377	2,185	2,266	2,621	2,404	2,656
$P_{\mathbf{z}^2}$	>0,54	>0,01	>0,13	0,01	0,01	>0,25

Величины средних радиусов капель с учетом испарения  $\bar{R}_i = \bar{r}_i - \Delta r_i$  для указанных выше серий опытов приведены в табл. 1, 2, 3.

Значение скорости охлаждения  $\gamma$  вычислялось по данным обработки записи изменения температуры в непосредственной бливости от капли. Величина  $\gamma$  изменялась со временем, поэтому ее значение всегда находилось для последней минуты, предшествовавшей замерзанию капли. Распределение  $\gamma$ , как показала обработка ленты с записью изменения температуры, подчиняется нормальному закону со средним значением  $\overline{\gamma}=2$  °C/мин и средней квадратической вариацией  $\delta\gamma=0.2$  °C/мин. Эти величины оказались одинаковыми во всех сериях опытов.

Для определения отношения  $\frac{N(T_i)}{N(T_{i+1})}$  необходимо обратиться к дифференциальной функции распределения температур замерзания капель D(T), имея в виду, что

$$D(T) = \frac{N(T_i) - N(T_{i+1})}{N_0} = \frac{\Delta N_i}{N_0},$$

где  $N_0 = \Sigma \Delta N_i$ .

Значения I (T) н  $\triangle I(T)$  для N  $(T_l)$  н N  $(T_{l+1})$ , найденных из эксперимента

	8,28∃	±1,05	7,07±0,72	0,72	6,03	6,03±0,58	4,94	4,94±0,78	3,84	3,84±0,65	2,38	2,38±1,30
	I	<i>I</i> $\triangledown$	<i>I</i>	Į∇	I	<i>J</i>	I	\[ \daggreg I		7 V		I A
	0,25	0,17	]	- }	1	. 1	09'0	0,466		1	1	
	0,40	0,27	0,21	0,12		1.	0,61	0,47	1,28	1,95	1	ŀ
	0,13	60'0	0,21	0,12	11,44*	6,73	2,51*	1,94	1,29	1,97	5,47	10,53
	0,83	0,57	0,21	0,13	69'0	0,40	4,61	3,56	2,63	4,00	16,76	32,27
	2,00	1,36	2,91	0,18	4,39	2,58	4,95	3,82	6,81	10,36	23,05	44,40
	1,94	1,32	5,68	3,43	4,14	2,44	5,35	4,14	19,41	29,55	61,79	119,01
	2,94	2,00	2,64	1,59	8,90	5,23	9,45	7,30	11,65	17,73	84,37	162,50
254,5	6,78	4,60	8,29	5,05	11,77	6,92	22,79	17,62	28,84	43,89	80,81	155,63
	7,94	5,40	9,92	00'9	10,68	6,28	14,40	11,13	33,48	96'09	145,57	280,37
	13,54	9,20	13,39	8,10	26,22	15,42	41,10	31,76	44,03	67,02	163,99	315,84
	13,76	9,35	31,23	18,89	27,35	16,08	85,76	66,28	150,93	229,74	397,74	765,58
	,1		I	1	{	1	118,27	91,40	205,08	313,67	502,66	968,13
	1.	!		- 	-	-		- [	154,54	235,22	652,22	1257,19
	. 1	-	-	1		1	. 1	.	1	ŀ	İ	1
	į	ı		1	1	1	İ	l	1	1	240,63	463,46
	. 1	. 1	. 1	1			Ī	1	-	ı	411,75	793,04

Примечание, Звездочкой отмечены случан, когда расхождения между I превышают общую ошибку AI.

соответствующих нормальных распределений

	1,30	ν /	١	1	10,33	23,87	48,64	88,57	147,97	223,15	315,84	423,41	543,57	680,89	813,64	972,82	1170,68	1538,02	
	2,38±1,30	1	     	1	5,36	12,39	22,25	45,99	76,82	115,86	163,99	219,84	282,22	353,52	424,44	502,09	607,82	798,55	
	3,84±0,65	Ι ∇		0,74	1,67	4,52	68'6	19,08	32,78	51,17	74,63	101,06	133,07	174,84	251,79	ļ	ſ	!	
	3,84	7	Ţ	0,49	1,10	2,97	6,50	12,53	21,54	33,62	48,63	66,39	87,42	114,87	165,42	l	ı	1	
	4,94±0,78	<i>I</i> $^{\vee}$	0,19	0,51	1,16	2,37	4,29	7,11	10,72	15,11	20,12	25,96	32,05	39,15	48,20	65,46	ļ		
	4,94	1	0,25	0,65	1,50	3,07	5,56	9,20	13,78	19,56	26,03	33,59	41,47	50,66	62,37	84,70	1.	.	
$\overline{R_l}$ ·102 cm	0,58	Δ 1	1	1	96,0	0,83	1,70	3,13	5,11	7,69	10,93	15,29	22,97		1	1		١	
	$6,03\pm0,58$	1.	1	1	0,62	1,41	2,88	5,32	89'8	13,07	18,59	26,00	38,97	·Ï	1	- 1	I	1	!
	-0,72	/ v		80'0	0,22	0,55	1,15	2,16	3,56	5,39	7,59	10,48	15,20	1	.		- 1		[
	7,07±0,72	1		0,13	0,36	0,91	1,90	3,57	5.89	9,91	12,55	17,32	25,12	I	- [	[	.1	-	
	1,05	Δ /	0.05	0.13	0,30	0,61	1.16	1.87	2.84	4,01	5,41	7,25	10,58		. ]		1		I
	8,28±1	,	0.07	0.19	0.44	06.0	1.71	2.75	2,14	5,91	96'2	10,67	15,58		.		- 1		l
		7 K	961.5	261,5	259.5	258.5	257.5	956.5	255.5	254,5	253,5	252,5	251,5	250.5	249.5	948.5	947.5	2 1	246.5

Рассчитанные дифференциальные функции распределения температурной зависимости частоты замерзания капель D(T) (или температурные функции распределения замерзших капель) достаточно точно аппроксимируются кривыми, соответствующими нормальному распределению для опытных значений  $\overline{T}$  и  $\delta T$  (табл. 1).

В качестве иллюстрации на рис. 1 приведены экспериментальная гистограмма и сглаженная по нормальному закону дифференциальная температурная функция распределения. Из рис. 1 видна высокая степень соответствия между ними.

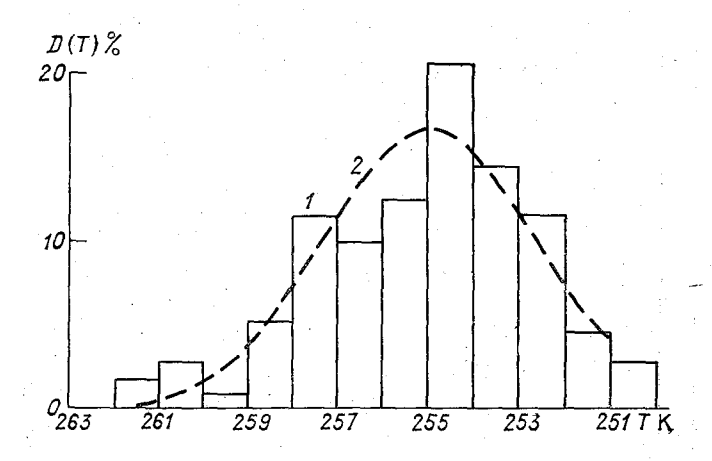


Рис. 1. Дифференциальная функция распределения температур замерзания капель.

1 — экспериментально полученная гистограмма температур замерзания капель, 2 — функция, сглаженная по нормальному распределению.

Для I(T) были вычислены погрешности  $\Delta I(T)$ , связанные с ошибкой в измерении размеров капель и скорости их охлаж дения:

$$\Delta I(T) = \frac{1}{\Delta T} \ln \frac{N(T_i)}{N(T_{i+1})} \left[ \frac{3\Delta \gamma}{4\pi R^3} + \frac{3}{4\pi} \frac{\gamma \Delta R}{R^4} \right], \tag{6}$$

где  $\Delta \gamma = 3\delta \gamma$ , а  $\Delta R$  — отклонение от среднего радиуса  $\bar{R}$ , которо определяет границы каждого из шести диапазонов размера ка пель с учетом их испарения. Величины I(T) и  $\Delta I(T)$  рассматри вались для каждой серии опытов, как для  $N(T_i)$  и  $N(T_{i+1})$ , по лученных экспериментально (табл. 2), так и для этих же вели чин после сглаживания по нормальному закону температурно функции распределения замерзших капель (табл. 3).

Проверка исходного предположения о гомогенном характер зародышеобразования в наших опытах сводится к установлении независимости полученных значений скорости нуклеации от раз

мера замерзших капель. Таблица 2 показывает, что почти все значения I(T) для разных размеров капель отличаются друг от друга в пределах рассчитанной ошибки их измерения. Исключение составляют только I(T) для  $T{=}259{,}5$  К. В табл. 3 различие между I(T) уже находится в пределах ошибок их измерений. Это объясняется тем, что при расчете I(T) и  $\Delta I(T)$  по экспериментальным значениям  $N(T_i)$  и  $N(T_{i+1})$  не принималась во внимание возможная неточность в их определении. Проведенное сглаживание по нормальному закону устранило эту неточность. Поэтому сглаживание следует рассматривать как некую коррекцию величин  $N(T_i)$  и  $N(T_{i+1})$ .

Как видно из табл. 2 и 3, погрешности в определении I(T) увеличиваются с уменьшением размеров капель, достигая 200 %. Однако это не дает права считать наши результаты слишком неточными. Так, например, в [8] погрешности в определении скорости нуклеации для мелких капель, помещенных в масло, достигают 400 %. По-видимому, в настоящее время отсутствуют более точные экспериментальные методики для определения I(T)

в широком диапазоне размеров капель.

Таким образом, оказалось, что рассчитанные значения I(T) не зависят от объема переохлажденных капель во всех шести рассматриваемых диапазонах. Это является необходимым усло-

вием гомогенного характера процесса нуклеации.

Заметим, что в случае, когда различные активные примеси, с одной стороны, равномерно распределены по объему воды, а с другой стороны, они одинаково активны во всем интервале рассматриваемых отрицательных температур, величина I(T) не должна зависеть от объема капли. Однако одновременное выполнение обоих этих требований в наших экспериментах представляется маловероятным. Это может быть лишь в специально приготовленных суспензиях или взвесях, либо в сильно загрязненной воде. Последнее было, например, в [7], в опытах с дождевой водой, которая начинала замерзать уже при температуре от — 5 до —6 °C.

В связи с выбором сглаживающей кривой в форме нормального закона следует отметить, что теоретический вид дифференциальной функции распределения D(T) не должен быть строго гауссовской кривой. Действительно, из (2) легко получить

$$D(T) = \frac{v}{\gamma} I(T) \exp\left\{-\frac{v}{\gamma} \int_{T}^{273} I(T') dT'\right\}. \tag{7}$$

Для этого нужно перейти от временной зависимости к температурной, учитывая, что  $t=\frac{273-T}{\gamma}$ , затем записать интегральную функцию распределения и найти от нее производную по T.

Поскольку I(T) по физическому смыслу монотонно растет с понижением T, то рост D(T) должен быть, вообще говоря, более плавным, чем спад после прохождения через максимум, что

и наблюдается в наших случаях (см. гистограмму на рис. 1). Однако, как показывает табл. 1, нормальное распределение является все же достаточно приемлемой аппроксимацией получен-

ных результатов.

В порядке дополнительной проверки найденных значений (табл. 2 и 3) получим из (7) выражение для температуры  $T_m$ , при которой достигается максимум D(T). Значения  $T_m$  должны совпадать со значениями  $\overline{T}$  в табл. 1 для соответствующих диапазонов размеров.

Условне максимума температурной функции распределения

замерзших капель из (7) выражается как

$$\frac{dD}{dT} = \frac{\overline{v_i}}{\overline{\gamma}} + \frac{1}{I^2} \frac{dI}{dT}, \tag{8}$$

где  $\overline{v}_i$  средний объем капли в i-й серии размеров. Для проверки (8) необходимо иметь аналитическое выражение зависимости I(T). Найдем его для серии опытов с наибольшим размером капель (абсолютная погрешность  $\Delta I(T)$  для этой серии была наименьшая, как видно из табл. 2 и 3).

Принимая во внимание теоретическое выражение для I(T)

[1, 3-5], ищем скорость нуклеации в виде

$$I(T) = A \exp\left\{\frac{-B}{T(\Delta T)^2}\right\},\tag{9}$$

где  $\Delta T = 273 - T$ , A и B -постоянные, не зависящие от T.

По значениям I(T), приведенным в табл. 2, 3, методом наименьших квадратов [6] находим

$$\ln I(T) = 5,26483 - \frac{2,99138 \cdot 10^5}{T(\Delta T)^2}.$$
(10)

На рис. 2 приведены рассчитанные по (4) и (10) зависимости

I(T) для  $\bar{R}$ =0,0828 см.

Подставляя I(T) из (10) в (8), находим, что  $T_m$ =254,91 К. Следовательно, T оказалось очень близким к значению  $\overline{T}$ =255,05 К из табл. 1. Сравним полученное по данным наших экспериментов выражение (10) для  $\ln I(T)$  с выражением для этой величины, найденным из обработки экспериментов многих авторов [4] для капель меньших размеров, замерзающих в интервале температур 233—243 К:

$$\ln I(T) = 68,306 - \frac{1,7641 \cdot 10^7}{T(\Delta T)^2}.$$
 (11)

Из сопоставления (10) с (11) видно значительное расхождение в величинах коэффициентов A и B. Это свидетельствует о том (если, конечно, в обоих случаях нуклеация была гомогенной), что коэффициенты A и B могут считаться постоянными только в сравнительно узких температурных интервалах замерзания переохлажденных водяных капель. Поскольку в A и B входят пара-

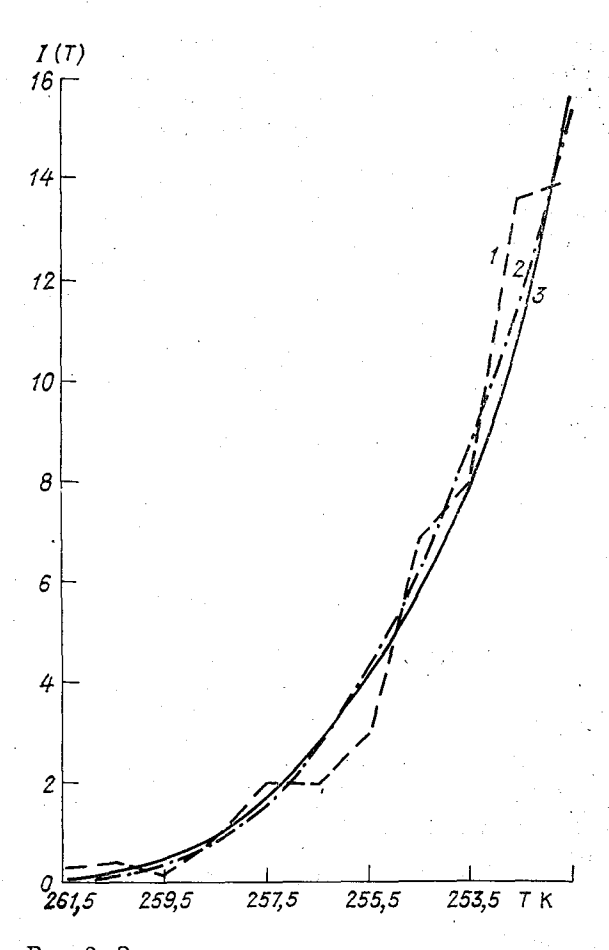


Рис. 2. Зависимость скорости нуклеации от температуры. 1— экспериментальные данные, 2— данные, сглаженные по нормальному закону, 3— данные, полученные по уравнению (10).

метры термодинамической системы жидкая— кристаллическая фазы воды, то такие ее параметры, как поверхностное натяжение на границе вода— лед и энергия активации, должны заметно зависеть от температуры.

Обработка и анализ проведенных нами экспериментов по кристаллизации водяных капель в воздушной среде позволяют сделать следующие выводы:

1. Рассчитанные по данным наших экспериментов скорости нуклеации I(T) для единицы объема воды (табл. 2 и 3) в пределах вычисленных погрешностей их определения оказались не зависящими от размеров переохлажденных капель, что находится

в соответствии с гомогенным характером зародышеобразования.

Для интервала температур 250-255 K полученные I(T) совпадают с их значениями, которые найдены по экспериментам многих авторов и отнесены к гомогенному зародышеобразованию [3].

2.  $\overline{\mathbf{A}}$ нализ значений I(T) и погрешности скорости нуклеации  $\Delta I\left(T
ight)$  показывает, что при проведении опытов с крупными каплями и уменьшении разброса их размеров погрешность  $\Delta I(T)$ уменьшается.

Испарение капель малых размеров дает существенную ошиб-

ку при определении I(T).

3. Из табл. 1 видно, что с уменьшением размеров капель средняя температура замерзания монотонно уменьшается. Это свидетельствует об отсутствии заметного влияния стеклянной нити подвеса на процесс кристаллизации.

#### СПИСОК ЛИТЕРАТУРЫ

1. Буторин Г. Т., Скрипов В. П. Кристаллизация переохлажденной воды. — Кристаллография, 1972, 17, вып. 2, с. 379-384.

2. Грачев В. А., Шлыков В. В. Установка для исследования влияния сверхнизкочастотного поля на кристаллизацию капель воды и водных растворов. — Труды ГГО, 1977, вып. 389, с. 68—73.

3. Качурин Л. Г. О вероятности образования ледяных зародыщей в пере-

- охлажденной воде. Метеорология и гидрология, 1976, № 8, с. 48—54. 4. Косяков В. И., Шестаков В. А. Расчет функции распределения для гомогенной нуклеации льда в переохлажденной воде. Изв. СО АН СССР, сер. хим. наук, 1976, вып. 5, с. 8—14.
- Мейсон Б. Дж. Физика облаков. Л.: Гидрометеоиздат, 1961. 542 с.

6. РТМ 44-62. Методика статистической обработки эмпирических данных.-М.: Изд-во стандартов, 1966. — 100 с.

- 7. Vali G. Quantitative evaluation of experimental results of the heterogeneous freezing nucleation of supercooled liquids. - J. Atmos. Sci., 1971, vol. 28, N 3, p. 402—409.
- 8. Wood G. R., Walton A. G. Homogeneous nucleation kinetics of ice from water. — J. Appl. Phys., 1970, vol. 41, N 7, p. 3027—3036.

### В. В. Клинго, Г. Д. Кудашкин, Б. Ш. Файзуллин

# РАСЧЕТ ЧИСЛА СТОЛКНОВЕНИЙ ЧАСТИЦ РЕАГЕНТА С ОБЛАЧНЫМИ КАПЛЯМИ ДЛЯ ОЦЕНКИ ДЕЙСТВИЯ МЕХАНИЗМА КОНТАКТНОЙ НУКЛЕАЦИИ

В настоящее время считается (см. например, [1, 2, 13]), что основными механизмами гетерогенной кристаллизации переохлажденных облаков льдообразующими реагентами могут являться: 1) сублимационный рост ледяных кристаллов на частицах реагента и 2) замерзание капель после захвата или контакта с ними частиц реагента (механизм контактной нуклеации). Эти механизмы могут действовать и в тесной взаимосвязи друг с другом [12]. До сих пор, однако, полностью не выяснено, какой из механизмов в тех или иных условиях активных воздействий на переохлажденные облака нужно считать более эффективным.

Очевидно, что ответ на вопрос о соотношении между пространственно-временными изменениями концентраций ледяных кристаллов и реагента в зависимости от условий активного воздействия может дать только достаточно полная модель осадкообразования при искусственном введении кристаллизующих частиц. Неотъемлемой частью модели осадкообразования с учетом микрофизических процессов должны быть и механизмы льдообразующего действия введенного реагента. Необходимое при этом включение в модель системы кинетических уравнений сильно усложняет решение такой задачи.

Поэтому представляется целесообразным как с точки зрения изучения эффективности действия самих механизмов гетерогенной кристаллизации, так и с целью использования этих результатов в моделях осадкообразования при воздействии на облака получить количественную оценку степени эффективности действия механизма контактной нуклеации в реальных облачных условиях. Эта оценка, представляющая собой верхнее значение отношения концентрации ледяных кристаллов к концентрации частиц реагента  $\gamma$ , может быть получена сравнительно простыми расчетами.

 $ar{B}$  данной статье будут рассчитаны значения  $m{\gamma}$  в зависимости от расстояния до точечного и линейного источников для различных

условий турбулентного обмена, размера частиц реагента при за-

дании спектра капель по размерам и их концентрации.

При расчетах авторы исходили из следующего. Кристаллизующий реагент с радиусом частиц в интервале  $10^{-6}-10^{-5}$  см, введенный в некоторую область облака, начинает распространяться в облачной среде под действием турбулентного перемешивания без учета гравитационного осаждения ввиду малости частиц реагента. Потерей реагента в процессе его диффузионного распространения, связанной с захватом частиц реагента облачными элементами, пренебрегаем.

Распространяясь в облачной среде, частицы реагента сталкиваются с облачными каплями. Сам факт столкновения частицы реагента с переохлажденной каплей есть лишь необходимое условие для ее замерзания, но, конечно, не достаточное, поскольку льдообразующие свойства попавших на облачную каплю частии реагента проявляются лишь при определенных условиях. Правда, все дальнейшее рассмотрение относится к переохлажденной части облака с температурой ниже пороговой температуры действия реагента. Для таких условий в [12, 13] полагается, что каждое попадание частицы льдообразующего реагента приводит к замерзанию капли. Наши расчеты произведены также в этом предположении. Однако мы всегда имеем в виду, что число столкновений частиц реагента с каплями нужно рассматривать как верхнее значение числа актов, приводящих к замерзанию капель. Именно в этом смысле найденное ниже число столкновений частиц реагента с облачными каплями может служить оценкой для эффективности действия механизма контактной нуклеации.

Расчет величины  $\gamma$ . Прежде всего дадим точное определение величины  $\gamma(r, T)$ , количественное значение которой и будет характеризовать интенсивность проявления механизма контактной нуклеации в условиях активных воздействий на облака. Величина  $\gamma(r, T)$  есть отношение числа столкновений частиц реагента с облачными каплями за время T (отсчитываемое от момента времени введения реагента в облако) на расстоянии r от области введения реагента к концентрации реагента на том же расстоянии в момент времени T.

Пространственно-временное изменение концентрации реагента удобно взять по формуле Сеттона. В случае точечного источника, т. е. введения реагента в некоторой локальной области, счетная концентрация его на расстоянии r в момент времени t имеет вид

$$q(r, t) = \frac{Qe^{-\frac{r^2}{C^2(\overline{u}t)^2 - n}}}{\pi^{\frac{a}{2}}C^3(\overline{u}t)^{\frac{a}{2}(2-n)}},$$
 (1)

где  $\bar{u}$  — средняя скорость ветра, которая во всех расчетах полагается равной 10 м/с, Q — количество введенного реагента, n и C — параметры, определяющие интенсивность турбулентного перемешивания.

Выражения для распределения концентрации реагента для линейного источника (реально это относится к введению реагента с помощью пиропатронов) в наиболее характерных направлениях его распространения приводятся в [5]. Так, в направлениях, лежащих в плоскости, перпендикулярной источнику и проходящей через его середину

$$q_1(r, t) = \frac{2Q_1 e^{-\frac{r^2}{C^2(\overline{u}\,t)^{2-n}}}}{\pi \,C^2(\overline{u}\,t)^{2-n}} \,\Phi\left(\frac{z_0}{\sqrt{2}\,C(\overline{u}\,t)^{1-n/2}}\right),\tag{2}$$

где  $z_0$  — длина линейного источника,  $Q_1$  — количество реагента на единицу длины источника.

$$\Phi(x) = \frac{1}{\sqrt{2\pi}} \int_{0}^{x} e^{-\frac{\xi^{2}}{2}} d\xi$$

- нормальный интеграл вероятностей.

Чтобы найти число столкновений частиц реагента с облачными каплями, обратимся к известным механизмам столкновений, действующим в облачной среде. Эти механизмы описаны, например, в [7, 10]. Из всех механизмов столкновений для рассматриваемых размеров частиц реагента и облачных капель будем учитывать только два: броуновскую диффузию и турбулентную диффузию. Механизм гравитационной коагуляции турбулентности через механизм ускорений исключаются из-за близости к нулю коэффициента захвата. Более тонкие эффекты сравнению с броуновской диффузией [12]: форез, термофорез, стефановское течение, во внимание принимаем. Условия, при которых эти эффекты существенны, в настоящее время нельзя считать выясненными [2], их включение сильно усложнило бы расчеты. Но самое главное состоит в том, что усложнение просто не оправдано на фоне далеко не точных значений параметров, описывающих диффузию в облачной среде.

Число столкновений частиц реагента с каплями, обусловленное броуновской диффузией, в 1 см³ облачной среды за время т выражается, по Смолуховскому [9], следующей формулой:

$$N_{\rm 6p} = 4\pi (R + \rho) D n_R n_\rho \left(\tau + \frac{2(R + \rho)\sqrt{\tau}}{\sqrt{\pi D}}\right), \tag{3}$$

де R — радиус капель,  $n_{
ho}$  и  $n_{
m R}$  — соответственно концентрации настиц и капель с радиусами ho и R, D — суммарный коэффициент диффузии частиц и водяных капель.

Поскольку  $R \gg 
ho$ , то D практически равно коэффициенту диф-

фузии частиц реагента

$$D_{\varrho} = \frac{kT}{6\pi \eta \varrho},$$

де  $\eta$  — вязкость воздуха, взятая равной 1,71 $\cdot$ 10 $^{-5}$   $\Pi$ a $\cdot$ c, k —  $\Pi$ o $\cdot$ стоянная Больцмана.

Число столкновений, связанных с турбулентной диффузией, имеет вид

$$N_{\text{ryp}} = \alpha E \left(\frac{\varepsilon}{\gamma}\right)^{1/2} R^3 n_R n_\rho \tau, \qquad (4)$$

где  $\epsilon$  — диссипация турбулентной энергии на единицу массы среды в единицу времени, параметр  $\alpha$  в [4] принимается равным

1,3, что соответствует его верхнему пределу [8].

В правую часть (4) должен входить коэффициент захвата E, на что указывается в [4, 7]. Турбулентные пульсации по отношению к сталкивающимся частицам выступают как направленные движения, ибо масштаб даже самых малых турбулентных пульсаций  $\Lambda \sim \left(\frac{\sqrt{3}}{\epsilon}\right)^{1/4}$  значительно больше размеров сталкивающихся частиц реагента и облачных капель. Правда, хаотичность этих пульсаций может обеспечить захват частиц при таких их размерах, для которых относительное движение в ламинарном потоке не приводит к столкновению. Эффект турбулентной диффузии, если  $\Lambda\gg R$ , нужно мыслить следующим образом. Когда частица и капля находятся на расстоянии, значительно большем  $\Lambda$ , то их сближение до расстояний порядка  $\Lambda$  обусловлено преимущественно турбулентной диффузией, а на более близких расстояниях турбулентность играет лишь ограниченную роль, что и выражается некоторым значением коэффициента захвата.

Закон распределения капель по размерам берем в виде

$$f(R) = \frac{4R^2}{R_m} \exp\left(-\frac{2R}{R_m}\right). \tag{5}$$

Значение модального радиуса  $R_m$  по [6] полагаем равным 8 мкм. Тогда  $\bar{R}=12$  мкм,  $\bar{R}^2=192$  мкм²,  $\bar{R}^3=3840$  мкм³,  $\bar{R}^4=92\,160$  мкм⁴. Используя (1), (3) и (4), находим общий вид  $\gamma_T(r,T)$  для точечного источника. С этой целью складываем  $N_{\rm 5p}+N_{\rm туp}$ , подставляем вместо  $n_{\rm p}(r,t)$  его значение q(r,t) из (1) и интегрируем по  $\tau$  от нуля до T. Вместо R и  $R^3$  подставляем их средние значения. Вторым членом в правой части(3) пренебрегаем, поскольку он значительно меньше остальных слагаемых для интересующих нас значений величин. В результате получаем

$$\gamma_{T}(r, T) = \frac{n_{R} \left[ 4 \pi D \overline{R} + 1,3 E \left( \frac{\varepsilon}{\nu} \right)^{1/2} \overline{R}^{3} \right] I}{q(r, T)}, \qquad (6)$$

$$I = \int_{0}^{T} q(r, \tau) d\tau = \frac{Q}{\pi^{3/2} C^{3}} \int_{0}^{T} \frac{e^{-\frac{r^{2}}{C^{2} u^{2} - n} \frac{r^{2}}{\tau^{2} / 2} - n}}{\overline{u}^{3/2} (2 - n) \tau^{3/2} (2 - n)} d\tau.$$

Совершенно аналогично, но с выражением для концентрации

астиц реагента из (2) вместо (1) получим  $\gamma_{\pi}(r, T)$  и для линейого источника

$$\gamma_{\pi}(r, T) = \frac{n_{R} \left[ 4 \pi D \overline{R} + 1,3E \left( \frac{\varepsilon}{\nu} \right)^{1/2} \overline{R}^{3} \right] I_{1}}{q_{1}(r, T)},$$

$$I_{1} = \int_{0}^{T} q_{1}(r, \tau) d\tau = \frac{Q_{1}}{\pi C^{2}} \int_{0}^{T} \frac{e^{-\frac{r^{2}}{C^{2} \overline{u}^{2} - n \tau^{2} - n}}}{\overline{u}^{2} - n \tau^{2} - n} d\tau.$$
(7)

Гри преобразовании к (7) было принято во внимание, что  $y(x) \approx \frac{1}{2}$ , если x > 1,5. Это накладывает ограничения на возможые значения времени T, а именно

$$T^{1-n/2} < \frac{\sqrt{2} z_0}{3C\bar{u}^{1-n/2}}. (8)$$

Подчеркнем, что само по себе отношение  $\gamma(r,T)$ , записанное форме (6) и (7), даже до задания конкретных значений парацетров процесса уже означает завышение отношения концентраии кристаллов, образовавшихся по механизму контактной нукеации, к концентрации частиц реагента на расстоянии r в любой 
помент времени T. Действительно, интегрирование от 0 до Tзначает учет всех соударений за период времени T. Фактичеки же к моменту T часть кристаллов, образовавшихся ранее 
помента времени T, уже покинет эту область. Кроме того, выракения для числа соударений в виде (3) и (4) предполагают упруий характер соударений. На самом же деле попадание частицы 
реагента на облачную каплю, как правило, должно приводить к ее 
ахвату. Следовательно, со всех точек зрения (3) и (4) дают 
заведомо завышенные числа столкновений.

Расчеты  $\gamma$  произведены по формулам (6) и (7) на ЭВМ для различных значений интенсивности турбулентного перемешивания облаках, размеров частиц льдообразующего реагента и коэффициента E.

Приведем значения варьируемых параметров:

1) n=0,20; C=0,14, 0,28, 0,42, 0,56;  $\epsilon$ =500, 1000, 4000; T==5, 10, 15 мин.

2) n=0.25; C=0.06, 0.12;  $\epsilon=60$ , 100, 1000; T=10, 20, 30, 40 мин.

3) n=033; C=0.03; 0.06;  $\epsilon=5$ , 20, 40; T=30, 60, 90, 120, 150 мин.

В свою очередь для каждой ситуации рассмотрены четыре градации размеров частиц реагента:  $\rho = 10^{-6}$ ,  $10^{-5}$ ,  $5 \cdot 10^{-6}$ ,  $5 \cdot 10^{-5}$  см, а также значения коэффициента E = 1, 0,5, 0,5.

Первая ситуация относится к конвективным облакам, а осталь-

ные две к облакам слоистых форм.

Величины скорости диссипации турбулентной энергии приводятся в [4, 14].

Выбор T для конвективных облаков определялся времене начала выпадений осадков после воздействия на них, равног приблизительно  $10\,$  мин.

Наиболее вероятными значениями параметров применительными размерам частиц льдообразующего реагента считались  $\rho = 5 \cdot 10^{-6}$  см, промежуточное значение  $\epsilon$  и E = 0.1.

Ряд авторов считает, что основным механизмом, приводящи к захвату частиц реагента облачными каплями, является броу

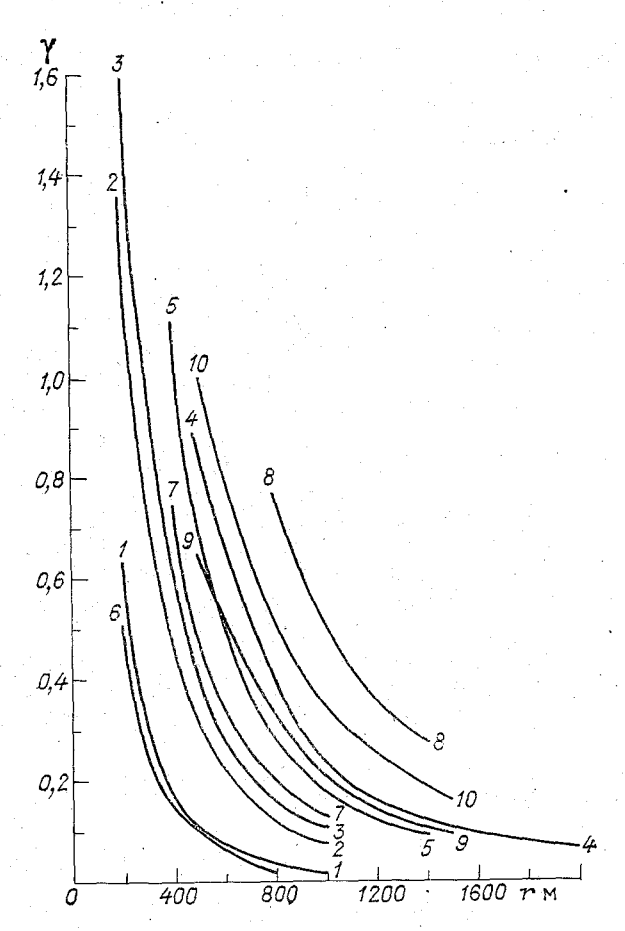


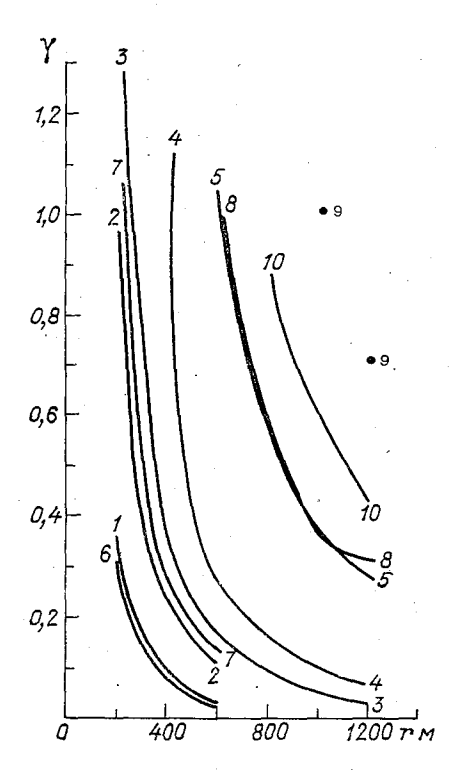
Рис. 1. Зависимость  $\gamma$  от расстояния до источника r при неустойчивой стратификации (n=0,20) для различных параметров столкновений частиц реагента с облачными каплями при  $\varepsilon$ =1000 и  $\rho$ =5·10<sup>-6</sup>.

		1-5-10dedum netodink, b-10-inhennim netodink.													
K	ривые .				1,6		2	3		4,9	5	7		8	10
	T .				5		5	5		5	10	5		15	5
	E .	 ٠.		٠.	0,1		0,5	0.1		0,1	0,1	0,5		0,1	0,1
	C				0.14		0.14	0.28		0.42	0.28	0.14		0.14	0.56

эвская диффузия (например, [12, 13]), а турбулентная диффу-

ия не учитывается вообще.

Относительно значений счетной концентрации облачных каель известно [3], что для кучевых облаков они в нижней части блака возрастают с высотой, а затем уменьшаются с высотой в переохлажденной части облака достигают 40 см<sup>-3</sup>. В расче-



с. 2. Зависимость  $\gamma$  от расстояния до источника r при безразличной стратификации (n=0,25) для  $\rho$ =5·10<sup>-6</sup> ( $\rho$ =10<sup>-6</sup> для кривой 8).

Кривые	1,6	2	3	4	5	7	8	9	10
T	10	10	10	20	20	10	20	30	40
€	100	60	100	100	100	60	60	100	100
$E \dots \dots$	0,1	1	0,1	0,1	0,1	0,1	0,1	0,1	0,1
C	0,06	0,06	0,12	0,06	0,12	0,06	0,06	0,12	0,06

х всюду принято  $n_R = 60$  см<sup>-3</sup>, что соответствует при выбранм выше  $\bar{R}^3$  водности около 1 г/м<sup>3</sup>.

Результаты расчетов значений  $\gamma$  иллюстрируются на рис. 1, 2, соответственно для  $n=0.20,\ 0.25,\ 0.33$  (на осях ординат отлоены значения  $\gamma \cdot 10^3$ ). Проведенные расчеты позволяют сделать едующие основные выводы.

- 1.  $\gamma$  монотонно уменьшается с расстоянием как для точечног так и для линейного источника. Это уменьшение тем сильнее, чо интенсивнее турбулентное перемешивание и больше интервал времени T.
- 2. Для обоих типов источников изменение  $\gamma$  в зависимости расстояния от источника почти не отличаются, за исключени

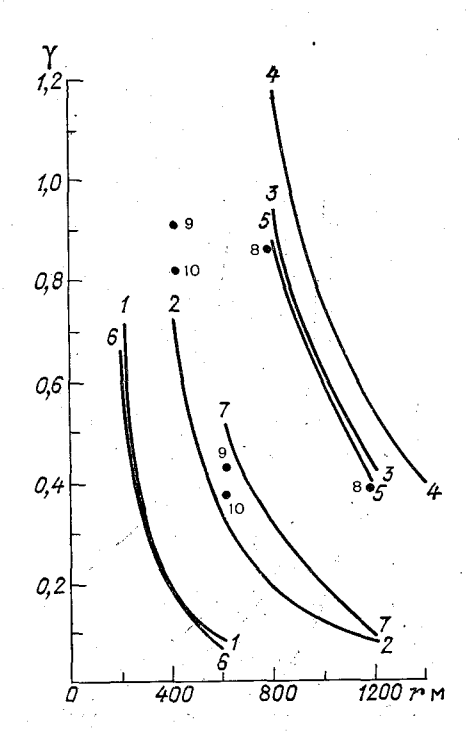


Рис. 3. Зависимость  $\gamma$  от расстояния до источника r при умеренной инвер  $(n\!=\!0,\!33)$  для  $\epsilon\!=\!20.$ 

	15	—точечный	источн	ик, 6—10-	—линейный	источник.			
Кривые	1,6	2	3	4	5	. 7	8	9	
T	30	30	30	60	90	60	90	30	
E ,	0,1	0,1	0,5	0,5	0,5	0,1	0,5	0,5	¢
ρ	$5 \cdot 10^{-6}$	$5 \cdot 10^{-6}$	$10^{-6}$	5·10 <sup>—6</sup>	5.10-6	5.10-6	$10^{-6}$	$10^{-6}$	10
$c \dots$	0,03	0,06	0,06	0,06	0,03	0,03	0,03	0,03	0

самых близких расстояний, начиная с которых  $\gamma$  становится ме ше  $10^{-3}$ .

3. При n=0,20 даже для оптимального с точки зрения н большего числа столкновений случая ( $\rho$ =10<sup>-6</sup>,  $\epsilon$ =40 E=1), начиная снекоторых расстояний,  $\gamma$  становится меньше 10 Так, для T=5 мин при C=0,14 это расстояние менее 600 м, а г C=0,28 оно уже более 1000 м.

Для случая наименее благоприятного ( $\rho = 5 \cdot 10^{-5}$ ,  $\epsilon = 500$ , E ==0,1) при интервале времени T=10 мин и C=0,28 значение у больше  $10^{-3}$  только до 600 м.

- 4. Для ситуации с наиболее слабым турбулентным перемешиванием, n=0.33 при T=30 мин, C=0.06,  $\rho=10^{-6}$ ,  $\epsilon=40$ , E=1протяженность зоны с ү≥10-3 составляет немногим более 400 м от источника. А при T=150 мин, C=0.03, но  $\rho=5\cdot 10^{-5}$ ,  $\epsilon=5$ , E = 0.1 эта область менее 600 м.
- 5. Рассчитанные значения у как верхняя оценка отношений концентрации ледяных частиц при действии только механизма контактной нуклеации к концентрации частиц самого реагента свидетельствуют о том, что лишь на сравнительно малых расстояниях от источника введения льдообразующего реагента это отношение не менее  $10^{-3}$ .

Таким образом, в реальных условиях активных воздействий на переохлажденные облака механизм контактной нуклеации может обеспечить концентрацию ледяных частиц, существенно меньшую, чем концентрация льдообразующего реагента.

6. Отношение вклада броуновской (3) и турбулентной (4) диффузии в число столкновений частиц реагента с облачными каплями  $N_{\rm 6D}/N_{
m TVD}$  для указанного ранее интервала величин  $\varepsilon$ , E и  $\wp$ 

изменяется в широких пределах.

Для среднего размера частиц реагента  $o=5\cdot 10^{-6}$  и E=0,1это отношение равно: 0,8 ( $\varepsilon$ =1000), 2,6 ( $\varepsilon$ =100) и 5,8 ( $\varepsilon$ =20).

Следовательно, при E = 0.1 только для размера частиц  $\rho \le 10^{-6}$ можно пренебречь влиянием турбулентной диффузии по сравнению с броуновской.

#### СПИСОК ЛИТЕРАТУРЫ

- 1. Баханова Р. А. О механизме образования ледяных кристаллов на кристаллизующих реагентах. — Обнинск: Изд. ВНИИГМИ — МЦД,
- 2. Волощук В. М., Седунов Ю. С. Процессы коагуляции в дисперсных системах. — Л.: Гидрометеоиздат, 1975. — 320 с.

3. Зайцев В. А. Водность и распределение капель в кучевых облаках.—
Труды ГГО, 1950, вып. 19(81), с. 122—132.
4. Ивановский А. И., Мазин И. П. Турбулентная коагуляция и ее роль-

- в процессе укрупнения облачных капель. Труды ЦАО, 1960, вып. 35, c. 21—35.
- 5. Клинго В. В., Кудашкин Г. Д. К определению закономерностей распространения частиц льдообразующего реагента в облаках на основе диффузионной модели Сеттона. — Труды ГГО, 1979, вып. 405, с. 41—50.

6. Никандрова Г. Т. Изменение с высотой микроструктуры облаков разного типа. — Труды ГГО, 1962, вып. 126, с. 70—78.

7. Седунов Ю. С. Кинетика формирования облачного спектра. Автореф. дисс. на соискание учен. степени д-ра физ.-мат. наук. Обнинск, 1967. 8. Смирнов В. И. О величине константы турбулентной коагуляции. — Трудыя

ЦАО, 1966, вып. 71, с. 16—33.

9. Чандрасекар С. Стохастические проблемы в физике и астрономии. М.:

Изд-во иностр. лит., 1947. — 168 с. 10. Шишкин Н. С. Облака, осадки и грозовое электричество. — Л.: 1964. — 401 c.

- East T. W., Marshall J. S. Turbulence in clouds as a factor in precipitation.— Quart. J. Roy. Met. Soc., 1954, v. 80, N 346, p. 638—640.
   Rosinski J., Kerrigan T. C. Mechanism of ice formation in seeded
- convective storms. J. Appl. Mat. and Phys, 1972, vol. 23, p. 277-300.
- 13. Rosinski J., Kerrigan T. C. Formation of ice phase by contact, freezing, sorption and condensation—freezing in natural and seeded storms.—J. Rech. Atmos., 1977, vol. 11, N 2, p. 77—97.

  14. Safman P. G., Turner I. H. On the collision of drops in turbulent clouds.—J. Fluid. Mech., 1956, vol. 1, N 1, p. 16—30.

# В. Я. Никандров, П. Ф. Свистов, Н. Н. Бурчуладзе, Ю. И. Туркин

# ХИМИЧЕСКИЙ СОСТАВ И ЗАРЯЖЕНИЕ КАПЕЛЬ ПРИ ФАЗОВЫХ ПЕРЕХОДАХ

Среди химических компонентов, входящих в состав градин и снежинок, можно выделить две группы: 1) структурообразующие — молекулы воды, продукты ее диссоциации (H+ и OH-) и, возможно, HCO<sub>3</sub> в равновесии с CO<sub>2</sub> воздуха и 2) элементытримеси — SO<sub>4</sub><sup>-2</sup>, Cl-, NO<sub>+</sub>, NH<sub>4</sub>, Na+, K+, Ca+, Mg+<sup>2</sup>, Fe+<sup>3</sup>, Al+, Pb, Hg и т. д. Последние из них являются хорошими комплексобразователями. На разных стадиях градообразования ионы, входящие во вторую группу, могут быть структурообразующими — солевые ядра конденсации и кристаллизации, содержащие ионы слора, натрия, калия и т. д.

Компонент, входящий в первую группу, либо сам строит решетсу атмосферного льда, либо совместно с другими элементами. В этом случае другие элементы могут существенно исказить

труктуру решетки [1, 6].

Обычно считается, что градина и снежинка имеют сравниельно постоянный состав структурообразующих компонентов. Созмеримость ионных радиусов, близость термодинамических войств и значений гидратации ионов позволяют считать эти смепанные фазы регулярными растворами.

Строго говоря, структурообразующий элемент должен обнауживать некоторую дисперсию в содержаниях, лежащую в преелах стехиометрических соотношений, но оценить ее в настоящее ремя невозможно, так как дисперсия ошибок существующих ме-

одов химического анализа в несколько раз больше.

Элементы второй группы рассматриваются как не принимающие участие в формировании решетки льда и присутствуют в нем качестве примеси. Распределения каждого из них будут дополять друг друга до нормального (с данными параметрами). При гом может иметь место такое состояние, когда один из элеменов, находящийся в больших концентрациях, будет обнаруживать пабо отрицательный сдвиг, а другой элемент, содержащийся подчиненных концентрациях, — положительный [2].

Предположение о незначительных колебаниях дисперсии относится к чистым пробам. В загрязненных пробах дисперсия в значениях концентраций элементов будет гораздо большей и значимой.

Ниже приводятся результаты проверки гипотезы о согласованности распределений общей минерализации и ионов калия в снежинках, собранных в Воейково, с нормальным или логнормальным законом распределения при помощи критерия  $\chi^2$  [табл. 1, 2].

Таблица 1 Результаты проверки гипотезы логнормального распределения содержаний калия в снежинках для n=40,  $\kappa^2=0.62$ ,  $\chi^2_{5\%}=7.8$  при трех степенях свободы ( $x_i$ — границы интервалов концентрации,  $n_i$ — частоты,  $N_i$ — теоретические частоты)

_			$x_{i}$	мг/л		
Величина	2,24-2,82	2,82-3,16	3,16-3,55	3,55-3,98	3,98—4,47	4,47-5,01
$lg x_i$	0,350,45	0,450,50	0,50—0,55	0,55—0,60	0,600,65	0,65-0,7
$n_i$	3	5	11	10	7	4
$N_i$	3,41	6,52	10,07	10,07	6,52	3,41
$\frac{(n_i - N_i)^2}{N_i}$	0,05	0,36	0,08	0,00	0,04	0,10
		title i stille i sala			1	Facilities

Таблица Результаты проверки гипотезы нормального распределения общей минерализации в снежинках для n=60,  $\kappa^2=6,06$ ,  $\kappa^2_{56}=9,5$  при четырех степенях свободы ( $x_i$ — границы интервалов минерализации,  $n_i$ — частоты,  $N_i$ — теоретические частоты)

_				$x_i \text{ Mr/} \pi$			
Величина	6-7	7-8	8-9	9—10	10—11	11-12	12-13
$n_i \ N_i$	3 1,80	5 4,53	7 9,62	10 15,04	18 13,06	12 9,62	5 6,33
$\frac{(n_i - N_i)^2}{N_i}$	0,80	0,05	0,71	1,67	1,92	0,60	0,31

Результаты проверки свидетельствуют о хорошей согласованис сти распределения ионов калия с логнормальным законом, тогд как для распределения общей минерализации результаты отрицательны.

Однако при любом типе распределения химических элементо вероятность локализации зарядов в замерзающей капле, обуслогленная наличием главных ионов, незначительна. Наши опыты по казали, что отношения содержаний главных ионов в свежеобре

зовавшемся льду и воде почти одинаковы. Исключение составляют калий и кальций, относительные концентрации которых в твердой фазе выше, чем для остальных. Это дает основание считать, что ионы калия и кальция сорбируются зародившимися кристаллами льда.

Распределение элементов-примесей в градинах и снежинках отличается от распределения главных ионов прежде всего большими дисперсиями. Отметим, что при изучении характера распределения необходимо учитывать форму нахождения элемента-примеси, так как не безразлично, обязано ли его присутствие и распределение в твердой фазе процессам поверхностной адсорбции, окклюзии, изоформизму или процессу комплексообразования [4].

Существует два предельных закона распределения примесей

в кристалле.

1. Закон Хлопина [3] представляет собой приложение к данному явлению закона Бертло — Нернста о распределении вещества между двумя несмешивающимися жидкостями и отражает такое распределение микрокомпонента между кристаллами и раствораконцентраций при котором отношение микрокомпонента в кристаллах и в растворе во все время кристаллизации остается постоянным. Закон Хлопина записывается в виде уравнения  $[(xS_1)/m] = K[(1-x)S_0/q]$ , где x — количество примеси в кристалле, m — количество твердой фазы, (1-x) — количество примеси в растворе, д — количество жидкой фазы, К — константа распределения,  $S_1$ ,  $S_0$  — удельные веса соответственно твердой и жидкой фаз.

Закон характеризует распределение примеси в таких случаях, когда между выделившимися кристаллами и раствором устанавливается истинное равновесие, что приводит к равномерному рас-

пределению примеси по всему объему кристалла.

2. Логарифмический закон распределения примеси в кристаллах, выведенный Дернером и Хоскинсом [3, 4], характеризует распределение микроэлемента при отсутствии истинного равновесия между выделившимися кристаллами и раствором. В этом случае распределение элементов-примесей в кристаллах неравномерно, содержание примеси нарастает или убывает от центра к периферии. Аналитически закон Дернера — Хоскинса выражается следующим логарифмическим уравнением:  $\lg(x/a) = \lambda \lg(y/b)$ , где x — концентрация примеси в растворе после кристаллизации, a — концентрация макрокомпонента в растворе после кристаллизации, b — то же до кристаллизации,  $\lambda$  — константа распределения.

Логарифмический закон распределения соблюдается, когда кристаллы медленно растут из раствора с постоянной степенью

пересыщения или дефицитом концентрации.

Существующие в настоящее время представления о процессах кристаллизации [3, 4, 5] основываются на закономерностях и предположениях о равновесности природных процессов и систем. Однако процессы градо- и льдообразования, как и всякие

естественные процессы, не только не удовлетворяют требованиям строгой термодинамической равновесности, но и нередко идут

с резко выраженной необратимостью.

Истинное равновесие между кристаллами и раствором в течение периода его кристаллизации может устанавливаться только для тех элементов, концентрация или химический потенциал которых остается все время примерно постоянным, или в тех случаях, когда период роста отдельных кристаллов сравнительно короток. При этом концентрация элемента-примеси в жидкой фазе должна изменяться незначительно в течение роста кристалла. Будет достигаться гомогенное распределение микропримеси в кристаллах, отвечающее закону Хлопина и соответствующее статистической функции Гаусса. В этом случае заряд замерзающей капли или влажной солевой частицы должен испытывать в среднем только слабое смещение.

Примером могут служить экспериментальные данные (табл. 3) по замораживанию капель эталонных растворов хлористого калия. Диапазон концентраций их охватывает все возможные в природных условиях значения этой величины. Размеры исследуемых капель составляли 1 и 2 мм, а концентрации —  $10^{-1}$ — $10^{-6}N$ .

При очень малом содержании хлористого калия, близком к его содержанию в дистиллированной воде  $(10^{-6}N)$ , влияние сорбционных явлений на заряд замерзающей капли незначительно.

Для среднего интервала концентраций имеет место более медленная кристаллизация из раствора при постоянной степени нехватки или избытка элемента-примеси, и тогда распределение их становится логнормальным, следуя закону Дернера — Хоскинса. Однако в природных системах как чисто гомогенное (нормальное), так и чисто логарифмическое распределения наблюдаются не так часто. В любой системе, где кристаллы растут из жидкой фазы, распределение микропримеси должно находиться между этими граничными случаями.

По-видимому, существует некоторая тенденция к установлению равновесия между внутренней частью кристалла и раствором, так что не будет наблюдаться прямого соответствия логнормальному закону. В то же время при кристаллизации редко возникают условия для установления истинного равновесия, так что

не будет подтверждаться и закон гомогенности Хлопина.

Следовательно, возможны три ситуации: 1) химический потенциал выравнивается при образовании кристаллов во всех частях раствора и кристаллов, поэтому распределение зарядов должно следовать закону Хлопина; 2) химический потенциал выравнивается во всех частях раствора и не выравнивается в кристаллах, что соответствует распределению микрокомпонента по логарифмическому закону Дернера — Хоскинса; 3) химический потенциал и заряд не успевают выравниваться не только в кристаллах, но и в растворе, т. е. существует градиент концентрации в растворе. Модель стохастического распределения для этого случая не установлена, распределение носит часто экспоненциаль-

Заряды  $q_+$  и  $q_-$  (10–15 Кл), возиикающие при замерзании капель раствора КСІ различной концентрации отногительно N ( $t_-$  температура замерзания (°С).  $n_-$ номер опыта)

			OTH	осител	относительно $N$ ( $t$ — температура замерзания ( ${}^{\circ}$ С), $n$ — номер опыта)	- TeM	перату	pa san	лерзания	(,C)	ион — г	мер оп	ыта)			
:	10	10-5 N			10	10—4 N			io	io-3 N				10-2 N	, į	
æ	**	g + b	<u>_                                    </u>	z .	<i>‡</i>	4-4	q	u .	7	$+_b$	-b	u	. 1	+ b	g –	
	-19,0	0	9	=	-18,5	9	0	21	-15,5	4	0	31	-10,0	2	0	
2	-18,0	0	10	12	-15,0	7	0	22	-14,5	8	0	32	-9,5	. 23	2	
က	-18,0	0	5	13	-14,5	4	0	23	-15,0	7	7	33	2,6—	4	0	
4	-18,0	4	4	14	-16,0	23	0	24	-14,0	4	0	34	-13,0	က	0	
2	-16,0	4	5	15	-15,5	က	0	22	-13,5	4		35	-12,0	4	0	
9	-19,0	ಬ	12	10	-17,0	7	0	56	-17,0	4	0	36	0,6—	9	0	
7	-18,0	73	က	17	-15,5	. 63	က	27	-13,0	9	0	37	-10,0	62	0	
· ·	-18,5	က	0	18	-16,5	0	-	82	-16,0	4	0	38	-12,5	က	-	
6	0,71—	4	0	10	-16,0	4	0	53	0'21-	4	. 2	36	-13,0	4	23	
10	-16,0	9	က	20	-16,0	~	7	08	-17,0	4	0	40	-10,5	67	0	
еднее	Среднее —17,8	က	4	1	-16,0	က	5	. ,	-15,2	ಬ			6'01—	က		
			-			•			-	•		•			~=	

ный характер, кривые плотностей вероятности обладают резкой положительной асимметрией, логарифмическое преобразование не приводит функцию распределения к нормальной.

В качестве примера можно привести распределение концентрации калия и заряда в замерзающей капле естественных проб

атмосферных осадков (см. табл. 3).

Распределение содержания калия в снежинках близко к логнормальному (см. табл. 1). Распределение же ионов калия и зарядов капель атмосферных осадков асимметричное и не соответ-

ствует логнормальному распределению.

Таким образом, можно сказать, что характер статистического распределения концентраций химических элементов в градинах, снежинках и замерзающих каплях в зависимости от природных явлений может быть различным. Наблюдаются кривые распределения как симметричные, близкие к нормальному закону, так и с положительной асимметрией, соответствующие логнормаль-

ному распределению и не соответствующие ему.

-В заключение следует отметить, что поскольку характер статистического распределения элементов примесей в твердых осадках отражает в известной мере условия их формирования, постольку, опираясь на известные законы распределения, можно решать и обратную задачу — восстанавливать в основных чертах природу образования тех или иных частиц твердой фазы воды в атмосфере, а в дальнейшем и предусматривать возможные способы воздействия на процессы фазовых переходов атмосферной влаги.

#### СПИСОК ЛИТЕРАТУРЫ

1. Қаренман П. М. Аналитическая химия малых концентраций. — М.: Химия 1967. — 166 c.

2. Смирнов С. И. Вероятностно-статистические закономерности распределе ния химических элементов в природных водах. — В кн.: Гидрогеохимические материалы. М.: Изд-во АН СССР, 1963, с. 5—56.

3. Хлопин В. Г. Избранные труды, т. 1. — М.: Изд-во АН СССР, 1957. — 88 c-

4. De Boer J. H. The dynamical character of adsorption.— Qxford, 1953, p. 275 5. Iribarne J. V. The electrical double layer and electrification associated with water disruption processes.— J. Rech. Atmos., vol. 6, N 1-3, 1972 p. 265—281.

6. Znodel G. Hydration and Intermolecular interaction.— New York and Lon

don: Academie Press, 1969, p. 400.

## К ВОПРОСУ О РАЗРУШЕНИИ КАПЕЛЬ ПРИ ЗАМЕРЗАНИИ

С начала 60-х годов стало появляться много исследований разрушения капель при замерзании, хотя и раньше в отдельных работах наблюдали взрывы и раскалывание капель, их деформацию с образованием выпуклостей и спикул (рогов). Интерес к изучению условий разрушения замерзающих капель объясняется следующим. Во-первых, измерения ледяных кристаллов в облаках типа Си и Sc показали, что их концентрация при температурах выше  $-15\,^{\circ}$ C на 3-4 порядка величины превышает концентрацию ледяных ядер, активных при той же температуре [12, 4] 14]. Одним из процессов, приводящих к образованию вторичных ледяных ядер, может быть разрушение капель при замерзании. При этом под разрушением замерзающей капли понимается как ее раскалывание на две или более части, так и выбрасывание мелких ледяных осколков (сплинтеров) или микрокапель в процессе замерзания. Последний процесс может давать дополнительные ледяные ядра, если в каплях содержатся частицы льдообразующего вещества.

Во-вторых, при раскалывании замерзающих капель и выбрасывании сплинтеров наблюдается их заряжение [15], что может

иметь значение для объяснения электризации облаков.

В данной работе дается краткий обзор результатов исследований разрушения капель при замерзании и приводятся результаты выполненных авторами лабораторных экспериментов по изучению разрушения капель воды с примесями, замерзающих в различных условиях.

# 1. Результаты исследований разрушения капель при замерзании

Разрушение капель воды. При исследовании замерзающих капель в лабораторных условиях чаще всего изучается замерзание отдельных крупных ( $d \geqslant 1$  мм) капель воды, подвешенных на нитях или термопарах в холодильных камерах. Начиная с конца

Разрушение капель (d=1+3 мм), замерзающих в статических условиях (на термопаре или нити)

Источник	[10, 16, 5]	[10, 13]	[9]	[13, 15, 6]	£	[15]	F	[15, 13]	[13, 15, 10]	[10, 15]	[10, 16]	[10, 16]	[13]	
Число ледяных осколнов от капли	1-2	1-4				22—54	8—27	3—6	520	1—6	_	<150	Много	
Доля капель, дающих ледя- ные осколки,	1—10	40				27—47	11—22	1-20	62	30				
Доля расколов- шихся капель. %	6-0	0—100	20	546	2650				20—50	20—30	1540	0—25	100	
Давление, Па	105	104	105	105	105	105	105	105	105	105	105	105	5.103	
Газовая среда	Воздух		Воздух	, , ; , ;	*	*	*	******	Водород	Гелий	10-50 % CO <sub>2</sub>	100 % CO <sub>2</sub>	<sup>©</sup> 00	
Тепловое состояние капли относительно среды	Равновесное		Неравновесное	s	- 1. - 1. - 1. - 1. - 1. - 1. - 1. - 1.	£	£	ŧ	Равновесное			*	£	
1									13	-12				

60-х годов проводятся также исследования разрушения капель воды в условиях, более близких к естественным: капли диаметром 15—800 мкм замораживаются при свободном падении или во взвешенном состоянии. Основные результаты экспериментов поразрушению капель воды приведены в табл. 1 для капель, замерзающих в статических условиях, и в табл. 2 для капель, замерзающих в условиях свободного падения. В таблицах обозначено:  $T_{\rm a}$  — температура замерзания капель,  $T_{\rm B}$  — температура воздуха. d — диаметр капли. В большинстве опытов использовалась дистиллированная и деионизованная вода. При температурах ниже -20°C капли замерзали самопроизвольно, а для замораживания капель при более высоких температурах использовались ледяные кристаллы или частицы AgI (в виде суспензии или аэрозоля). Нисло ледяных осколков определялось с помощью переохлажденчого раствора сахара или по изменению заряда капли в процесе замерзания.

Таблица 2 Доля капель (%), раскалывающихся при замерзании в условиях свободного падения, по данным разных источников

		d mki	М	
T <sub>3</sub> °C	15—50	50-200	200-300	300-800
>—10	_	0 [11], 9 [8]	6 [8]	0 [12,20]
т —10 до —20	-	0 [11], 7 [8], 10 [12], 37 [19, 20]	14 [8]	0 [12], 22 [19]
<-20	0[7, 12]	0 [7,11], 5[12]	<10 [19]	≪20 [20]

Как видно из данных табл. 1; доля разрушающихся при замерании в статических условиях капель существенно зависит от словий эксперимента. Значительная доля разрушившихся капель до 50 %) наблюдалась в тех опытах, где, как показали Дай Хоббс [10], Хэллит и Джонсон [13], капли замерзали, не дотигнув теплового равновесия с окружающей средой (например, ри наличии больших градиентов температуры в камере или при несении теплой капли в холодную среду и замерзании ее при  $T_{\rm B} > T_{\rm B}$ ), а также в опытах, где для охлаждения камеры или заораживания капель использовалась твердая углекислота. Спеиальные исследования показали, что среда, состоящая из смеси оздуха с углекислым газом, а также из гелия или водорода, пособствует разрушению замерзающих в ней капель. Пониженое давление в среде тоже является фактором, благоприятным ля разрушения капель. При замерзании в равновесных услоия при атмосферном давлении раскалывается не более 9 % каель в широком диапазоне температур.

В опытах со свободно падающими каплями, замерзающими ри достижении равновесия со средой, найдена большая частота

их раскалываний, чем в опытах с неподвижными каплями (табл. 2). Эти опыты показали некоторую зависимость числа расколовшихся капель от их размеров и температуры замерзания. Капли диаметром менее 50 мкм не разрушаются при замерзании. По данным Бадера и др. [7], Гея и Латама [11], не наблюдается разрушения капель диаметром до 200 мкм, а в опытах Питтера и Пруппахера [12] — до 800 мкм. В опытах Такахаши [20] найден максимум частоты раскалывания капель (37%) при замерзании в интервале температур от —10 до —20°С для капель диаметром 75—175 мкм.

Анализ условий раскалывания замерзающих капель проведен в работах Дая и Хоббса [10], Хэллита и Джонсона [13] Жекамухова [4]. Прочная (прозрачный лед) и симметричная ледяная оболочка, необходимая для создания внутри нее большого давления, приводящего к раскалыванию капли, образуется принебольшом переохлаждении и симметричном теплоотводе. Быстрое нарастание давления внутри ледяной оболочки происходитри резком охлаждении капли и выделении большого количествя пузырьков газа. По расчетам [10], теплоотдача в воздухе придавлении 104 Па существенно выше, чем при нормальном давлении, за счет увеличения скорости испарения.

При замерзании в атмосфере гелия или водорода повышенная теплоотдача обусловлена увеличенной (в 8—10 раз) теплопро водностью по сравнению с другими газами. Симметричный тепло отвод и отсутствие конвекции в этих случаях благоприятствую образованию симметричной оболочки льда на капле, а малая ра створимость этих газов в воде — получению прозрачного жестко го льда. Все это объясняет наблюдаемое увеличение вероятност разрушения капель, замерзающих в атмосфере гелия или водорс да по сравнению с замерзанием в воздухе.

Повышение теплоотдачи за счет вентиляции капли при падении и образование симметричной ледяной оболочки вследствие е кувыркания [20] способствуют раскалыванию капель, замерзающих в условиях свободного падения. Присутствие углекислог газа вызывает разрушение замерзающих капель вследствие выделения большого количества пузырьков, так как растворимост  $CO_2$  в воде почти в 100 раз выше, чем воздуха. Однако при больших концентрациях  $CO_2$  доля раскалывающихся при замерзани капель уменьшается, что может быть вызвано образованием льдя пронизанного пузырьками и легко поддающегося деформации.

В воздухе при нормальном давлении замерзание неподвижно капли происходит в условиях свободной конвекции, обусловливающей асимметрию теплопередачи и, следовательно, образовани несимметричной ледяной оболочки, поддающейся деформаци и уменьшающей вероятность разрушения [10]. Действительну 30—60% капель диаметром от 60 до 2000 мкм, замерзакщих при температуре выше —9°С, наблюдается образование спикул [15, 16]. При более низких температурах деформация капель при замерзании происходит реже и имеет характер выпукле

тей. С понижением температуры замерзания увеличивается толцина ледяной оболочки капли, затрудняя ее раскалывание. При очень малом переохлаждении процесс замерзания идет медленно в внутри ледяной оболочки не создается давления, достаточного для раскалывания капли. Поэтому вероятность раскалывания кацель должна иметь максимум при умеренном переохлаждении. По данным Медалиева и др. [5], он наблюдается при —12°С для неподвижных капель и в интервале температур от —10 до —20°С для капель, замерзающих в условиях падения [19].

Обычно при замерзании капли в ее ледяной оболочке образуются трещины, через которые происходит сброс давления, возникающего в жидком ядре. Эти трещины частично залечиваются выдавливаемой водой, и весь цикл может повторяться несколько раз в процессе замерзания капли, уменьщая вероятность ее разрушения [4]. По данным [19], частота образования трещин при замерзании капли увеличивается от 4 до 67 % при увеличе-

нии размера капель от 0,1 до 0,7 мм.

Таким образом, проведенный анализ условий разрушения капель при замерзании позволил объяснить некоторые результаты экспериментов и в то же время показал, что «на замерзание капель влияет так много факторов, что трудно предсказать, разру-

шится ли капля при замерзании или нет» [10].

На основании некоторых опытов ожидалось образование большого количества ледяных осколков при взрыве замерзающей капли, однако последующие наблюдения показали, что при раскалывании капли образуется 2-3 куска льда, а число мелких ледяных осколков, выбрасываемых каплей при замерзании в равновесных условиях, не превышает 4 и лишь в присутствии СО2 или в неравновесных условиях замерзания может достигать 150 (см. табл. 1). Пока еще нет данных о числе ледяных осколков, выбрасываемых каплями, замерзающими при падении. Однако в опытах Хоббса и Элкезвини [12] наблюдалось много ледяных осколков, число которых не удалось надежно измерить. По их оценке, облачные капли d < 100 мкм и капли d = 1 мм, падающие в условиях адиабатического градиента температуры, находятся в равновесии с окружающей средой, поэтому результаты экспериментов, проведенных с каплями d < 100 мкм, можно отнести к условиям в облаках. На основании этого делается вывод, что замерзание облачных капель может объяснить увеличение концентрации ледяных частиц по сравнению с концентрацией ледяных ядер.

Хотя результаты опытов с крупными каплями, замерзающими в стационарных условиях, нельзя прямо переносить на условия в облаках, Мейсон [14] и некоторые другие авторы [7] считают, что замерзание индивидуальных капель не может играть существенной роли в увеличении числа ледяных ядер в облаке и пытаются объяснить это явление с помощью другого механизма — образования ледяных осколков при замерзании капель, соударяющихся с поверхностью, в частности, при росте частиц крупы

и града.

Разрушение капель воды с примесями. Результаты опытов пизучению разрушения замерзающих капель воды с примесями представлены в табл. З. Для капель воды с частицами AgI обна ружены те же закономерности, что и для капель дистиллированной воды, при этом концентрация AgI в воде была небольшой Найдено уменьшение частоты раскалывания капель растворе NaCI с увеличением концентрации соли [8]. По мнению авторов при замерзании капли раствора внутри нее не создается доста точного для раскалывания давления вследствие меньшего увели чения объема, чем при замерзании воды. Вероятно, поэтому не наблюдалось раскалывания капель растворов NaCl и других ис следованных веществ с большей концентрацией.

Используя счетчик ядер конденсации, Бадер и др. [7] не обнаружил выбрасывания частиц растворенного вещества в виделедяных осколков каплями 0,06—0,006%-ных растворов NaCl и каплями коллоидного раствора AgI, замерзающими при низких температурах в условиях свободного падения. В атмосфере СО

найдено до 100 ледяных осколков от замерзающей капли.

Замерзание капель растворов PbI<sub>2</sub> исследовалось Г. М. Башкировой и Т. А. Першиной [1]. Капли не раскалывались при замерзании в статических условиях, но могли разрушаться при сильном и неравномерном обдуве. Для объяснения опытов, где в переохлажденном тумане образовывалось в 10 раз больше ледяных кристаллов, чем вводилось капель раствора PbI<sub>2</sub>, авторы предположили, что частицы PbI<sub>2</sub> могут выбрасываться из поверхностного слоя капель раствора при их замерзании. Дальнейшее изучение этого явления проводилось в работах Г. М. Башкировой

и др. [2], Т. Н. Громовой и др. [3].

С помощью спектральных методов в [3] на улавливающей пластинке обнаружены следы растворенного в капле вещества, а с помощью электронномикроскопического — области размерами 5—40 мкм скопления частиц CuSO<sub>4</sub> и PbI<sub>2</sub> при замерзании капель соответствующих растворов. Предполагается, что частицы растворенного вещества появляются в капле при ее охлаждении и выталкиваются из нее в процессе замерзания. Оцененные количества выбрасываемых частиц приведены в табл. 3. В работе [2] под замерзающими каплями 4 %-ного раствора КС1 и 0,5 %-ного раствора NH<sub>4</sub>Cl помещались поверхности, чувствительные к иону хлора. Обнаруженные на них желтые пятна могли образоваться в результате попадания микрокапель раствора, выброшенных из замерзающих капель.

Выбрасывание маленьких частиц из капли или спикулы на ее поверхности в процессе замерзания, которые не фиксировались раствором сахара и, следовательно, были жидкими, наблюдалось как эпизодическое явление многими исследователями [6, 10, 13, 15]. Кроме того, с момента начала замерзания капли около нее отмечается шлейф микрокапель, существующий до полного ее промерзания. По мнению Ченга [9], эти микрокапли размером от менее 1 до 20 мкм выбрасываются с поверхности замерзаю-

	источников	
	разных	
	и по данным	
	6	
	примесями	
	ပ	
•	воды	
	их капель	
	замерзающих	
•	<b>Разрушение</b>	

1												,				
;	Источник	[7, 12]	[7, 12]	[19, 20]	[19, 20]	[1]	[3]	[7]	[8]	[15]	[3]	[2]	[2]	[3]	[3]	[12]
Число или концеитра- ция выброшенных	микрокапель или частиц						103—106	0			$5.10^{-3} \text{ Mr/a}$	20—200	20—200	103-106	7.10-3 мг/л	`
Доля раско-	ловшихся капель, %	0	0	0—39	2-40	0	0	0	1—7	0	0	0	0	0	0	01
Тепловое состояние	капли относительно среды	Равновесное	£	Неравновесное		Равновесное	<b>x</b>	R	r	Неравновесное		Равновесное		e e	*	Равновесное
$T_3$ °C	ДО	9-	9-	-14	-14	-19	-18	>40	-15	•	-23	-20	-20	-19	-26	18
	OT	9>	9>	-5	-2	-10	-12	\ 	-5		-12	-15	-15	-12	-14	<b>—</b> 12
	a MKM	<50	50—150	50—150	200—800	500-1500	1000	30—84	180-240	300 - 1000	1000	600-1400	600 - 1400	1000	1000	60—130
Концентрация раствора,	. %	10-3-10-5				0,12-0,18	0,035	0,06—0,006	0,06—0,006	9,0	. —	4	0,5	_		Контактная нуклеа- ция
11	Вещество	AgI				PbI <sub>2</sub>		NaCl		-		KCI	NH,CI	CuSO <sub>4</sub>	ZiNO3	AgI

щей капли в течение всего времени ее промерзания. Другие авторы [6, 10, 18] предполагают более вероятным образование эти микрокапель в результате конденсации водяного пара, испаряющегося с поверхности капли при повышении ее температуры в мемент начала замерзания, на ядрах конденсации в окрестност капли.

Розинским и др. [18] проведен расчет поля пересыщения возникающего около замерзающей капли воды при разных тем пературах. Получено, что с понижением температуры замерзани капли пересыщение увеличивается и при —15°С составляет 17° через 0,5 с после начала замерзания на расстоянии 0,1—0,2 с от поверхности капли. Эти расчеты показали возможность ког денсационного образования микрокапель в окрестности замерзанией капли и позволили объяснить образование капель и ледяны кристаллов на частицах природной соли и AgI, помещенны вблизи замерзающей капли воды.

По оценке, сделанной Геем и Латамом [11], капля воды  $d=60\div80$  мкм теряет на испарение при замерзании около 4 первоначальной массы при общей потере масы 10—12 %. Пре полагается, что остальные 6—8 % могут теряться при выбраст вании микрокапель и ледяных осколков, но указывается, что эт

цифры должны быть уточнены.

Поскольку имеющиеся данные противоречивы и не позволяю с определенностью судить о роли каждого из механизмов обр зования микрокапель, были продолжены опыты по улавливани и исследованию микрокапель, образующихся при кристаллизаци капель растворов и суспензий некоторых веществ.

2. Экспериментальное изучение разрушения замерзающих капель воды с примесями. Изучение микрокапель, образующихся около замерзающей кап

Методика. Несколько капель исследуемого раствора диаме ром 1—1,5 мм помещалось на конец нити, укрепленной в цент холодильной камеры объемом 5 л, охлаждаемой жидким фре ном. Капли вводились при температуре 2—3°C, выдерживали в течение 2 мин, а затем охлаждались со скоростью 1,5°С/м до замерзания. Под (или над) ними на расстоянии 1-2 мм поверхности капли располагалось покровное стекло с пятью се ками, покрытыми коллодиевой пленкой. Обычно одни и те же сс ки использовались в нескольких опытах, чтобы увеличить вероя ность обнаружения на них частиц растворенного вещества, ес оно выбрасывается из замерзающих капель растворов. Замог живались капли 1 и 10 %-ного растворов КС1, 1 и 7 %-ного р створов CuSO<sub>4</sub>, 0,1 %-ной суспензии CuS, 0,1 и 0,01 %-ной суспе зий 1,5-диоксинафталина. Экспонированные под замерзающи каплями сетки рассматривались с помощью электронного мики скопа УЭМВ-100К при увеличениях в 5000—25 000 раз. Для и чаемых растворов предварительно определялась форма части

образующихся после испарения капелек раствора на сетке.

В опытах по замораживанию капель воды и 4%-ного раствора КСІ получали реплики микрокапель для уточнения положения настиц на сетке. С этой целью использовалась пленка из 1%-ного раствора пенопласта в дихлорэтане, которая после экспонирования под замерзающей каплей помещалась в пары дихлорэтана для размятчения и получения реплик микрокапель. Реплики рассматривались с помощью электронного микроскопа, а их размер

определялся по фотографиям.

Результаты. На сетках, экспонированных под каплями растворов, замерзающими при температурах ниже —15°С, не обнаружено больших количеств частиц вещества, растворенного в капле, кроме одного случая замерзания капель 10%-ного раствора КСІ. При этом на сетке обнаружено 60 частиц размером 4·10<sup>-5</sup>—10<sup>-4</sup> см с характерной для данного вещества формой на площади 48 ячеек, в то время как в остальных ячейках частиц не было. В других случаях наблюдались 1—2 частицы в ячейке (50× ×50 мкм²) размером около 5·10<sup>-6</sup> см, имеющей чаще неопределенную форму, и не более одной частицы на сетке (120 ячеек) с характерной для данного вещества формой.

В случае капель 0.1%-ной суспензии CuS и 0.1 и 0.01%-ной суспензий 1.5-диоксинафталина, которые замерзали при более высоких температурах, чем капли растворов ( $T_3$  равны -12.6, -4.5 и -6.0 °C соответственно), и вероятность разрушения которых поэтому могла быть выше, обнаружены только частицы, меньшие  $10^{-5}$  см, в то время как частицы в суспензии имели

размеры до 30 мкм.

Отдельные мелкие частицы ( $d < 10^{-5}$  см) встречались и на сетках, удаленных от замерзающих капель и рассматриваемых как фоновые, а также в репликах микрокапель разного размера, полученных при замерзании как капель 4%-ного раствора КС1, так и капель дистиллированной воды. Поэтому такие частицы считались результатом загрязнения пленки. Только в одной из рассмотренных реплик была обнаружена частица, но размеру

и форме соответствующая частице КС1.

Размеры реплик микрокапель находятся в интервале 0,3—27 мкм при расстоянии от капли 0,08 мм и в интервале 0,3—8 мкм при расстоянии 1,5—1,9 мм, причем доля реплик с размером менее 1 мкм составляла 20 % в первом случае и 97 % во втором. Так как размер микрокапель увеличивается с приближением к поверхности капли и в большинстве их реплик отсутствуют частицы растворенного в капле вещества, можно заключить, что микрокапли в условиях данного эксперимента в основном имеют конденсационное происхождение. Выбрасывание микрокапель было эпизодическим.

Применение электронномикроскопического метода для обнаружения частиц вещества, растворенного в капле и выбрасываемого в виде микрокапель из замерзающей капли, удобно лишь при

большом количестве частиц на сетке и не надежно при количестве частиц, равном найденному в [2] и в данных опытах. Условий выбрасывания большого количества растворенного или взветшенного в воде капли вещества в данном эксперименте найти не

удалось.

Изучение разрушения капель, замерзаюших при пониженном давлении. Раскалывание капель и выбрасывание ледяных осколков наблюдалось в серии опытов, где капля, подвешенная на капроновой нити, помещалась под колокол вакуумного поста ЭВП-2 после чего в объеме понижалось давление. Капли замерзали вследствие быстрого охлаждения, вызванного интенсивным испарением при понижении давления, в то время как температура окружающей среды оставалась положительной. Наблюдения за каплями велись с помощью горизонтального микроскопа. В 43% случаев капли дистиллированной воды раскалывались при замерзании на две части, в 38% случаев из капли выбрасывались ледяные осколки.

Примеси по-разному влияли на способность капель к раскалыванию. Капли 0,1 %-ной суспензии CuS и 0,5 %-ного раствора NH<sub>4</sub>Cl не раскалывались и не давали видимых осколков при замерзании. Капли 0,2 %-ной суспензии AgI раскалывались во всех случаях, причем перед раскалыванием иногда образовывалась

спикула.

В тех случаях, когда капля не раскалывалась, можно было оценить потерю ее массы на испарение и выбрасывание ледяных осколков. Для капли дистиллированной воды за 1 мин 33 с она составила 69 % первоначальной массы. Потеря массы на испарение в течение 1 мин 40 с и 1 мин 50 с до полного замерзания капель 0,5 %-ного раствора NH<sub>4</sub>Cl составила 36 и 47 % соответственно.

Оценка понижения температуры капли за счет испарения при уменьшении давления показала, что уже при достижении давления  $3 \cdot 10^4$  Па, т. е. через несколько секунд после начала откачки, температура капли понизится на  $30\,^{\circ}$ С. Действительно, при начальной температуре воздуха  $20\,^{\circ}$ С капля  $0.2\,^{\circ}$ 8-ной суспензии AgI начинала замерзать через  $16\,^{\circ}$ 6, а капли дистиллированной воды и растворов — через  $50-150\,^{\circ}$ 6 в зависимости от размеров.

Эти опыты подтвердили вывод, сделанный в [10], что вероятность разрушения замерзающей капли повышается, если капля
не находится в условиях термического и газового равновесия со
средой перед замерзанием. Начальная концентрация растворенного в капле воздуха соответствует атмосферному давлению,
и при понижении давления происходит бурное выделение воздуха из воды вследствие уменьшения его растворимости. Это и быстрое охлаждение капли при испарении способствует раскалыванию капли.

Изучение разрушения капель, замерзающих в результате контактной нуклеации их частицами льдообразующих веществ. В опытах, где частицы порошков 1,5-диоксинафталина, фторфло-

гопита и флороглюцина напылялись на поверхность переохлажденных капель дистиллированной воды  $(d=1\div1,5\,$  мм), подвешенных на нити, наблюдалось выбрасывание ледяных осколков и раскалывание капель при замерзании. Наблюдения проводились с помощью горизонтального микроскопа при увеличении в 16 раз. В то же время капли суспензий или растворов этих же веществ практически не разрушались при замерзании (табл. 4).

Разрушение капель при контактной нуклеации отмечалось в ряде работ [5, 14]. В опытах Пруппахера и Шлампа [17] 17% капель, замерзающих при контакте с частицами глины, раскалывались, а 42% давало ледяные осколки. Капли суспензии

глины при замерзании не разрушались.

Таблица 4

	По та опомо	По та мотот	$T_3$	°C	05,400	
Вещество	Доля раско- ловшихся капель, %	Доля капель, дающих сплин- теры, %	ОТ	до .	Общее число капель	Положение частиц по отношению к капле
1,5-диоксинаф-	1	28	-4,5	<b>—10,2</b>	100	На поверхности
талин	< 1	<1	—	6,2	300	В объеме
<b>Фторфлогопит</b>	4	5	<b>—1,</b> 5	<b>—</b> 6,2	108	На поверхности
.	0	0	-1,0	<b>—</b> 19,0	245	В объеме
<b>Рлороглю</b> цин	0	30	-2,0	-3,0	13	На поверхности
	0	0	-4,2	<u>21,5</u>	28	В объеме
H <sub>2</sub> O (дистил.)	0	0	—11,5		200	Частиц льдообразующего вещества нет

Вероятно, разрушению капель при контактной нуклеации способствует высокая температура замерзания, при которой образуется прочная оболочка из прозрачного льда и значительное давление в ядре капли. Образование симметричной ледяной оболочки, необходимой для раскалывания капли, может происходить здесь по аналогии с процессом замерзания капли при контакте с острием ледяного кристалла [12]. В случае капель суспензий и раствовов с высокой концентрацией вещества образуется неоднородный пед с включенными частицами, который поддается деформации и не разрушается.

Как видно из сравнения рис. 1 а и 1 б, капли суспензий 1,5циоксинафталина и фторфлогопита, а также растворов флоролюцина чаще деформируются при замерзании, чем капли воды, замерзающие при контакте с частицами этих веществ. Однако доля капель, деформирующихся при замерзании, не зависит от ззвешенного в воде вещества, а определяется температурой заиерзания, достигая наибольших значений в диапазоне темпера-

гур от —4 до —8°C (рис. 1 *a*).

Как деформация, так и разрушение капель (раскалывание капель и выбрасывание сплинтеров) при контактной нуклеации частицами исследуемых веществ наблюдается в диапазоне температур замерзания от -1 до  $-11\,^{\circ}$ С. При этом выбрасывание сплинтеров достигает наибольшей вероятности при температурах от -2 до  $-5\,^{\circ}$ С, а раскалывание капель — при температуре от -4 до  $-7\,^{\circ}$ С, где скорость замерзания больше. Вероятность деформации замерзающих капель значительна во всем диапазоне температур от -1 до  $-7\,^{\circ}$ С, хотя и имеется тенденция к есуменьшению с понижением температуры. Эти результаты близки к данным, полученным Даем и Хоббсом [10] по образованию

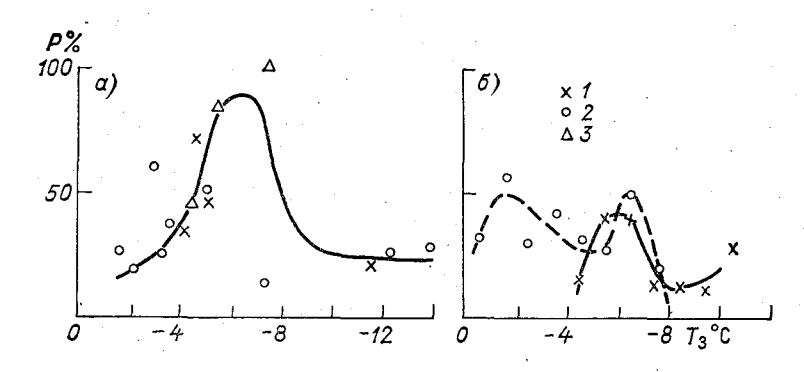


Рис. 1. Зависимости вероятности деформации капель суспензий и растворов (a), а также вероятности деформации капель при контактной нуклеации ( $\delta$ ) от температуры замерзания.

1-1,5-диоксинафталин, 2- фторфлогопит, 3- флороглюцин.

спикул на каплях, нуклеируемых ледяными кристаллами. Однако доля разрушенных капель, замерзающих в результате контакте с частицами исследуемых веществ, оказалась больше, чем при контакте с ледяными кристаллами в [10], в том же интервале

температур.

Сравнивая кривые вероятности разрушения капель (рис. 2 а) и распределения капель по температурам замерзания (рис. 2 б) для каждого вещества, можно объяснить различие в доле ка пель, разрушившихся при замерзании в результате контакта с частицами этих веществ (см. табл. 4). Для флороглюцина мак симумы этих кривых совпадают, что объясняет большую доли разрушившихся капель. Для фторфлогопита наибольшая вероят ность разрушения приходится на интервал температур, где замер зает лишь 4 % капель. Поэтому доля разрушившихся капель оказывается небольшой. Однако не ясно различие в вероятностях разрушения капель при контактной нуклеации их частицами различных веществ в одинаковом диапазоне температур. По-видимо

му, вероятность разрушения в этом случае определяется не только температурой замерзания, зависящей от используемого вещества, но и какими-то другими факторами, требующими объяснения.

Проведенные опыты показали:

1) капли растворов и суспензий исследованных веществ (КС1, CuSO<sub>4</sub>, CuS, 1,5-диоксинафталина, флороглюцина и фторфлогопита), замерзая при достижении теплового и газового равновесия с окружающей средой, не раскалываются и лишь изредка выбрасывают ледяные осколки и микрокапли. С помощью электронномикроскопического метода не обнаружено выбрасывания больших количеств содержащегося в каплях вещества. Микрокапли, на-

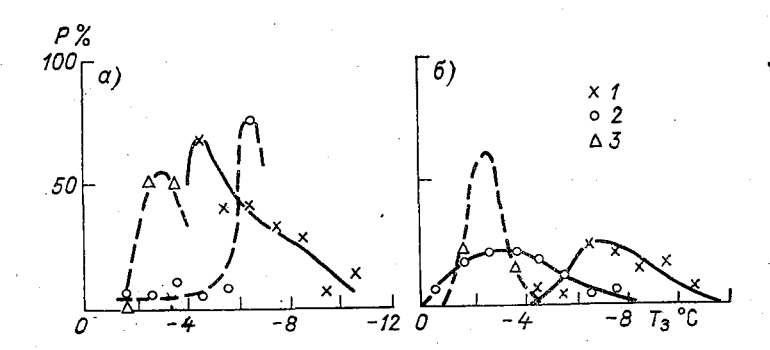


Рис. 2. Зависимость вероятности разрушения капель при контактной нуклеации от температуры замерзания (a) и распределение капель по температуре замерзания ( $\delta$ ).

Усл. обозначения см. рис. 1.

блюдаемые в окрестности замерзающей капли, образуются конденсационным путем;

2) вероятность разрушения капель увеличивается, если замерзание происходит при резком понижении давления или в результате контактной нуклеации капель частицами льдообразующих веществ, что можно объяснить на основании представлений об условиях, способствующих разрушению замерзающих капель воды [10, 13]. Особенности действия различных льдообразующих веществ требуют дальнейшего изучения.

#### СПИСОК ЛИТЕРАТУРЫ

1. Башкирова Г. М., Першина Т. А. О кристаллизации переохлажденных туманов при распылении в них насыщенного раствора иодистого свинца. — Труды ГГО, 1965, вып. 176, с. 35—42.

ца. — Труды ГГО, 1965, вып. 176, с. 35—42.

2. Башкирова Г. М., Молоткова И. А., Першина Т. А. О влиянии растворимых в воде веществ на замерзание капель воды. — Труды ГГО,

1975, вып. 356. с. 8—17.

3. Громова Т. Н. и др. Идентификация частиц, вылетающих при замерзании капель водных растворов/Т. Н. Громова, Т. А. Першина, Е. В. Преображен-

ская, П. Ф. Свистов. — Труды ГГО, 1975, вып. 356, с. 18—27.
4. Жекамухов М. К. О раскалывании кристаллизующихся водяных капель. — Изв. АН СССР. Физика атмосферы и океана, 1976, т. 12, № 12, c. 1286—1294.

5. Медалиев Х. Х., Волкова Н. А., Казанкова З. П. Изучение характера кристаллизации водяных капель при различных скоростях переохлаж-

дения. — Труды ВГИ, 1975, вып. 32, с. 26—33.

6. Мучник В. М., Рудько Ю. С. Особенности замерзания переохлажденных капель воды. — Труды УкрНИГМИ, 1961, вып. 26, с. 64—70. 7. Bader M., Gloster J., Brownscombe J. L., Goldsmith P. The pro-

duction of submicron ice fragments by water droplets freezing in free fall or on accretion upon ice surface.—Proc. VIII Intern. Conf. on Nucl., Leningrad, 1975, p. 349—357.

8. Brownscombe J. L., Thorndike N. S. C. Freezing and shattering of water droplets in free fall.— Nature, 1968, № 220, p. 687—689.

9. Cheng R. L., Water drop freezing: ejection of microdroplets.— Science, 1970, vol. 170, № 3965, p. 1395—1398.

10. Dye J. E., Hobbs P. V. The influence of environmental parameters on the freezing and fragmentation of suspended water drops.— J. Atmos. Sci., 1968, 25, № 1, p. 82—99.

11. Gay M. J., Latham J. The ejection of mass by supercooled drops on freez-

ing.—Proc. VIII Intern. Conf. on Nucl., Leningrad, 1975, p. 111—119.
12. Hobbs P. V., Alkezweeny A. J. The fragmentation of freezing water droplets in free fall,—J. Atmos. Sci., 1968, vol. 25, N 5, p. 881—888. 13. Johnson D. A., Hallett J. Freezing and shattering of supercooled water

drops.— Quart. J. Roy. Met. Soc., 1968, vol. 94, N 402, p. 468—483. 14. Mason B. J. Physics of clouds.— L., 1971.

15. Mason B. J., Maybank J. The fragmentation and electrification of freezing water drops.—Quart. J. Roy. Met. Soc., 1960, vol. 86, N 368, p. 176-186.

16. Pena J. A., Pena R. G., Hosler Ch. L. Freezing of water droplets in equilibrium with different gases.— J. Atmos. Sci., 1969, vol. 26, N 2, p. 301—316.

17. Pruppacher H. R., Schlamp R. J., A wind tunnell investigation on ice multiplication by freezing of water drops falling at terminal velocity in air.—

J. Geoph. Res., 1975, vol. 80, № 3, p. 380—386. 18. Rosinski J., Nagamoto C. T., Kerrigan T. C. Heterogeneous nuc-

leation of water and ice in the transient supersaturation field surrounding a freezing drop.— J. Rech. Atmos., 1975, vol. 9, N 3, p. 107—118.

19. Takahashi Ch., Yamashita A. Scattering of frozen water drops in a supercooled cloud.— J. Met. Soc. Japan, 1970, vol. 48, p. 373—376.

20. Takahashi Ch. Deformation of frozen water drops and their frequencies.— J. Met. Soc. Japan, 1975, vol. 53, № 6, p. 402—411.

# Ю. Д. Дьяченко, Г. Д. Кудашкин, А. И. Сидоров, Н. А. Силин, Н. С. Шишкин

# РАЗРАБОТКА ПИРОТЕХНИЧЕСКОГО САМОЛЕТНОГО АЭРОЗОЛЬНОГО ГЕНЕРАТОРА ДЛЯ ВОЗДЕЙСТВИЯ НА ОБЛАКА

1. Обоснование выбранного направления. В настоящее время в производственной практике тушения крупных лесных пожаров в нашей стране используется метод искусственного вызывания осадков из переохлажденных конвективных облаков [2, 4]. Некоторые опыты по применению этого метода проводились и за рубежом [6]. В СССР воздействия на облака с целью вызывания осадков ведутся с самолетов типа Ил-14 и Ан-24 при использовании 26-мм пиропатронов с иодистым серебром и иодистым свинцом. По оценке органов лесного хозяйства, применение этого метода дает экономический эффект около 1 млн. руб. в год. Однако применение тяжелых самолетов имеет ряд ограничений в связи с недостаточным количеством оборудованных аэродромов в многолесных районах нашей страны.

Экономические показатели, а также оперативность мероприятий по тушению лесных пожаров могли бы быть значительно повышены при подключении к работам по искусственному вызыванию осадков на очаги пожаров легкомоторных самолетов типа Ан-2, значительное количество которых ежегодно арендуется организациями лесного хозяйства. При наличии подходящих погодных условий оборудованные лесопатрульные самолеты могут начать операции по вызыванию осадков немедленно после обнаружения очагов пожаров. Экономический выигрыш за счет более раннего начала работ по ликвидации пожаров и меньшей стоимости аренды легкомоторных самолетов в настоящее время не может быть рассчитан точно. В качестве ориентировочной оценки выигрыша, вероятно, можно принять отношение затрат на аренду самолетов различных типов. Арендная плата за единицу летного времени самолета Ан-2 примерно в 2 раза ниже, чем Ил-14, а по сравнению с Ан-24 почти в 5 раз. Различия в скоростях сравниваемых самолетов, по-видимому, будут вполне компеисироваться за счет большего удаления (в среднем) аэродромов базирования тяжелых самолетов от очагов пожаров.

При сравнении экономических показателей необходимо учитывать возможные различия эффективности воздействий на облака с целью вызывания осадков с самолетов различных типов. Вероятность достижения положительного эффекта при единичном воздействии можно считать функцией возможности получения достаточно полной информации об основных параметрах облаков, характеризующих степень их пригодности для искусственного инициирования осадков. Обычно с самолетов более высоких классов может быть получена более точная информация об объекте воздействия. Однако, как показал опыт, результаты при единичном воздействии с самолетов разных классов различаются заметно меньше, чем эксплуатационные затраты. Результаты единичного воздействия (по факту выпадения осадков из обработанных облаков) с применением самолетов типа Ил-14 и Ан-2 различаются не более чем на 10 %.

В целях повышения экономических показателей, а также масштабов и оперативности работ по тушению лесных пожаров искусственно вызываемыми осадками в ГГО, Ленинградском НИИ лесного хозяйства (ЛенНИИЛХ), НИИ прикладной (НИИПХ) и ВНИИ применения гражданской авиации в народном хозяйстве (ВНИИПАНХ ГА) проработано несколько вариантов технических средств, пригодных для проведения воздействий с самолетов Ан-2. При выборе направления данной работы учитывались положительные результаты воздействий на с применением ранее разработанных самолетных аэрозольных генераторов. Имевшиеся к началу работ образцы генераторов. кристаллизующих реагентов были основаны на сжигании ацетонового раствора AgI в стационарных бортовых устройствах (см., например, [3, 5]). Такие генераторы обладают довольно высокой пожароопасностью и громоздки. Поэтому был избран путь разработки пиротехнических генераторов как более компактных и безопасных в эксплуатации и лучше приспособленных к оперативному оснащению многоцелевых самолетов. Аналогичный путь в настоящее время избран и зарубежными исследователями. Так, в работе канадских исследователей [6] сообщается о проведении в 1975 г. пяти опытов по засеву конвективных облаков с применением пиротехнических генераторов аэрозоля AgI в целях искусственного вызывания осадков. В указанной работе засев облаков проводился при пересечении самолетом типа Т-33 вершин облаков на уровне с температурами от -5 до -10°C. Необходимо отметить, что примененная в [6] методика засева вряд ли может иметь преимущества перед засевом пиропатронами.

При скорости самолета Т-33 7,8 км/мин время пересечения им типичных недождящих облаков Си cong составляет около 20 с, что накладывает жесткие требования к скорости генерации аэрозолей. С другой стороны, вход в мощные кучевые облака не всегда безопасен даже для самолетов повышенной прочности.

Применительно к использованию экономичных легкомоторных самолетов способ генерации кристаллизующих реагентов в под-

облачном пространстве обусловлен ограниченным потолком самолетов. Распространение же реагентов в зону проявления льдообразующей активности обеспечивается за счет естественных вер-

тикальных токов и турбулентности.

2. Разработка и совершенствование технических средств воздействия. В 1973—1975 гг. в СССР были разработаны опытные образцы пиротехнических самолетных аэрозольных генераторов (САГ-1) и кассеты для приведения их в действие на подвеске самолета Ан-2. Выполнены теоретические и экспериментальные работы по определению возможности искусственного вызывания осадков с легкомоторных самолетов.

Проведенные теоретические расчеты и натурные опыты подтвердили принципиальную возможность инициирования осадков из мощных кучевых облаков при диспергировании кристаллизующих реагентов в подоблачном пространстве. Вместе с тем целый ряд вопросов комплексной научно-технической проблемы теоретического, технического и методического характера был только намечен, либо не ставился совсем. Были выявлены недостатки в конструкции опытных образцов технических средств воздействия. Все это определило необходимость продолжения исследований и опытно-конструкторских проработок, состояние которых изложено ниже.

Для приведения в действие пиротехнических самолетных аэрозольных генераторов в 1975 г. во ВНИИПАНХ ГА разработан и изготовлен кассетный держатель, устанавливаемый на плоскостях самолета Ан-2. Каждый кассетный держатель был рассчитан на пять изделий САГ-1. Летные ипытания кассет указали на необходимость их доработки, особенно в части повышения надежности. При стендовых испытаниях САГ-1 выявлена неустойчивость режима горения шашек активного дыма, что не обеспечивало полную безопасность эксплуатации САГ-1 в комплексе с кассетами, устанавливаемыми на сравнительно небольших расстояниях от фюзеляжа и крыльев самолета-носителя. В связи с этим в натурных опытах 1975 г. по воздействию на облака с самолетов Ан-2 генераторы приводились в действие в экспериментальном устройстве, рассчитанном на одно изделие САГ-1 и выпускаемом из кабины самолета на фале длиной 15-25 м. К фалу крепились провода для электровоспламенения САГ-1 от автономного источника электрического тока. Кроме обеспечения безопасности самолета при нарушении режима работы САГ, такая методика позволяла перезаряжать устройство в воздухе и засевать несколько облаков за один полет.

В 1975 г. была проведена серия натурных опытов по воздействию на облака. Всего кристаллизующими реагентами было засеяно 24 мощных кучевых облака. В 19 случаях (79%) из обработанных облаков отмечено выпадение осадков через 11—19 мин после воздействия (среднее время равно 16 мин).

Поскольку наиболее существенные замечания по САГ-1 относились к неустойчивости режима горения пиротехнической шашки активного дыма, в дальнейших работах основное внимание было уделено разработке и испытанию новых составов и технологии изготовления ШАЛ.

При проектировании усовершенствованного генератора (САГ-2)

были также предусмотрены:

- сокращение времени дымообразования от 90—100 с до 50—70 с:
- изготовление корпуса генератора из термостойкой пластмассы с целью улучшения теплоизоляции пироэлемента и устранения возможностей прогорания корпуса и, как следствие этого, уменьшения термического воздействия на кассету и на самолет-носитель;

— повышение надежности срабатывания;

— повышение технологии изготовления изделий.

Для снаряжения САГ-2 использованы пиротехнические составы П-50-04-11 с 2 % иодистого серебра и С-50 с 50 % иодистого свинца. Составы являются химически стойкими при хранении их в герметичной, закрытой от попадания света упаковке. Масса состава С-50 составляет 325 г, а состава П-50-04-11 — 280 г.

Испытания льдообразующей эффективности полноразмерных пироэлементов, произведенные в условиях, близких к реальным, и по методике, принятой в СССР (см., например, [1]) показали, что выход ядер, активных при температуре — 10 °C, для одного

изделия составлял 2,5·10<sup>14</sup>.

В целях отработки технических средств и методики воздействия в 1977—1978 гг. были продолжены наземные и летные испытания САГ-2.

При проведении испытаний главными задачами являлись:

- выявление безопасности и надежности средств воздействия, а также измерение временных характеристик работы ШАД;

— получение статистически значимых данных об эффективности способа воздействия на облака с легкомоторных самолетов.

В результате наземных и летных испытаний модифицированных аэрозольных генераторов, проводимых в 1977—1978 гг., установлены как надежность их срабатывания, так и безопасность их применения на борту самолета. Выполненные в 1978 г. опыты по воздействию на конвективные облака с применением САГ-2 полностью подтвердили высокую вероятность искусственного вызывания осадков из мощных кучевых облаков с переохлажденной вершиной. Около 80 % экспериментов по засеву облаков для иниципрования осадков оказалось успешным. Это позволяет считать, что разработанные пиротехнические самолетные аэрозольные генераторы являются перспективным средством искусственного регулирования осадков.

#### СПИСОК ЛИТЕРАТУРЫ

1. Беляев С. П. и др. Исследование эффективности действия натурных пиротехнических генераторов льдообразующих аэрозолей/С. П. Беляев, Ю. Д. Дьяченко, Н. С. Ким, Ю. Н. Матвеев, А. И. Сидоров. — Труды ИЭМ, 1976, вып. 14(59), с. 21—32.

2. Никандров В. Я., Шишкин Н. С. Исследования по физике облаков. — Труды ГГО, 1974, вып. 344, с. 180—208.

3. Седунов Ю. С. Исследования по физике облаков и активных воздействий в США. — Труды ИЭМ, 1970, вып. 19, с. 3—266.

4. Сумин Ю. П. Об опытах по тушению (локализации) лесных пожаров путем искусственного воздействия на облака. — Труды ГГО, 1971, вып. 262, с. 54—69.

5. Аддерли И. И. Некоторые аспекты засева облаков в Австралии. Труды VIII Всесоюзной конференции по физике облаков и активным воздействиям— Л. Гилрометеоизлат. 1970. с. 494—499.

ям. — Л.: Гидрометеоиздат, 1970, с. 494—499.

6. Isaac G. A., Schemenauer R. S., Grozier G. L., Chisholm A. I., Macpherson J. I., Bobitt N. R., Machattle L. B. Preliminary test of a Cumulus cloud Seeding Technique. "Journ. Appl. met.", 1977, vol. 16, p. 949—958.

# МЕТОДИКА И ПРЕДВАРИТЕЛЬНЫЕ РЕЗУЛЬТАТЫ НАТУРНЫХ ЭКСПЕРИМЕНТОВ ПО ВЫЗЫВАНИЮ ОСАДКОВ

## ИЗ КОНВЕКТИВНЫХ ОБЛАКОВ ПРИ ВОЗДЕЙСТВИИ ЖРИСТАЛЛИЗУЮЩИМИ РЕАГЕНТАМИ С САМОЛЕТОВ Ан-2

1. Постановка задачи. Теоретические и экспериментальные работы по обоснованию и оценке эффективности способа искусственного инициирования осадков при воздействии на конвективные облака с применением пиротехнических самолетных аэрозольных генераторов (САГ), приводимых в действие при полете легкомоторных самолетов в подоблачном пространстве, начаты в нашей стране в 1973 г. В 1975 г. были разработаны первые опытные образцы САГ и проведена серия натурных опытов по воздействик на мощные кучевые облака. Полученные результаты позволили сделать вывод о целесообразности продолжения работ по данному направлению с целью разработки более экономичной и оперативной методики тушения лесных пожаров искусственно вызываемыми осадками. В 1977—1978 гг. были разработаны и испытаны усовершенствованные пиротехнические самолетные аэрозольные генераторы САГ-2 [1].

В данной статье изложена методика и основные результаты натурных экспериментов по воздействию на облака с применением усовершенствованных аэрозольных генераторов САГ-2, проведенных в 1978 г. над территорией Ленинградской, Новгородской и Вологодской областей. Основная задача экспериментов состояла в отработке способа воздействия на облака с применением самолетных аэрозольных генераторов, приводимых в действие в подоблачном пространстве. При этом наибольшее внимание уделялось:

продолжению исследования технических характеристик

средств воздействия;

— испытанию методик для определения параметров облаков и атмосферы, определяющих условия, благоприятные для проведения воздействий;

— определению метеорологической эффективности воздействий с легкомоторных самолетов;

— отработке методики контроля за результатами воздействий

2. Организация натурных экспериментов. Выбор района и вреени исследования проводится руководителем полетов совместно командиром корабля по данным синоптических карт, расчетов араметров конвекции по данным радиозондирования и консульта-ии с синоптиками АМСГ. Работы по воздействию проводятся дни, когда по специализированному прогнозу ожидается развиве мощных кучевых облаков до высот изотерм от —7 до —15 °С ри мощности облаков 2,5—4 км.

В процессе предполетной подготовки выполняется сбор метеонформации, необходимой на борту для определения методики раот (прогноз параметров конвективных облаков, температура и вер по высотам и др.), а также согласование задания на полет

летным составом.

По окончанию полета составляется протокол полета, в котором казываются:

— задание на полет и общие результаты его выполнения;

— объекты исследований, их краткая характеристика с описаием режимов исследования и воздействия;

— опыты, подлежащие первоочередному анализу.

К протоколу прилагаются:

— пространственно-временной график полета, увязанный со турманской прокладкой;

— данные сверки часов до взлета и перед посадкой;

- данные радиозондирования для района полетов (03 и 15 ч);
- выкопировки с кольцевых карт за сроки, ближайшие ко времени полетов, с нанесением метеообстановки, зон осадков и обтачности на ближайших к району полетов станциях;

данные специализированного прогноза конвективных обла-

ов на день полетов.

3. Методика воздействия и контроля результатов. Предвариельный выбор объекта воздействия производится руководителем полета визуально с учетом прогностических данных о вертикальной мощности облаков, сопоставленных с данными о высотах нупевой изотермы, изотермы пороговой температуры реагентов (от —7 до —8 °C).

В качестве объектов воздействия выбираются мощные куче-

- не дающие естественных осадков;
- с вершиной, лежащей выше порога действия кристаллизующих реагентов (от -7 до  $-8^{\circ}$ );

— находящиеся в стадии развития;

— с выраженными восходящими токами под основанием;

— с диаметром основания более 2-2,5 км.

Воздействие на облако выполняется после его исследования при 1—2 полетах под облаком на уровне, максимально близком к основанию, при которых определяются:

теометрические и термические параметры облака;

фазовый состав, тенденция развития;

степень развития вертикальных токов под облаком;

 горизонтальные размеры зон восходящих токов и их лок лизация по отношению к горизонтальному сечению облака;

— наличие болтанки и ее интенсивность.

Вертикальная протяженность, структура (расслоенность фазовое строение облаков, вершины которых не экранируют соседними облаками, ориентировочно оцениваются посредство наблюдений при подлете к облаку и при полете в окрестностя облака. Эшелон для таких исследований может превышать урвень НГ и определяется техническими возможностями и треб ваниями к безопасности пилотирования самолета.

Расход реагента на одно облако и методика засева варьиротся в зависимости от геометрических размеров облаков и вертикальных скоростей (измеренных под облаком и рассчитанны в слое конвекции) с целью обеспечить достаточную концентрацию реагента на уровне проявления льдообразующей активности

Для облаков с четко выраженной одной зоной восходящег потока под основанием, которая имеет большие размеры, засе наиболее целесообразно производить на вираже в пределах зонь Для облаков с диаметром более 3 км и облаков со слаб выраженными диффузно распределенными восходящими токам под НГ для засева используются два САГ, приводимые в действие одновременно или с небольшим интервалом времени. Марш рут самолета в этом случае организуется «змейкой» без выход за внешние контуры облака.

Момент начала и конца воздействия фиксируется в бортжур нале с записью режима полета, количества и типа снаряжени

израсходованных САГ и характера их срабатывания.

С целью определения эффектов воздействия полеты в зоне об работанного облака осуществляются в течение 40—60 мин посл проведения воздействия. При этом чередуются:

— челночные полеты в подоблачном пространстве, вдоль ли ний, проходящих через центр проекции облака в направления параллельно и перпендикулярно направлению переноса облака (длина базы выбирается равной 2—3 диаметрам облака);

— облет облака по внешнему обводу с изменяемой высото

полета.

После начала выпадения осадков проводятся аналогичны наблюдения за зоной осадков. При пересечении зоны осадког фиксируются моменты входа и выхода в зону осадков и моменть изменения их интенсивности, а также дается качественная оцен ка интенсивности осадков (слабые, умеренные, сильные, очен сильные);

Решение о прекращении исследований принимается руково дителем полета по данным об эволюции облака или зоны осад ков из него, а также в случае невозможности продолжения рабо ты по техническим причинам.

Достаточными признаками для прекращения наблюдений

в окрестностях обработанного облака могут являться:

полное разрушение облака;

- прекращение осадков из облака;

— переход облака в стабильное состояние;

— возникновение опасных явлений погоды (электрические раз-

іды, шквалы, сильная болтанка и др.).

4. Результаты натурных экспериментов. За период с 22 июля 7 сентября 1978 г. проведено 28 опытов по воздействию на нвективные облака с применением пиротехнических самолет- 1х аэрозольных генераторов. Всего отмечены осадки в 23 слу- 1х (74%). Методика контроля обеспечивала полную идентикацию осадков именно из обработанного облака.

Результаты опытов приведены в табл. 1. Период времени от здействия до начала выпадения осадков (t) изменяется от 11 34 мин, а средний интервал времени  $(t_{\rm cp})$  между моментами здействия и началом выпадения осадков оказался равным мин. Результативность засева можно считать достаточно выкой, учитывая ограниченность информации об объекте в монт принятия решения о воздействии. При определении реальй эффективности метода воздействия на современном уровне формационного обеспечения работ необходимо учесть вероятсть выпадения осадков без искусственного вмешательства. Так, адки в опыте 21 следует отнести к естественным, так как они чались ранее, чем реагент реально мог достигнуть уровня поговой температуры.

По теоретическим расчетам Д. Д. Сталевич и Т. С. Учеватной [2], рост частиц осадков на частицах кристаллизующих агентов, введенных непосредственно в зону проявления их дообразующей активности, происходит за 11—12 мин. Учитыя время, необходимое на перенос реагента вверх с уровня нижй границы облака, можно полагать, что осадки в некоторых учаях могли выпадать под влиянием естественных процессов. К этой категории с определенной вероятностью можно от-

сти:

— результат 20-го опыта, когда осадки начались через 11 мин сле воздействия при температуре вершины облака —16,3°С; — результат 22-го опыта, когда осадки начались через мин после воздействия при температуре вершины облака 15,7°С и в районе работ наблюдались осадки из незасеянных лаков.

Осадки в других случаях при больших отрицательных значеях  $t-t_{\rm cp}$  (опыты 23, 26 и 27 с  $t-t_{\rm cp}$ , равными соответственно 7, —6, —5 мин) вряд ли можно однозначно относить к естестным, хотя бы потому, что вершины облаков имели темперары от —6 до —8,5 °C, при которых естественная кристаллизая маловероятна.

С учетом сказанного к естественным можно отнести три слул наблюдавшихся осадков. Тогда эффективность воздействия ставит величину 20/25=0,8. Такая же оценка получится при ключении только очевидного случая естественного выпадения адков (опыта 21).

№ nn.	Число, месяц	Район работ	Форма облачности	<i>Н</i> <sub>НГ</sub> км	Н <sub>ВГ</sub> км (оцен- ка)	Мощ- ность облака, км (оцен- ка)	Толщи- на пе- реох- лажден. части, км	Уро- вень изотер- мы —6°С, км	T <sub>H</sub> °€
1	22 VII	Новая Ладога	Cu cong	0,5	>3,0	>2,5	_	3,0	8,
Ź	22 VII	Новая Ладога	Cu cong	0,3	>3,0	>2,7	-	3,0	8,
3	22 VII	Новая Ладога	Cu cong	0,4	>3,5	>3,1	-  -	3,0	8,
4	25 VII	Череповец	Cu med	0,8	_			3,8	12,
5	25 VII	Череповец	Cu cong	0,8			_	3,8	12,
6	25 VII	Череповец	Cu cong	0,8			_	3,8	12,
7	27 VII	Череповец	Cu cong	0,9	> 3,0	>2.1		3,6	13,
8	27 VII	Череповец	Cu cong	0,6	>3,0	>2,4		3,6	16,
9	28 VII	Южнее Под- порожья	Cu cong	1,2	>3,0	>1,8		3,8	11
10	3 VIII	Северо-вос- точнее Тих- вина 40 км	Cu cong	0,8	>3,0	>2,2	_	4,4	17.
11	3 VIII	Тихвин	Cu cong	1,2	-	<u> </u>	_	4,4	14.
12	3 VIII	Севернее Тих- вина 60 км	Cu cong	1,0	_			4,4	15.
13	4 VIII	Лодейное Поле	Cu cong	0,6	-	_	-	4,2	17
14	9 VIII	Тихвин	Cu cong	0,9	3,5	2,6	1,1	3,4	8.
15	12 VIII	Северо-запад- нее Тихвина 45 км	Cu cong	0,5	3,3	2,8	1,5	2,7	8
16	13 <b>V</b> III	Восточнее Вол- хова 20 км	Cu med	0,7	3,2	2,5	1,4	2,8	6
.17	13VIII	Южнее Волхо- ва 30 км	Cu med	0,9	3,4	2,5	1,6	2,8	6
18	14 VIII	Юго-западнее Тихвина 70	Cu med	0,6	2,6	2,0	1,3	2,2	5
19	14VIII	км Западнее Шуг- озера 35 км	Cu med	0,8	3,4	2,5	2,1	2,2	3
20	I4 VIII	Тихвин	Cu cong	0,9	3,7	2,8	2,4	2,2	3

на облака с самолета Ан-2 летом 1978 г.

	l .				Осадки							
τ <sub>ΒΓ</sub> °C	Макси- мальная пере- грузка,	воздей- ствия,	t мин	время наблю-	интенсивность	время	на зоны	время	зоны			
	доли g	чмин		дения, ч мин	Antenenghoers	наблю- дения, ч мин	км	наблю- дения, ч мин	км			
·	0,6	12 58	27	13 25	Слабые	13 28	0.2	13 30	2,7			
					Умеренные	13 32	2,0	13 34	5,8			
<b>—</b>	0,5	14 30	20	14 50	Слабые	14 52	0,2	14 55	3,0			
				14 58	Умеренные	15 00	2,5	15 05	<b>6,5</b>			
! —	-0,5	15 00	18	15 18	Слабые	15 20	0,5	15 23	1,0			
				15 25	Умеренные	15 25	1,5	15 28	2,5			
				15 30	Слабые			- 1				
· —	-0,5	15 50	-	16 37	Облако развалилось							
-	-0,5	16 37	15	16 52	Слабые	16 54	0,2	16 55	1,0			
<del>-</del>	-0,5	17 12	-	17 36	Облако развалилось							
_	0,5	15 57		16 13	Облако развалилось							
. —	-1,0	16 50	25	17 15	Сильные							
_	<b>—0,</b> 5	15 36		15 55	Облако развалилось	-	٠					
-	-0,7	13 40	18	13 58	Слабые	14 00	1,0	14 05	5,0			
,	-0,5	14 39			<u> </u>							
	-0,5	15 30	20	15 50	Слабые	Пре	кратил	ись в	16 00·			
	-0,6	15 09	15	15 31	Умеренные	15 35	0,5	15 38	1,5			
-6,9	<b>—</b> 0,6	17 30	34	18 04	Слабые			,				
				18 10	Умеренные							
<u>6,1</u>	-0,8	16 55	21	17 <b>0</b> 6	Слабые							
	ļ			17 20	Умеренные							
9,7	-0,6	11 43	30	12 13	Слабые	12 14	1,1	12 18	2,7			
				12 19	Умеренные	12 21	2,5	12 24	4,0			
<b>—9,9</b>	-0,5	18 06	19	18 25	Слабые	-		_				
	l			18 30	Умеренные	18 33	1,3	18 36	2,9			
-8,5	-0,5	14 05	15	14 20	Слабые	-		_				
				14 25	Умеренные	14 35	0,9	14 38	1,4			
-14,1	-0,7	16 30	21	16 51	Слабые	17 00	1,5	17 03	2,7			
				17 05	Умеренные	17 20	1,1	17 24	1,5			
<u>-16,3</u>	-0,8	18 26	11	18 37	Слабые	-						

				<del></del>			<del>,</del>		
. <b>№</b> Ип.	Число, месяц	Район работ	Форма облачности	<i>Н</i> <sub>НГ</sub> км	ка) НВС км	Мощ- ность облака, км (оцен- ка)	Толщи- на пе- реох- лажден. части, км	Уро- вень изотер- мы —6°С, км	τ <sub>ΗΓ</sub> °C
21	15 V I I I	Северо-вос- точнее Тих- вина 30 км	Cu cong	1,0	3,0	2,0	1,7	2,3	2,6
22	15 VIII	Тихвин	Cu med	1,3	3,8	2,5	2,5	2,3	0,4
23	16 V11I	Белозерск	Cu med	0,9	3,5	2,6	2,0	<b>3,</b> 5	6,0
24	21 VIII	Пикалево	Cu cong	1,1	4,2	3,1	2,0	3,4	8,7
									The state of the state of the state of the state of the state of the state of the state of the state of the state of the state of the state of the state of the state of the state of the state of the state of the state of the state of the state of the state of the state of the state of the state of the state of the state of the state of the state of the state of the state of the state of the state of the state of the state of the state of the state of the state of the state of the state of the state of the state of the state of the state of the state of the state of the state of the state of the state of the state of the state of the state of the state of the state of the state of the state of the state of the state of the state of the state of the state of the state of the state of the state of the state of the state of the state of the state of the state of the state of the state of the state of the state of the state of the state of the state of the state of the state of the state of the state of the state of the state of the state of the state of the state of the state of the state of the state of the state of the state of the state of the state of the state of the state of the state of the state of the state of the state of the state of the state of the state of the state of the state of the state of the state of the state of the state of the state of the state of the state of the state of the state of the state of the state of the state of the state of the state of the state of the state of the state of the state of the state of the state of the state of the state of the state of the state of the state of the state of the state of the state of the state of the state of the state of the state of the state of the state of the state of the state of the state of the state of the state of the state of the state of the state of the state of the state of the state of the state of the state of the state of the state of the state of the state of the state of the state of the state of the state of the state of the s
25	4 IX	Южнее Сви- рицы 5 км	Cu cong	0,8	4,8	4,0	3,0	2,8	+8,0
26	5 IX	Западнее Тих- вина 7 км	Cu med	0,8	3,4	2,5	1,3	2 <b>,9</b>	+8,6
27	7 IX	Западнее Тих- вина 10 км	Cu med	0,8	3,5	2,7	1,3	3,2	+8,0
28	7 IX	Юго-западнее Тихвина 10 км	Cu med	0,8	3,6	2,8	1,4	3,2	+8,4

Дадим краткое описание хода проведения двух опытов.
1. Опыт 15, 12 VIII 1978 г. (см. табл. 1).
Эксперимент проводился в восточной части Ленинградской области. Погода в районе работ определялась тыловой частью циклона. Во второй половине дня развивалась конвективная об-

				Осадки								
	Макси- мальная	Время				ширина	зоны	длина	зоны			
<sup>T</sup> Br °C	пере- грузка, доли g	воздей- ствия, ч мин	t мин	время наблю- дения, ч мин	наблю- дения, интенсивность		км	время наблю- дения, ч мин	КМ			
				18 41	Умеренные.	18 47	0,8	18 49	2,5			
					· ·	18 56	0,7	18 59	1,5			
_10,5	-0,7	11 15	Есте- ствен- ные осад-	мя	одали осадки во вре- прохода с подож- ными САГами							
_15,7	0,7	16 40	ки 15	16 55	Слабые			_				
10,1	(-,1	10 40	10	17 05	Умеренные	17 10	1,4	17 13	3,0			
-6,0	0,8	15 08	12	15 20	Умеренные	11 10	1,4	**	0,0			
0,0	-0,0	10 00	12	15 32	Сильные	15 40	1,5	15 44	2,3			
-11,7	-0,9	16 04	17	16 21	Отдельные крупные капли		1,0		2,0			
		'		16 27	Слабые							
				16 33	Умеренные							
				16 35	Сильные	16 42	1,2	16 46	2,5			
		'		16 40	Радуга			1 1				
-18,9	-0,5	17 22	19	17 41	Отдельные крупные капли	: :						
				17 57	Умеренные							
				18 00	Сильные	18 05	1,0	18 08	3,0			
8,1	0,8	12 00	13	12 13	Отдельные капли							
		. 1	İ	12 25	Слабые							
				12 32	Умеренные							
			[	12 34	Сильные	12 55	2,0	12 58	3,5			
				1250	Радуга			1				
<b>-7,9</b>	0,9	12 35	16	12 51	Отдельные крупные капли			,				
		-		13 12	Слабые							
-8,5	0,8	13 36	14	13 50	Слабые	14 03	1,1	14 07	2,7			
				1409	Умеренные			-				

гачность до 7—8 баллов, в течение дня наблюдалась также об-гачность среднего яруса 2—4 балла. В 16 ч 40 мин в 45 км северо-северо-западнее Тихвина для ксперимента выбрано изолированное облако с НГ 500 м. Ориен-ировочно верхняя граница находилась на высоте около 3300 м.

Горизонтальные размеры основания перед началом опыта были  $3.1 \times 1.6$  км.

В течение двух проходов под облаком измерялись геометрические размеры и определялся характер вертикальных токов. Восходящие токи обусловливали максимальные перегрузки самолета до —0,8 g. В связи с соответствующими требованиями к геометрическим размерам и наличием развитых восходящих токов под облаком в 16 ч 55 мин был произведен засев с использованием двух изделий САГ. Воздействие производилось при полете на вираже под облаком. Полет в районе обработанного облака продолжался еще в течение около полутора часов с целью проведения контроля результатов.

В 17 ч 06 мин из облака началось выпадение слабых осадков, в 17 ч 12 мин нижняя часть облака начала расчленяться, а в 17 ч 20 мин дождь усилился до умеренного. С 17 ч 30 мин до 17 ч 40 мин наблюдения за зоной осадков проводились при полете вне зоны. Очень хорошо просматривались полосы падения осадков. В 17 ч 40 мин снова вошли в зону осадков с целью определения их интенсивности. Осадки продолжали оставаться умеренными. Наблюдения были прекращены в 18 ч 15 мин, хотя осадки из облака еще продолжались.

2. Опыт 24, 21 VIII 1978 г. (см. табл. 1).

Полет выполнялся над Тихвинским и Бокситогорским районами Ленинградской области. Погода в районе полета характеризовалась развитием внутримассовой конвективной облачности до 7—8 баллов. В районе Пикалево около 16 ч было выбрано изолированное облако с горизонтальными размерами  $3.1 \times 2.0$  км.  $H\Gamma$ -1100 м. в  $B\Gamma = \sim 4200$  м. В результате предварительного исследования установлено, что под облаком наблюдаются интенсивные восходящие токи (перегрузки до -0,8 g). В 16 ч 04 мин произведено воздействие. Засев проводился при горизонтальном полете по прямой линии в направлении наибольшей проекции основания облака. В 16 ч 10 мин основание облака заметно нотемнело и осело на 100-200 м, в 16 ч 21 мин отмечено выпадение отдельных крупных капель, в 16 ч 27 мин начался слабый дождь, который к 16 ч 33 мин усилился до умеренного, а в 16 ч 35 мин стал сильным. С 16 ч 40 мин наблюдения за зоной осадков продолжались при полете вне зоны их выпадения. Кроме по лос падения осадков, наблюдалась радуга. В 16 час 50 мин са молет вошел в зону осадков под облаком. Размеры зоны осадког в это время были  $2.5 \times 1.2$  км. Интенсивность осадков существен но не изменилась до 17 ч 20 мин, когда наблюдения были прекращены.

В заключение можно сделать следующие выводы.

1. Выполнена серия опытов по воздействию на конвективные облака с применением самолетных аэрозольных генераторов приводимых в действие под нижней границей облаков. В 80 % случаев отмечено выпадение осадков из обработанных облаког со средним временем появления, равным 19 мин.

2. Вопрос об определении реальной эффективности метода воздействия в настоящее время нельзя считать решенным окончательно. Одним из возможных путей его решения представляется проведение рандомизированных опытов по воздействию на облака с применением разработанных технических средств.

3. После доработки технических средств и методики воздействия предполагается использовать методику искусственного вызывания осадков с применением легкомоторных самолетов в прикладных народнохозяйственных задачах, важнейшими из которых являются тушение лесных пожаров и орошение сельскохозяйственных угодий.

### СПИСОК ЛИТЕРАТУРЫ

- 1. Дьяченко Ю. Д. и др. Разработка пиротехнического самолетного аэрозольного генератора кристаллизующих реагентов/Ю. Д. Дьяченко, Г. Д. Ку-
- дашкин, А. И. Сидоров, Н. А. Силин, Н. С. Шишкин. См. наст. сборник. 2. Сталевич Д. Д., Учеваткина Т. С. Теоретическое исследование процесса искусственного осадкообразования применительно к задаче тушения лесных пожаров. Труды ГГО, 1974, вып. 290, с. 81—93.

# О ХИМИЧЕСКОМ СОСТАВЕ ДОЖДЯ И ГРАДА, ВЫПАВШИХ ИЗ ОБЛАКОВ ПРИ ПРОВЕДЕНИИ ВОЗДЕЙСТВИЙ С ЦЕЛЬЮ ГРАДОЗАЩИТЫ

Воздействия на облака с целью предотвращения градобитий ведутся в течение длительного времени, и масштабы этих работ с каждым годом расширяются. При этом в атмосферу вводится значительное количество льдообразующих реагентов (PbI2 и Ag I), а также веществ, входящих в состав пиротехнических смесей, что несомненно сказывается на величине общей минерализации атмосферных осадков. Изучение химического состава осадков в районе проведения противоградовых работ является одним из средств контроля загрязнения окружающей среды.

Начиная с 1976 г. нами проводился систематический сбор атмосферных осадков с целью определения их общего химического состава и исследования содержания иода. Отбирались пробы осадков, выпавших из облаков, подвергнутых воздействию и естественно развивающихся [3]. Эти исследования проводились на защищаемой территории (3T) в районе пос. Баксаны (МССР).

В летние сезоны 1976 и 1977 гг. в районе ЗТ все воздействия с целью предотвращения града были успешными. Однако летом 1978 г., несмотря на противоградовую защиту, в трех случаях наблюдалось выпадение града. В эти дни для химического анализа были отобраны пробы дождя, дождя с градом и града.

Определение количества примеси, выпадающей с осадками,

может быть полезным для следующих целей:

1) получения новой информации о химическом составе жидких и твердых осадков,

2) получения дополнительной информации об успешности

(или неуспешности) воздействия,

3) расширения знаний о процессах, происходящих в естественно развивающихся облаках и облаках, подвергнутых воздействию. Данная работа посвящена исследованию первого из указанных вопросов. В статье приводятся сведения о трех случаях выпадения града в Молдавии (26, 28 июня и 19 июля 1978 г.). Химический анализ проб жидких и твердых осадков включал

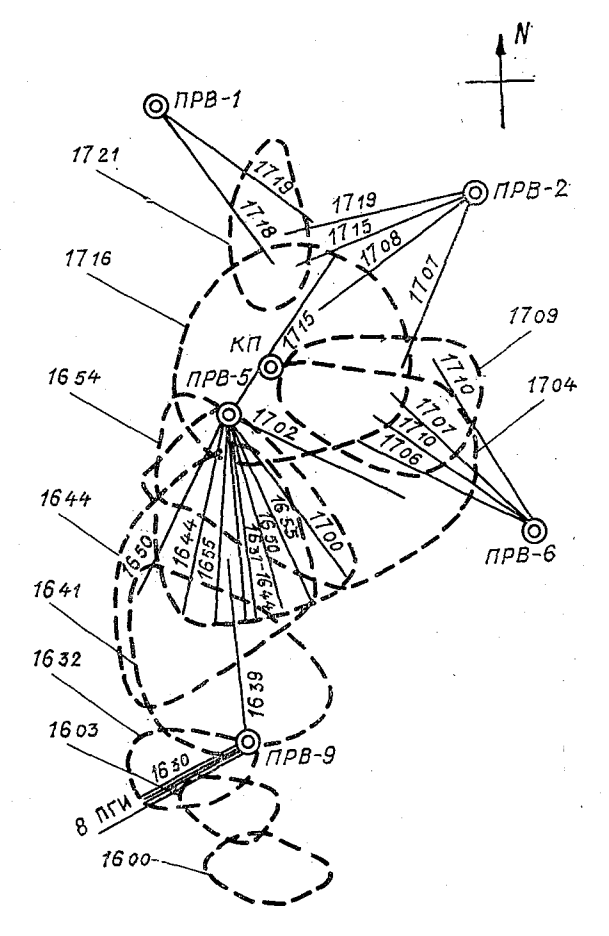


Рис. 1. Схема перемещения крупно-капельного очага градового облака 28 июня 1978 г.

определение концентраций  $I^-$  и макрокомпонентов:  $SO_4^{2-}$ ,  $CI^-$ ,  $\overline{VO_3}$ ,  $HCO_3^-$ ,  $Na^+ + K^+$ ,  $Mg^{2+}$ ,  $Ca^{2+}$ ,  $NH_4^+$ . Более подробно обуждаются результаты химического анализа осадков, выпавших ри воздействии на грозоградовые облака 28 июня 1978 г., так ак имеющиеся за этот день материалы наиболее исчерпывающие. Данные химического анализа осадков за 26 июня и 19 июля гривлекаются для дополнения и сравнения.

Сбор проб атмосферных осадков сопровождался комплексом наземных наблюдений, включавших: радиолокационные наблючения за перемещением и эволюцией градоопасных облаков, также регистрацию молниевой активности с помощью грозорегистратора малого радиуса действия ПРГ-15. При этом про-

водился стандартный комплекс метеорологических наблюдений. Интенсивность и количество выпавших осадков определялись с помощью плювиографа. Визуально отмечалось время начала и конца выпадения осадков, а также их характер. В период выпадения града 26 и 28 июня был произведен его сбор для изучения форм, размера и химического состава градин. Определялся также химический состав жидких и смешанных осадков. 19 июля производился отбор и анализ только жидких и смешанных осадков.

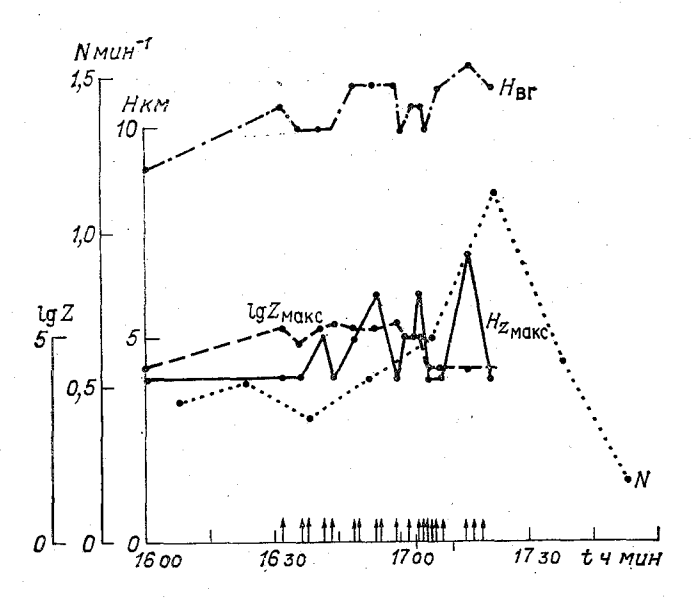


Рис. 2. Изменение со временем числа грозовых разрядов (N) и радиолокационных параметров ( $H_{\rm BF}, H_{Z_{\rm Makc}}$ , ід  $Z_{\rm Makc}$ ) градового облака 28 июня 1978 г. Стрелки— моменты воздействия.

**Аэросиноптический анализ.** Оперативная работа по градозащите производилась по соответствующей методике [2], предусматривающей введение реагента в слой облака, заключенный между высотами изотерм —6 и — $10\,^{\circ}$ С. В качестве реагента использовался иодистый свинец (PbI<sub>2</sub>), доставка которого осущест влялась противоградовыми изделиями ПГИ-М и «Облако».

Анализ аэросиноптических условий развития градовых про цессов в Молдавии показывает, что в этом районе градоопасные облака возникают главным образом при наличии ложбины циклона [1], а 70 % случаев выпадения града связано с прохождением холодных фронтов [2]. Именно в таких условиях происходило развитие облаков, из которых выпал град 26, 28 июня

и 19 июля 1978 г. Термическая неустойчивость в эти дни была не очень значительна. Разность температур между кривой состояния и кривой стратификации составляла 3—4°С. Дефициты точки росы в слое 850—500 мбар имели следующие значения: 6—12°С 26 июня, 2—5°С 28 июня, 3,5—7°С 19 июля.

Наиболее интенсивным был градовый процесс 19 июля. В этот день наблюдалось мощное струйное течение со скоростью 140 км/ч, усилившее процесс градообразования. Наличие струйных течений является характерной особенностью катастрофических градовых процессов [1].

Высота уровня конвекции в эти дни была 11-12 км. Нулевая изотерма в дни с градобитиями находилась на высоте 3,3-3,7 км, изотерма -6 °C — на высоте 4,1-4,5 км, изотерма -10 °C — на

высоте 4,8—5,2 км.

Описание градового процесса 28 июня 1978 г. В 16 ч в 20 км от командного пункта (КП) по ИКО радиолокационной станции было отмечено возникновение нескольких зон отражения от

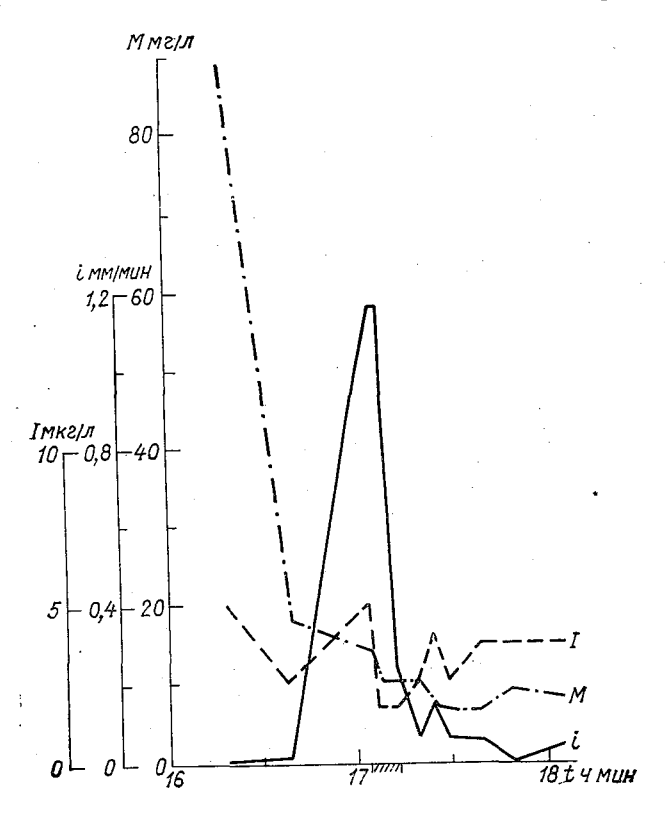


Рис. 3. Изменение со временем интенсивности (i), общей минерализации (M) осадков и концентрации иода (I) в них.

мощных кучевых облаков. В дальнейшем интенсивно развивалась только одна из них. За этим облаком было продолжено радиолокационное наблюдение. Облако двигалось в сторону КП со скоростью около 40 км/ч. На рис. 1 представлена схема перемещения крупнокапельного очага (ККО) этого облака, а на рис. 2 — изменение со временем его радиолокационных параметров и числа грозовых разрядов.

K началу воздействия верхняя граница радиоэха облака  $(H_{\rm B\Gamma})$  находилась на высоте 10,5 км, логарифм максимальной радиолокационной отражаемости  $(\lg Z_{\rm makc})$  имел значение 5,2, градоопасность (P) составляла 100 %, интенсивность грозовых разрядов была 0,5 мин $^{-1}$ . С 16 ч 12 мин на  $K\Pi$  шел слабый

дождь.

Таблица 1 Характеристики градин различных форм

			Диаметр, м	Объем	Концентра-	
Вид градин	n	мин.	мин. макс.		растаявших градин, мл	ция иода, мкг/л
		24	31	26,5		
Эллипсоидальное	12	14	21	18,3	155	< 0,5
		3	16	8,0		
Сплющенные сфери-	. 61	14	30	17,8	135	-0.E
ческие	01	5	12	7,0	199	. <0,5
Сферические	179	10	23	15,0	230	<0,5

В 16 ч 32 мин было начато воздействие. Ракетами ПГИ-М (восемь штук) на высоте 4,2 км был введен 1 кг  $PbI_2$ . Поскольку облако продолжало развиваться и его градоопасность по-прежнему оставалась максимальной ( $P\!=\!100~\%$ ), с 16 ч 39 мин до 17 ч 19 мин в него было введено (в слой 4,4—5,2 км) 22 ракеты «Облако», содержащие 68 кг  $PbI_2$ .

К КП облако приблизилось в 17 ч. В это время его радиоло-кационные параметры имели следующие значения:  $H_{\rm BF}=10$  км,  $\lg Z_{\rm макс}=5$ , P=100 %. В 17 ч 15 мин электрическая активность облака возросла до N=0.7 мин $^{-1}$ . В 17 ч 00 мин начался сильный дождь, а в 17 ч 04 мин — дождь с градом. В течение первых 5 мин интенсивность осадков была равна 69 мм/ч. За весь период выпадения града (17 ч 04 мин — 17 ч 12 мин) средняя интенсивность осадков составляла 51 мм/ч, а их общее количество — 10,1 мм (рис. 3). Дождь продолжался в общей сложности 1 ч 55 мин; за это время выпало 14,9 мм осадков.

Наблюдения за выпавшим градом показали, что распределение его по поверхности земли было неравномерным. Области ско-

ления града площадью 0,5—1 м<sup>2</sup> чередовались с областями, на оторых град практически отсутствовал (4—6 м<sup>2</sup>). Размеры формы градин существенно различались. В основном наблю-ались градины диаметром от 2 до 30 мм. Однако встречались тдельные градины диаметром до 50 мм. При этом на 30—

0 мелких градин приходилась одна крупная.

Сразу после окончания выпадения града было собрано более 00 градин с целью определения их размера, формы и химичекого состава. Градины имели форму эллипсоидов, сфер и сплюценных сфер. Первые были наиболее крупными. Одна из градин, меющая форму сплющенной сферы, была тщательно исследовата (рассмотрена и измерена). Результаты ее исследования дают редставление о типичном строении градин, выпавших в этот ень.

В центре градины прослеживается ядро матового льда диаетром 4 мм. Вокруг него располагается слой прозрачного льда олщиной 12 мм. Этот слой в свою очередь окружен девятью мерзшимися между собой ледяными непрозрачными шариками

иаметром около 6 мм кажый. В целом диаметр градиы равен 42 мм, а толщина—

MM.

Число ледяных щариков, кружающих прозрачную асть, у разных собранных радин было различным 6—10).

У эллипсоидальных градин пределялись диаметры в вух взаимно перпендикулярых направлениях и толщина,

имеющих форму сплющеной сферы — диаметр и тол-

Таблица 2 Спектр размеров сферических градии

Диаметр, мм	Число градин	%
11	21	11,7
14	77	43,1
17	74	41,4
20	4	2,2
23	3	1,6
Сумма	179	100

цина, у сферических — диаметр. В табл. 1 приведены данные миимального, максимального и среднего значений каждого из казанных размеров для трех групп градин, а также сведения числе градин каждой формы (n), объеме воды от растаявшего рада и концентрации иода в этих пробах. В табл. 2 представлеы данные о числе сферических градин каждого размера (n), также процентное содержание градин указанных размеров. Как идно из табл. 2, 84,5 % всех сферических градин имеют диаметр 4—17 мм.

Градины, выпавшие 26 июня и собранные для химического нализа, имели сферическую форму диаметром от 5 до 15 мм.

Результат химического анализа воды твердых и жидких осадов. Химический анализ проб атмосферных осадков проводился о методике, изложенной в [3]. В пробах дождя, выпавшего до ачала выпадения града и после его выпадения, а также в проах дождя с градом и отдельно града определялось содержание

следующих компонентов:  $SO_4^{2-}$ ,  $Cl^-$ ,  $NO_3^-$ ,  $HCO_3^-$ ,  $Na^++K^ Mg^{2+}$ ,  $Ca^{2+}$ ,  $NH_4^+$ . Определялось также содержание  $I^-$ , обща минерализация M и рН (табл. 3).

Как видно из табл. 3, общая минерализация осадков и концентраций отдельных ионов в период выпадения града меньше чем до начала его выпадения. При этом следует отметить, чт концентрация макрокомпонентов в граде весьма близки по величине к концентрациям их в смешанных осадках (град с дождем)

Изменение со временем общей минерализации осадков (M и содержания иода ( $I^-$ ) показано на примере случая выпадени дождя с градом 28 июня 1978 г. (рис. 3). Здесь же приведен

Таблица Химический состав атмосферных осадков в дни с градом

				Кон	центраці	ия, мг/л					П
Время отбора пробы и вид осадков	М	$\left  so_4^{2-} \right $	CI-	№03	нсо $\frac{-}{3}$	N a++ +K+	Mg <sup>2+</sup>	Ca <sup>2+</sup>	NH4+	I , мкг/л	pГ
	Сре	дние ,	данны	е за 2	6, 28 и	и кног	19 ию	ля 1978	8 г.		į
До начала выпадения града	24,3	6,9	1,8	1,2	5,0	7,0	0,4	1,4	0,5	4,3	6,1
В период выпадения града	15,2	4,2	1,8	0,8	4,9	2,9	0,3	1,0	0,1	2,6	6,2
до начала выпадения града В период выпадения града После выпадения града	13,7	4,9	1,0	1,2	2,6	2,8	0,3	0,7	0,2	2,1	5,5
					а 28 ин						
<b>Г</b> рад	12,0	5,6	1,3	0,2	1,2	2,6	0,2	0,8	0,0	< 0,5	6,
<b>Г</b> рад с дож- дем	10,1	4,8	0,8	0,3	0,9	2,5	0,2	0,5	0,0	2,6	5,

кривая, характеризующая изменение со временем интенсивност осадков (i). Как видно из рис. 3, характер изменения концентря ции иода со временем повторяет ход изменения интенсивност осадков. В период выпадения града наблюдается уменьшение ка общей минерализации, так и иода в осадках. При этом в град иода не обнаружено, а концентрация его в смешанных осадка в среднем в 1,5 раза меньше, чем в дожде. После окончани выпадения града значения М со временем уменьшаются, а концентрация 1— в последующих пробах осадков увеличивается д 4 мкг/л и в течение часа имеет довольно высокое значение (д 3,75 мкг/л), что, по-видимому, связано с присутствием в облак иодистого свинца, введенного в период воздействий.

Действительно, средняя концентрация иода в осадках, выпавих из грозо-градовых облаков, подвергнутых воздействию леом 1978 г. составляет около 3,4 мкг/л, т. е. в 1,8 раза больше, ем в осадках из грозовых облаков, не подвергнутых воздейстию, и в 2,1 раза больше, чем в ливневых осадках (табл. 4).

Наиболее интересным результатом данного исследования, поидимому, является то, что иода в граде не<u>обнаружено</u> (при увствительности методики 0.5 мкг/л), хотя 26, 28 июня и 19 июя в облака было введено соответственно 102, 132 и 130 кг иодитого свинца. При этом среднее содержание иода в жидких осадах составляло 4,9, 3,7 и 2,2 мкг/л.

Следует отметить, что результаты трехлетних исследований одержания иода в осадках, выпавших после воздействий на об-

јака, показывают, что кондентрация I- в пробах грозовых дождей снижается до нулевых значений только после длительного лее 2 ч) выпадения осадков значительной интенсив-(более 3 В рассмотренных нами слунаях выпадение града либо почти совпадало с началом выпадения осадков, дождь шел достаточно долго. но его интенсивность была незначительна (0,6 мм/ч 28 июня 1978 г.).

В пробах дождя, бранных после окончания

выпадения града, средняя

концентрация иода 26 июня 1978 г. была равна 5 мкг/л и 28 июня 1978 г. — 4 мкг/л. Таким образом, факт отсутствия иода в граде не может быть ни методической ошибкой, ни случайностью.

Приведенные данные получены для случаев выпадения града разной интенсивности и размера, а следовательно, и разных условий его образования. Кроме того, химическому анализу подвергались градины разного размера и форм. Однако поскольку вывод получен на небольшом материале, необходимы дальнейшие исследования для его подтверждения и анализа причин наблюдаемого эффекта.

В заключение можно сделать следующие выводы:

1) в период выпадения града общая минерализация, а также концентрация отдельных ионов и иода в смешанных осадках в среднем в 1,5 раза меньше, чем в пробах дождя, выпавшего до начала выпадения града;

2) общий химический состав воды растаявшего града практически совпадает с химическим составом смешанных осадков:

Таблица 4 Концентрация иода в осадках

noncon pagna noga -		
Осадки	Концентра- ция иода, мкг/л	Число проб
Без воздейств	ия	
Ливневый дождь	1,6	69
Ливневый дождь Грозовой дождь	1,9	41.
С воздействи	ем	
Грозовой дождь	3,4	64
Дождь с градом	3,4 2,6	7
Град	<0,5	4

3) в граде, выпавшем в период воздействий  $PbI_2$ , в трех описанных случаях иода не обнаружено (результат получен дл града различных размеров и форм).

## СПИСОК ЛИТЕРАТУРЫ

- 1. Гайворонский И. И., Диневич Л. А., Хрустицкая И. А. Неко торые результаты исследований градовых процессов. Труды ЦАО, 1970 вып. 104, с. 24—39.
- 2. Гайворонский И.И., Серёгин Ю.А.Искусственное воздействие и градовые процессы. Симпозиум по физике облаков.— София: Изд. Болгарской АН, 1969, с. 133—159.

Тромова Т. Н. и др. О химическом составе осадков из конвективных об лаков. — Труды ГГО, 1979, вып. 405, с. 91—97.
 Громова Т. Н. и др. Исследование содержания иода в атмосферных

4. Громова Т. Н. и др. Исследование содержания иода в атмосферны осадках в районе проведения противоградовых работ и анализ нескольки случаев градозащиты. Всесоюзная конференция по физике облаков и актив ным воздействиям на них. Тезисы докладов. — Обнинск, 1979. 150 с.

5. Лассе Г. Ф. Климат Молдавской ССР. — Л.: Гидрометеоиздат, 1978. -

373 с.

## Қ АНАЛИЗУ РАБОТЫ ИҚ РАДИОМЕТРА ПРИ ИЗМЕРЕНИИ ТЕМПЕРАТУРЫ ВОЗДУХА В СВОБОДНОЙ АТМОСФЕРЕ И В ОБЛАКАХ

При измерении температуры воздуха в облаках с самолета помощью контактных чувствительных элементов возникает ряд огрешностей. Эти погрешности связаны с переходом кинетичесой энергии воздушного потока в тепловую в пограничном слое рмометра, со смачиванием и обледенением датчиков, с измением температуры в пограничном слое термоприемника вследвие фазовых переходов воды [2].

В последние годы для измерения температуры воздуха стали пользоваться ИК радиометры, работающие на линиях поглоения атмосферных газов. Они позволяют устранить многие неостатки контактных датчиков.

В статье анализируется работа ИК радиометра, работающего полосе поглощения водяного пара 6,3 мкм.

Измерение температуры воздуха ИК радиометром. На рис. 1

эиводится оптическая схема радиометра.

Напряжение сигнала на зажимах приемника излучения при ращении модулятора пропорционально разности потоков, падащих на приемник в те моменты, когда модулятор пропускает эток излучения или когда этот поток перекрыт ламелью. В пером случае на приемник поступает излучение, формируемое в чиой атмосфере водяным паром, а в облаках — водяным паром облачными частицами.

Однако из-за влияния собственного излучения элементов оптиского канала (входного окна, линзы, фильтра и т. д.) показания рибора зависят также и от их излучательной способности и темратуры [3]. Известно, что для исключения влияния собственого излучения оптики на выходной сигнал следует выносить молятор на уровень входа измеряемого излучения. Это и реалирвано в рассматриваемом радиометре.

Напряжение сигнала на выходе радиометра равно

$$U_{\text{BMX}} = S_{u}k_{1}(\Phi - \Phi'), \tag{1}$$

 $k_1$  — коэффициент передачи электронного тракта радиомет-

ра;  $S_w$  — вольтовая чувствительность приемника лучистой эне гии;  $\Phi$  — лучистый поток, воспринимаемый приемником при пр пускании модулятором излучения, формируемого исследуем средой;  $\Phi'$  — лучистый поток, воспринимаемый приемником пр перекрытии потока из исследуемой среды ламелью модулятор

Учитывая, что за период вращения модулятора температур и характеристики оптических элементов не меняются, выходно

напряжение равно

$$U_{\text{Bbix}} = S_{u} k_{1} \left( \int_{0}^{\infty} \Phi_{\lambda, c} S_{\lambda} d\lambda + \int_{0}^{\infty} \Phi_{\lambda, \text{ or }} S_{\lambda} d\lambda - \int_{0}^{\infty} \Phi_{\lambda, \text{ m}} S_{\lambda} d\lambda - \int_{0}^{\infty} \Phi_{\lambda, \text{ mon }} S_{\lambda} d\lambda \right),$$

где  $\Phi_{\lambda, c}$ ,  $\Phi_{\lambda, ok}$ ,  $\Phi_{\lambda, m}$  — спектральные плотности собственного и

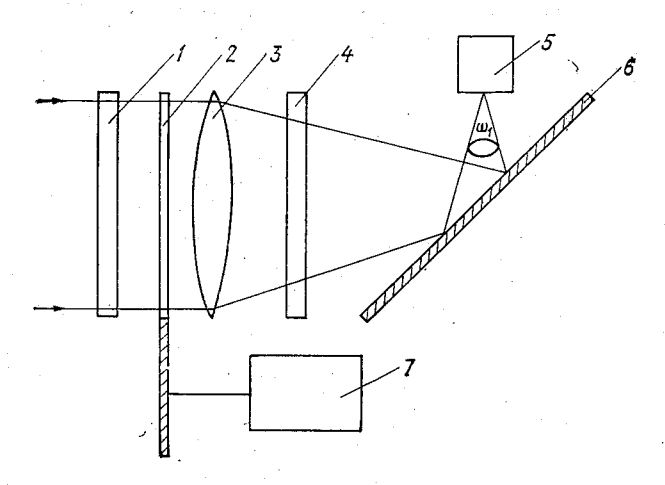


Рис. 1. Оптическая схема радиометра. 1- входное окно, 2- модулятор, 3- линза, 4- фильтр, 5- приемник лучистой энергии, 6- зеркало, 7- двигатель.

лучения исследуемой среды, входного окна и модулятора, кот рые поступают на чувствительный слой приемника лучистой эне гии;  $\Phi_{\lambda, \text{доп}}$  — спектральная плотность излучения, поступающе на чувствительную площадку приемника вследствие дополнителного отражения от модулятора  $S_{\lambda}$  — относительная спектральна чувствительность приемника лучистой энергии.

Величины  $\Phi_{\lambda, c}$ ,  $\Phi_{\lambda, ok}$ ,  $\Phi_{\lambda, m}$ ,  $\Phi_{\lambda, don}$  могут быть представлен следующим образом:

$$\Phi_{\lambda, c} = \frac{r(\lambda, T_c)}{\pi} S_{BX} \omega_1 \tau_{OK, \lambda} \tau_{\pi, \lambda} \tau_{\Phi, \lambda} \varphi_{3, \lambda} \epsilon_{c, \lambda}, \qquad ($$

$$\Phi_{\lambda, \text{ or}} = \frac{r(\lambda, T_{\text{or}})}{\pi} S_{\text{bx}} \omega_1 \tau_{\pi, \lambda} \tau_{\phi, \lambda} \phi_{\text{s}, \lambda} \epsilon_{\text{or}, \lambda}, \tag{4}$$

$$\Phi_{\lambda, M} = \frac{r(\lambda, T_{M})}{\pi} S_{BX} \omega_{1} \tau_{\pi, \lambda} \tau_{\Phi, \lambda} \varphi_{3, \lambda} \varepsilon_{M, \lambda}, \qquad (5)$$

$$\Phi_{\lambda, \text{ доп}} = \frac{r(\lambda, T_{\Pi})}{\pi} S_{\text{BX}} \omega_1 \tau_{\pi, \lambda} \tau_{\phi, \lambda} \phi_{3, \lambda} \phi_{M, \lambda} \epsilon_{\Pi, \lambda}, \qquad (6)$$

де  $S_{\rm BX}$ — площадь линзы,  $\omega_1$ — угол поля зрения прибора,  $r(\lambda, T_{\rm c})$ ,  $(\lambda, T_{\rm M})$ ,  $r(\lambda, T_{\rm oK})$ ,  $r(\lambda, T_{\rm m})$  — спектральные плотности энергетичекой светимости абсолютно черных тел при температуре исследуеой среды  $T_{\rm c}$ , модулятора  $T_{\rm m}$ , окна  $T_{\rm oK}$ , внутренней полости приора  $T_{\rm n}$ ;  $\phi_3$ ,  $\lambda$ ,  $\phi_{\rm M}$ ,  $\lambda$ — спектральные коэффициенты отражения зерала и модулятора;  $\tau_{\rm oK}$ ,  $\lambda$ ,  $\tau_{\rm m}$ ,  $\lambda$ ,  $\tau_{\rm oK}$ ,  $\lambda$ — спектральные коэффициены пропускания входного окна, линзы и фильтра;  $\varepsilon_{\rm c}$ ,  $\lambda$ ,  $\varepsilon_{\rm oK}$ ,  $\lambda$ ,  $\tau_{\rm m}$ ,  $\lambda$ — излучательные способности исследуемой среды, модулятов окна и внутренней полости прибора.

Формула (2) получена при следующем допущении: темпераура всех элементов оптической головки одинакова. Поскольку спользуется узкополосный фильтр, в пределах эффективной поосы пропускания справедливы соотношения:  $\tau_{\text{ок}, \lambda} = \tau_{\text{ок}}, \tau_{\text{л}, \lambda} = \tau_{\text{л}},$  $\tau_{\text{ок}, \lambda} = \tau_{\text{ок}}, \tau_{\text{л}, \lambda} = \tau_{\text{л}},$   $\tau_{\text{ок}, \lambda} = \tau_{\text{ок}}, \tau_{\text{л}, \lambda} = \tau_{\text{л}},$ 

При работе прибора на линии поглощения водяного пара центром 6,3 мкм излучательная способность  $\epsilon_{c}$ ,  $\lambda=1$ . Таким бразом, напряжение сигнала зависит от температуры исследуетой среды, а также от температуры модулятора, входного окна внутренней полости:

$$U_{\text{Bbix}} = \frac{S_{u}k_{1}}{\pi} S_{\text{Bx}} \omega_{1} \tau_{\pi} \varphi_{3} S \left\{ \tau_{\text{OK}} \int_{0}^{\infty} r(\lambda, T_{\text{c}}) \tau_{\varphi, \lambda} d\lambda - \left[ \varepsilon_{\text{M}} \int_{0}^{\infty} r(\lambda, T_{\text{M}}) \tau_{\varphi, \lambda} d\lambda - \varepsilon_{\text{OK}} \int_{0}^{\infty} r(\lambda, T_{\text{OK}}) \tau_{\varphi, \lambda} d\lambda + \left[ + \varphi_{\text{M}} \varepsilon_{\pi} \int_{0}^{\infty} r(\lambda, T_{\pi}) \tau_{\varphi, \lambda} d\lambda \right] \right\}.$$

$$(7)$$

Введем обозначение:

$$\int_{0}^{\infty} r(\lambda, T) \tau_{\Phi, \lambda} d\lambda = A(T).$$
 (8)

На рис. 2 приведен спектральный коэффициент пропускания фильтра.

Спектральная плотность энергетической светимости абсолютно черного тела является табулированной функцией [1]. Выполнив численное интегрирование по  $\lambda$ , получаем зависимость A = f(T) (рис. 3). Эту зависимость можно представить кусочнолинейной функцией  $A(T) = k_2(T)$  T.

Из формул (7) и (8) следует вывод о том, что чувствительность прибора зависит от измеряемой температуры. Действительно, если полагать, что температуры модулятора, окна и полости радиометра не зависят от измеряемой температуры, то чувствительность определяется из выражения

$$\frac{dU_{\text{Bblx}}}{dT} = k_3 \frac{dA(T)}{dT}, \qquad (C$$

где

$$P_3 = \frac{S_u k_1}{\pi} S_{\text{BX}} \omega_1 \tau_{\pi} \varphi_3 S \tau_{\text{ok}}. \tag{10}$$

С ростом измеряемой температуры чувствительность радио метра возрастает. Так, например, прибор имеет в 2 раза большук

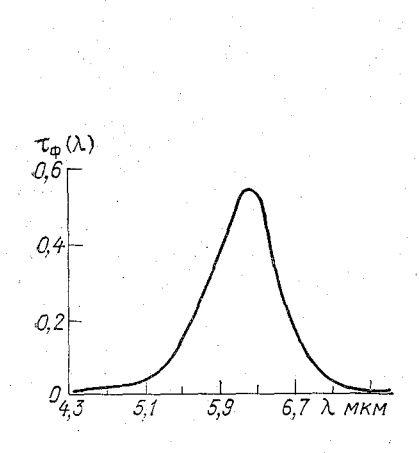
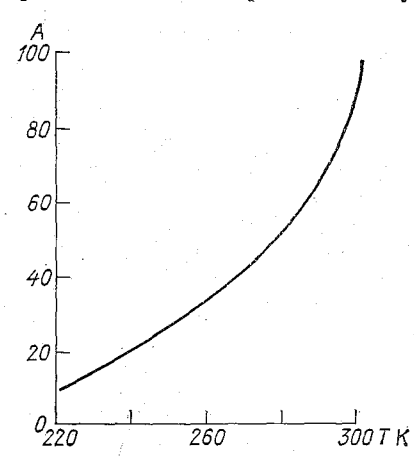


Рис. 2. Спектральный коэффициент пропускания фильтра.



**Р**ис. 3. Зависимость A = f(T).

чувствительность при измерении температуры, близкой к 273 К по сравнению с чувствительностью при температуре 250 К.

При малых изменениях температуры  $/\Delta T_{
m c}/<10$  K справедливо равенство

$$T_{c} = \frac{1}{k_{2} \tau_{ok}} \left[ \frac{U_{Bbix} \pi}{S_{u} k_{1} S_{Bx} \omega_{1} \tau_{\pi} \varphi_{3} S} + \varepsilon_{M} \int_{0}^{\infty} r(\lambda, T_{M}) \tau_{\varphi, \lambda} d\lambda - \varepsilon_{ok} \int_{0}^{\infty} r(\lambda, T_{ok}) \tau_{\varphi, \lambda} d\lambda + \varphi_{M} \varepsilon_{\Pi} \int_{0}^{\infty} r(\lambda, T_{\Pi}) \tau_{\varphi, \lambda} d\lambda \right].$$
(11)

Из теории оптико-электронных приборов известно, что для получения высокой точности измерений необходимо производить калибровку радиометров по эталонным излучателям— черным те-

пам с известной температурой. Если имеются два эталонных излучателя с температурами  $T_1$  и  $T_2$ , близкими к  $T_c$ , а излучательные способности  $\varepsilon_{91} = \varepsilon_{92} = \varepsilon$  в пределах эффективной полосы пропускания фильтра, то получим

$$\varepsilon T_{1} = \frac{1}{k_{2} \tau_{0K}} \left[ \frac{U_{\text{BMX 1}} \pi}{S_{\text{H}} k_{1} S_{\text{BX}} \omega_{1} \tau_{\pi} \varphi_{3} S} + \varepsilon_{\text{M}} \int_{0}^{\infty} r(\lambda, T_{\text{M}}) \tau_{\varphi, \lambda} d\lambda - \right. \\
\left. - \varepsilon_{0K} \int_{0}^{\infty} r(\lambda, T_{0K}) \tau_{\varphi, \lambda} d\lambda + \varphi_{\text{M}} \varepsilon_{\pi} \int_{0}^{\infty} r(\lambda, T_{\pi}) \tau_{\varphi, \lambda} d\lambda \right], \qquad (12)$$

$$\varepsilon T_{2} = \frac{1}{k_{2} \tau_{0K}} \left[ \frac{U_{\text{BMX 2}} \pi}{S_{\text{H}} k_{1} S_{\text{BX}} \omega_{1} \tau_{\pi} \varphi_{3} S} + \varepsilon_{\text{M}} \int_{0}^{\infty} r(\lambda, T_{\text{M}}) \tau_{\varphi, \lambda} d\lambda - \right. \\
\left. - \varepsilon_{0K} \int_{0}^{\infty} r(\lambda, T_{0K}) \tau_{\varphi, \lambda} d\lambda + \varphi_{\text{M}} \varepsilon_{\pi} \int_{0}^{\infty} r(\lambda, T_{\pi}) \tau_{\varphi, \lambda} d\lambda \right]. \qquad (13)$$

Следовательно, учитывая соотношения (11)—(13), температуру исследуемой среды можно определять по формуле

$$T_{c} = \frac{U_{\text{BMX}} - U_{\text{BMX}2}}{U_{\text{BMX}1} - U_{\text{BMX}2}} (T_{1} - T_{2}) \varepsilon + \varepsilon T_{2}. \tag{14}$$

При выводе формулы (14) было сделано допущение, что за время измерения и калибровки температуры  $T_{\rm M}$ ,  $T_{\rm OK}$  и  $T_{\rm R}$  остаются постоянными.

Погрешности измерения температуры. Абсолютная систематическая погрешность в определении температуры радиометром  $Sr_c$  определяется, согласно выражению (14), следующим образом:

$$S_{T_{c}} = \frac{\partial T_{c}}{\partial U_{\text{Bbix}}} S_{U_{\text{Bbix}}} + \frac{\partial T_{c}}{\partial U_{\text{Bbix}}} S_{U_{1 \text{Bbix}}} + \frac{\partial T_{c}}{\partial U_{\text{Bbix}}} S_{U_{\text{Bbix}}} + \frac{\partial T_{c}}{\partial U_{\text{Bbix}}} S_{U_{\text{Bbix}}} + \frac{\partial T_{c}}{\partial T_{1}} S_{T_{1}} + \frac{\partial T_{c}}{\partial T_{2}} S_{T_{2}} + \frac{\partial T_{c}}{\partial \varepsilon} S_{\varepsilon}.$$

$$(15)$$

Можно допустить, что абсолютные величины систематических погрешностей при определении выходных напряжений  $U_{\text{вых}}$ ,  $U_{\text{вых}}$ , равны между собой, т. е.  $S_{U_{\text{вых}}} = S_{U_{\text{вых}}} = S_{U_{\text{вых}}}$ . Также равны и систематические погрешности в определении температуры черного тела, т. е.  $S_{T_1} = S_{T_2} = S_T$ . Отсюда

$$S_{T_{c}} = S_{T} \varepsilon + \frac{T_{c}}{\varepsilon} S_{\varepsilon}, \tag{16}$$

де  $S_{\varepsilon}$  — систематическая погрешность в определении излучательной способности черного тела. Аналогично определяется

$$\sigma_{T_{c}} = \sqrt{\frac{\left(\frac{\partial T_{c}}{\partial U_{\text{BMX}}}\right)^{2} \sigma_{U_{\text{BMX}}}^{2} + \left(\frac{\partial T_{c}}{\partial U_{\text{BMX}}}\right)^{2} \sigma_{U_{\text{BMX}}1}^{2} + \left(\frac{\partial T_{c}}{\partial U_{\text{BMX}}}\right)^{2} \sigma_{U_{\text{BMX}}2}^{2} + } \xrightarrow{+ \left(\frac{\partial T_{c}}{\partial T_{1}}\right)^{2} \sigma_{T_{1}}^{2} + \left(\frac{\partial T_{c}}{\partial T_{2}}\right)^{2} \sigma_{T_{2}}^{2} + \left(\frac{\partial T_{c}}{\partial \varepsilon}\right)^{2} \sigma_{\varepsilon}^{2}}.$$

$$(17)$$

Полагая, что  $\sigma_{U_{\text{вых 1}}} = \sigma_{U_{\text{вых 2}}} = \sigma_{U_{\text{вых}}} = \sigma_{U}, \quad \sigma_{T_{1}} = \sigma_{T_{3}} = \sigma_{T}, \quad \sigma_{\varepsilon} = 0,$  получаем

$$\sigma_{T_{c}} = \sqrt{\frac{\sigma_{U}^{2} \varepsilon^{2} (T_{1} - T_{2})^{2}}{(U_{\text{BMX }1} - U_{\text{BMX }2})^{4}} \left[ (U_{\text{BMX }} - U_{\text{BMX }2})^{2} + (U_{\text{BMX }} - U_{\text{BMX }1})^{2} + \right.} \\ + \left. + (U_{\text{BMX }1} - U_{\text{BMX }2})^{2} \right] + \sigma_{T}^{2} \varepsilon^{2} \frac{(U_{\text{BMX }} - U_{\text{BMX }2})^{2} + (U_{\text{BMX }} - U_{\text{BMX }1})^{2}}{(U_{\text{BMX }1} - U_{\text{BMX }2})^{2}}, \quad (18)$$

где  $\sigma_i$  — абсолютная средняя квадратическая случайная погрешность определения i-го параметра. С помощью выражений (16)

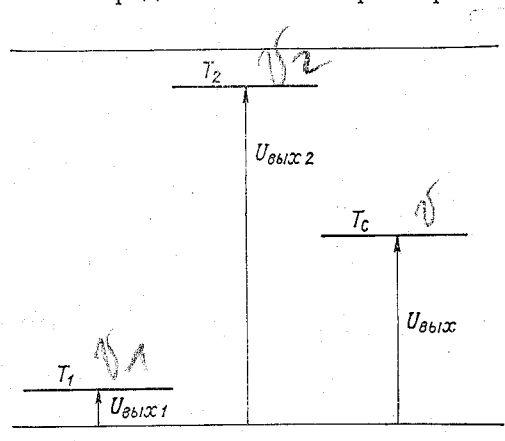


Рис. 4. Схема регистрации результатов измерений.

и (18) можно оцениты погрешность измерения температуры. Выходной сигнал радиометра запи сывается на ленте само писна. Условная схема регистрации представлена на рис. 4. Уровни напря жения  $U_{\text{вых 1}}$ и  $U_{\text{вых 2}}$  со ответствуют выходному сигналу прибора при из мерении температуры ка либровочных излучате лей  $(T_1 \, \text{и} \, T_2)$ . Уровень  $U_{\text{вых}}$  соответствует изме ряемой температуре  $T_{\rm c}$ Для численной оценки ве личин погрешностей призначения паранимаем метров, входящих в фор-

мулы (16) и (18), равными:  $U_{\text{вых 1}} - U_{\text{вых 2}} = 100 \text{ мм}, \ U_{\text{вых 2}} = \frac{100 \text{ мм}}{2000}, \ U_{\text{вых 2}} = \frac{100 \text{ mm}}{2000}, 

Принятые значения соответствуют реальным значениям параметров радиометра и калибровочных излучателей. В этом случае получаем

$$|S_{T_c}| \le 1.5 \,^{\circ}\text{C}, \quad \sigma_{T_c} = 0.07 \,^{\circ}\text{C}.$$

Основной вклад в систематическую погрешность вносит погрешность, связанная с неточностью определения излучательной способности калибровочных излучателей.

Дополнительные погрешности появляются при отклонении условий эксплуатации от нормальных. Важнейшей из них является температурная погрешность. Она возникает вследствие изменения параметров прибора под влиянием температуры. При изменении температуры меняются величины интегралов:  $\epsilon_{\rm M} \int\limits_{-\infty}^{\infty} r(\lambda,\ T_{\rm M})$ 

$$\tau_{\Phi, \lambda} d\lambda, Y_{M} \epsilon_{\Pi} \int_{0}^{\infty} r(\lambda, T_{\Pi}) \tau_{\Phi, \lambda} d\lambda, \epsilon_{OK} \int_{0}^{\infty} r(\lambda, T_{OK}) \tau_{\Phi, \lambda} d\lambda.$$

В результате вычисленная по формуле (14) температура будет отличаться от истинной. Полагая, что температурный градиент внутри полости прибора мал, т. е.  $T_{\rm M} \approx T_{\rm n} \approx T_{\rm OK}$ , и поскольку  $\phi < 0.05$ , а  $\epsilon_{\rm OK} < 0.06$ , получаем:

$$\varepsilon_{\rm M} \int_{0}^{\infty} r(\lambda, T_{\rm M}) \tau_{\rm \phi, \lambda} d\lambda \gg \varphi_{\rm M} \varepsilon_{\rm \Pi} \int_{0}^{\infty} r(\lambda, T_{\rm \Pi}) \tau_{\rm \phi, \lambda} d\lambda, \tag{19}$$

$$\varepsilon_{\rm M} \int_{0}^{\infty} r(\lambda, T_{\rm M}) \, \tau_{\Phi, \lambda} \, d\lambda \gg \varepsilon_{\rm ok} \int_{0}^{\infty} r(\lambda, T_{\rm ok}) \, \tau_{\Phi, \lambda} \, d\lambda. \tag{20}$$

Учитывая, что радиометр пассивно термостатирован, и, полагая, что за время градуировки температура внутри полости при-

тк	К										
T <sub>M</sub> K	220	240	260	270	280	290	300				
270	5,65	2,58	1,37	1	0,69	0,59	0,47				
280	8,10	3,73	1,98	1,45	1	0,86	0,68				
290	9,47	4,33	2,30	1,67	1,16	1	0,79				
300	11,90	5,44	2,89	2,11	1,45	1,26	1				

бора остается постоянной, а ее изменение за время измерения не превышает 10°C, можно полагать, что интеграл

$$\varepsilon_{\rm M} \int_{0}^{\infty} r(\lambda, T_{\rm M}) \tau_{\Phi, \lambda} d\lambda = \varepsilon_{\rm M} k_{4} T_{\rm MOJ}, \tag{21}$$

а погрешность за счет изменения температур модулятора равна: (T', T')

$$S_{T_{M}} = k_{5}(T'_{M} - T_{M}),$$
 (22)

где  $T_{\rm M}^{'}$  — температура модулятора через некоторый промежуток времени после градуировки. При этом

$$k_5 = \varepsilon_{\rm M} \frac{k_4}{k_2} = \frac{A(T_{\rm M})}{T_{\rm M}} \frac{T_{\rm C}}{A(T_{\rm C})}.$$
 (23)

Вычисленные значения коэффициента  $k_5$  для различных тем-

ператур  $T_c$  и  $T_{\rm M}$  приведены в табл. 1.

При неблагоприятных условиях измерений — высокой температуре модулятора и низкой температуре исследуемой среды — погрешность за счет изменения температуры модулятора может оказаться весьма существенной. Для исключения этой погрешности необходимо либо термостатировать прибор, обеспечивая высокую стабильность температуры (активное термостатирование), либо применять пассивное термостатирование и измерять величину  $S_{T_{\rm M}}$  или часто проводить градуировку радиометра.

Схема прибора выполнена таким образом, что наряду с пассивным термостатированием осуществляется измерение  $T_{\rm M}$ . Значение коэффициента  $k_{\rm 5}$  определяется по дополнительной градуировке по калибровочному излучателю с температурой  $T_{\rm 4}$ :

$$\epsilon T_4 = \frac{U_{\text{BMX }4} - U_{\text{BMX }2}}{U_{\text{BMX }1} - U_{\text{BMX }2}} (T_1 - T_2) \epsilon + \epsilon T_2 + k_5 (T_{\text{M}}' - T_{\text{M}}), \quad (24)$$

отсюда

$$k_5 = \frac{\varepsilon}{T_{\rm M}' - T_{\rm M}} \left[ T_4 - \frac{U_{\rm BbIX \, 4} - U_{\rm BbIX \, 2}}{U_{\rm BbIX \, 1} - U_{\rm BbIX \, 2}} (T_1 - T_2) + T_2 \right]. \tag{25}$$

Результат измерения температуры может быть представлен следующим образом:

$$T_{e} = \frac{U_{\text{BbIx}} - U_{\text{BbIx} 2}}{U_{\text{BbIx} 1} - U_{\text{BbIx} 2}} (T_{1} - T_{2}) \varepsilon + \varepsilon T_{2} - S_{T} \varepsilon - \frac{T_{c}}{\varepsilon} S_{\varepsilon} - k_{5} (T'_{\text{M}} - T_{\text{M}}) + Z \sigma_{Tc},$$

$$(26)$$

где Z—коэффициент, определяющий доверительный интервал при заданной вероятности определения.

Определение температурных пульсаций. В физике облаков зачастую наиболее важным параметром является не абсолютное значение измеряемой температуры, а отклонения температуры от некоторого среднего уровня (температурные пульсации).

Чувствительность ИК радиометра к изменениям температуры

может быть представлена в следующем виде:

$$I = \frac{dU_{\text{BMX}}}{dT_{\text{c}}} = \frac{U_{\text{BMX 1}} - U_{\text{BMX 2}}}{(T_{1} - T_{2}) \cdot \varepsilon}.$$
 (27)

Систематическая погрешность в определении чувствительности определяется формулой

$$S_{I} = \frac{\partial I}{\partial U_{\text{BblX 1}}} S_{U_{\text{BblX 1}}} + \frac{\partial I}{\partial U_{\text{BblX 2}}} S_{U_{\text{BblX 2}}} +$$

$$+ \frac{\partial I}{\partial T_{1}} S_{T_{1}} + \frac{\partial I}{\partial T_{2}} S_{T_{2}} + \frac{\partial I}{\partial \varepsilon} S_{\varepsilon}.$$
(28)

Полагая, что  $S_{U_{\text{вых }2}} = S_{U_{\text{вых }2}} = S_{U_{\text{вых }2}}$  и  $S_{T_1} = S_{T_2} = S_T$ , получаем

$$S_I = -\frac{U_{\text{BMX 1}} - U_{\text{BMX 2}}}{(T_1 - T_2)\varepsilon^2} S_{\varepsilon}.$$
 (29)

Случайная средняя квадратическая погрешность при измерении чувствительности находится из соотношения

$$\sigma_{I} = \sqrt{\left(\frac{\partial I}{\partial U_{\text{BMX 1}}}\right)^{2} \sigma_{U_{\text{BMX 1}}}^{2} + \left(\frac{\partial I}{\partial U_{\text{BMX 2}}}\right)^{2} \sigma_{U_{\text{BMX 2}}}^{2} + \left(\frac{\partial I}{\partial T_{1}}\right)^{2} \sigma_{T_{1}}^{2} + \left(\frac{\partial I}{\partial T_{2}}\right) \sigma_{T_{2}}^{2} + \left(\frac{\partial I}{\partial \varepsilon}\right)^{2} \sigma_{\varepsilon}^{2}.$$
(30)

Принимаем  $\sigma_{U_{\text{вых 1}}} = \sigma_{U_{\text{вых 2}}} = \sigma_{U}, \sigma_{T_1} = \sigma_{T_2} \sigma_{T}, \sigma_{\varepsilon} = 0,$ 

$$\sigma_{I} = \sqrt{\sigma_{U}^{2} \frac{2}{(T_{1} - T_{2})^{2}} + \sigma_{T}^{2} \frac{2(U_{\text{Bbix } 1} - U_{\text{Bbix } 2})^{2}}{(T_{1} - T_{2})^{4}}}.$$
(31)

Численная оценка величин погрешностей составляет  $\sigma_{I} = 0.3$  мм/К и  $|S_{I}| \leq 0.05$  мм/К.

Таким образом, возможно обеспечить высокую точность при измерении температурных пульсаций.

В заключение следует отметить:

1) в описанном радиометре зависимость выходного напряжения от измеряемой температуры может быть представлена в виде линейной функции при небольших изменениях измеряемой температуры (в пределах  $\pm 5$  °C);

2) систематическая погрешность определения температуры радиометром зависит в основном от погрешности в определении

излучательной способности черных тел;

3) при измерениях температуры необходимо контролировать температуру модулятора, поскольку ее изменения при неблагоприятных условиях оказывают более существенное влияние на выходной сигнал, чем изменения самой измеряемой температуры;

4) наиболее целесообразно использовать радиометр при измерениях температурных пульсаций, так как в этом случае прибор обеспечивает большую точность по сравнению с измерением абсолютных температур.

#### СПИСОК ЛИТЕРАТУРЫ

1. Брамсон М. А. Справочные таблицы по инфракрасному излучению нагретых тел. — М.: Наука, 1964, с. 86—193. 2. Калиновский А. В., Пинус Н. З. Аэрология. — Л.: Гидрометеоиздат,

1961, c. 115—130.

3. Черненко А. П. Общий анализ оптико-электронного радиометра для дистанционного измерения параметров подстилающей поверхности. — Труды ГГО, 1973, вып. 317, с. 96—104.

# К ВОПРОСУ О РАСПРЕДЕЛЕНИИ ТЕМПЕРАТУРЫ В МОЩНЫХ КУЧЕВЫХ ОБЛАКАХ, ПЕРЕХОДЯЩИХ В КУЧЕВО-ДОЖДЕВЫЕ

К настоящему времени в литературе приведено мало сведений о распределении температуры воздуха вблизи Сb и особенно внутри них. Это связано с опасностью захода самолетов в Сb, а также с трудностями интерпретации данных измерений из-за смачивания или обледенения термоприемников [1, 4, 6].

Установлено, что внутри облака в стадии его роста преобладают восходящие потоки, в которых температура выше, чем в окружающем воздухе. В стадии диссипации преобладают нисходящие течения, усиливаются процессы испарения, что приво-

дит к понижению температуры внутри облака [2, 5].

В настоящей статье проанализированы результаты детальных измерений температуры в конвективном облаке и его окрестности 24 сентября 1978 г., полученные с помощью ИК радиометра, работающего в полосе поглощения водяного пара 6,3 мкм, и установленного на борту самолета Ил-14. Погрешность измерения температуры составляет примерно 0,1°С, постоянная времени прибора равна 0,5 с. Анализ работы ИК радиометра приведен в статье [3]. 33

Методика исследований и результаты наблюдений. 24 сентября 1978 г. полет проходил в районе г. Сланцы Ленинградской области. Погода в этот день была обусловлена малоградиентным полем пониженного давления. В период полета отмечен переход исследуемого облака из стадии Си cong в Сb. Самолетом было совершено в общей сложности 26 проходов над облаком, внутри него и под ним.

Данные исследований приведены в табл. 1, где указаны характеристики проходов, а также средняя разница температур между облаком и окружающей средой на соответствующем уровне ( $\Delta T$ ), максимальное положительное ( $T^+$ ) и отрицательное ( $T^-$ ) значения температуры воздуха на уровне полета относительно средней температуры на данной высоте.

На рис. 1 приведены высотно-временной график полета и высотный ход температуры, построенные по данным аэрологическо-

го зондирования.

В момент начала наблюдений (10 ч 5 мин) нижняя граница Cu cong находилась на высоте 500 м над ур. м. (температура 0,5°C) и верхняя— на высоте 2250 м (температура —12,1°C). Был отмечен рост облака и зафиксирована глория на верхней его границе, что свидетельствует о капельном строении облака.

С 10 ч 45 мин до 11 ч 25 мин были совершены проходы над

облаком и через верхнюю его треть (проходы 1-6).

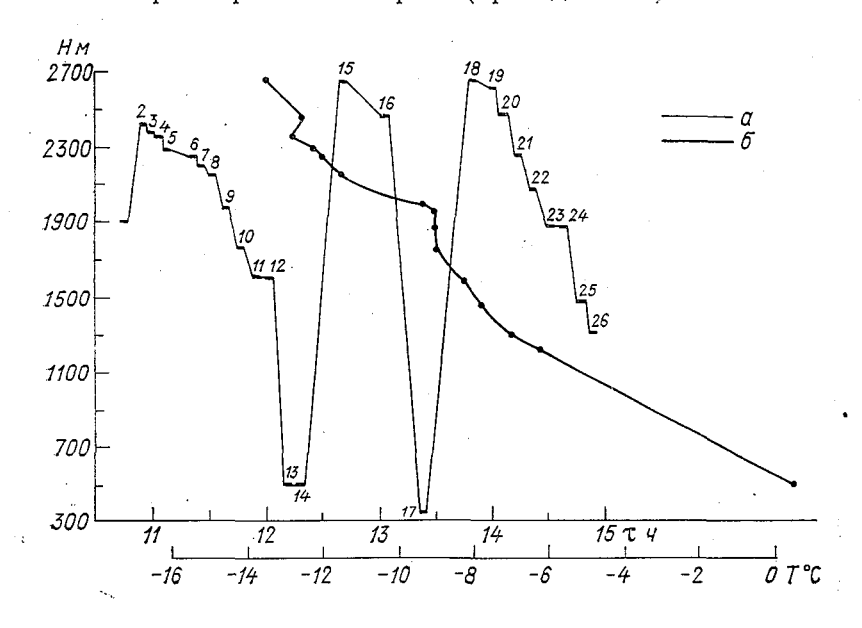


Рис. 1. Схема полета 24 сентября 1978 г. a-высотно-временной график полета (цифрами указаны номера проходов), b-высотный ход температуры.

Во время 4-го прохода (11 ч 05 мин) отмечено небольшое оседание вершины (на 50—75 м), но уже к проходу 6 (11 ч

19 мин) облако снова выросло.

В 11 ч 25 мин в предвершинной части облака с помощью заборника кристаллов зафиксировано появление кристаллической фазы. Наблюдалось растекание вершины. В это время температура облака при проходе через его вершину (проход 7) оказалось выше температуры окружающего воздуха в среднем на 1,1°C (максимальное превышение составило 1,6°C).

В 11 ч 38 мин (проход 9) из общего основания облака отмечен рост новой вершины. Самолет пересек основное облако в верхней трети, а растущую часть — в ее вершине. Температура

Данные наблюдений 24 сентября 1978 г.

Примечание	Проход через верхнюю часть облака. На верхней границе глория	Проход над облаком. Облако в стадии развития	Проход над облаком. Облако без изме- нений	Проход над облаком. Верхняя граница оседает	Проход по верхней границе. Облако несколько выросло	Проход через вершину, отмечено появление кристаллической фазы	Проход через предвершинную часть. Подтверждено наличие кристалличе- ской фазы	Проход через облако. Из общего основания растет новая вершина
O∘ - -1   O∘ -1	1,5	9,0	0,4	0,4	punet.	1,6	1,5	2,1
		1 .	1			1		1 .
ΔT °C	6'0	0,5	6,0	0,1	0,5	1,1	0,1	8,0
T на уров- Максималь- не подета, ная вод- оС ность, г/м³		1	ĺ	1	1	1	1,30	0,39
Т на уров- не подета,	-9,1	-12,5	-12,8	-12,2	-12,0	-11,7	-11,5	0,6—
Высота, м	2230	2270	2270	2200	2250	2250		[
Baco	200	1	1	. 1	[	. [ .	1	1
Курс, граду-	150	330	155	140	140	320	140	320
Высота полета, м	1900	2430	2380	2350	2250	2200	2150	1970
Время начала прохода, ч мин	10 45	10 55	10 59	11 05	11 19	11 25	11 31	11 38
Проход	-	2	ო.	4	9	7	<b>∞</b>	6

двухвершинным. 2-я вершина достиг- ла уровня ВГ 1-й вершины	Проход через облако	Проход по нижней границе. Из облака выпадает слабый снег	Проход над облаком. На верхней границе вросматривается ложное солнце	Проход над облаком	Полет над грядой облаков	Полет над грядой облаков	Проход через гряду. Все облака имеют кристаллическую фазу	Проход через гряду. Гряда ие сплошняя. Местамн видна земля.	Проход через среднюю часть гряды	Проход по нижней границе. Облака разрушаются, идет слабый снег	Проход под нижней границей облаков. Роста новых вершин не наблюдается
}	9'0	0	0,2	2,0	0,3	0	1,7	1,1	6,0	0,5	0,4
	1	0,4	0,2	0,2	0,5	0,5	0,1	0,2	0,2	6,0	0,2
	0,2	-0,5	0	6,0	-0,1	-0,3	-	6,0	0	0	0
	0,34	Ī	1	1	1	1	0,38	1,60	0,38	1	1
210	8,1	0,5	13,5	-13,0	-13,5	-13,7	-12,8	-10,8	8'6—	-7,8	-7,0
	1	1	2100	1	2700	2700	l	1	.	ļ	
		200	. !	089	4	l	1	I	Ī	1470	
>	130	130	330	140	140	330	140	130	130	330	30
	1600	200	2750	2470	2750	2700	2470	2070	1870	1470	1300
:	12 01	12 18	12 40	13 03	13 48	13 59	14 05	14 20	14 37	14 45	14 51
>	12	14	15	91	18	19	20	22	24	25	26

растущей части в среднем равна температуре основного облак на уровне прохода, однако здесь было зафиксировано мальное для всех проходов превышение температуры

тельно окружающего воздуха, равное 2,1°C.

В 12 ч 18 мин осуществлен спуск под нижнюю границу. От мечено выпадение снега. В 12 ч 34 мин самолет вновь поднялс на верхнюю границу, где отчетливо просматривалось «нижне «солнце». В 13 ч 23 мин вновь произведен спуск под нижнюю гра ницу облака. Выпадение снега продолжалось. Нижняя границ поднялась почти на 200 м, что, видимо, связано с вымывание облака осадками.

В 13 ч 48 мин после 3-го подъема в районе исследуемого С зафиксировано образование в его окрестности группы облакоф слившихся в одну гряду. Верхняя граница находилась на высот 2470 м. При всех последующих пересечениях отмечено наличи кристаллической фазы в облаках. Нижняя граница продолжал подниматься вследствие вымывания облака и в 14 ч 45 мин на ходилась уже на высоте 1470 м. В это время происходил интен

сивный распад облаков.

Анализ результатов измерений. Анализ данных, помещенны в таблице, показывает, что во время проходов над верхней гра ницей облака (на расстоянии до 300 м)  $\Delta T > 0$ , пр этом средни перегрев оказался наибольшим (0,5°C) на проходе 2, когда отме чался подъем вершины. В момент оседания вершины средни перегрев (проход 4) стал наименьшим (+0,1°C). Во время пре ходов над интенсивно разрушающейся грядой облаков (проход 18 и 19))  $\Delta T < 0$ , что связано с большими потерями тепла на иф парение.

При исследовании верхней трети облака оказалось, что пере грев здесь достигает наибольшего значения по сравнению с оф тальными частями облака. Максимальное значение  $\Delta T = 1.1^{\circ}$ было зафиксировано при проходе 7 через предвершинную част облака. Наличие такого сильного перегрева связано с интенсиф ными фазовыми переходами в верхней части облака. В это врем было отмечено начало кристаллизации вершины, но не наблюда лось изменения уровня верхней границы облака, что указывае на отсутствие восходящих движений.

Как отмечалось выше, в районе бурно растущей вершины бы ло зафиксировано экстремальное для всех проходов превышени температуры относительно окружающего воздуха, равное 2,1°

(проход 9).

В средней части облака перегрев  $\Delta T$  близок к 0. Под облако и на нижней границе он также близок к 0, причем во время 14-г прохода он даже принимал отрицательное значение. Причино нулевого или отрицательного значения  $\Delta T$  является преобладани процессов испарения над процессами конденсации, что характерн для стадии диссипации.

Следует отметить, что на мезомасштабные возмущения темпе ратуры накладываются локальные возмущения, причем горизон

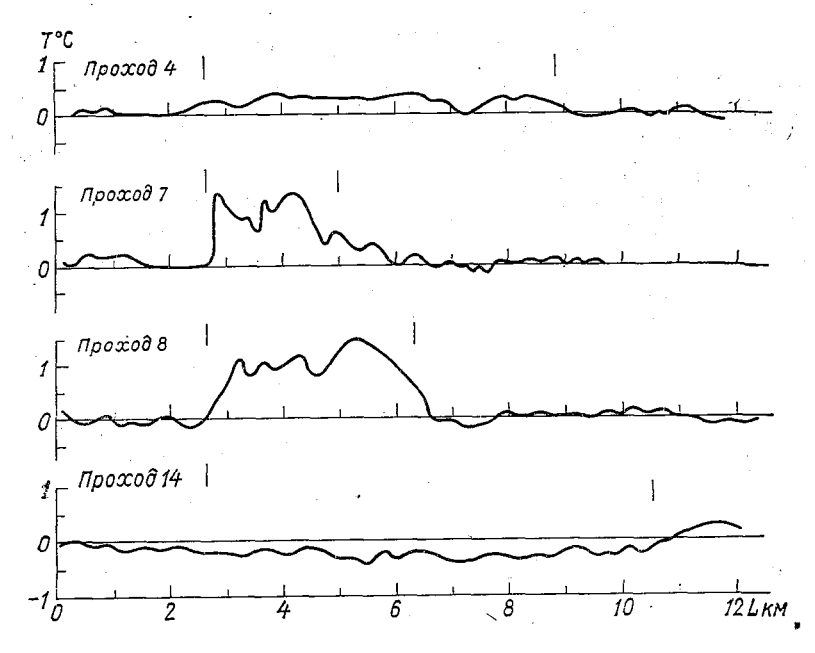


Рис. 2. Распределение температуры, зарегистрированное во время проходов 4, 7, 8 и 14.

Вертикальные штрихи—визуальные границы облака.

альный градиент температуры может быть довольно высоким. ак, во время 9-го прохода отмечено изменение температуры облаке, равное 1,9°C на расстоянии 500 м.

На рис. 2 в качестве примера приведено распределение темпезатуры над облаком, в облаке и под облаком для разных стадий го жизни.

В заключение можно сделать следующие выводы:

1) наиболее сильные отклонения температуры облака от окру-

кающего воздуха отмечены для верхней трети его;

2) максимальное значение возмущения температуры было зарегистрировано в растущей части облака и составило 2,1°С, максимальный средний перегрев, равный 1,1°С, зафиксирован в предвершинной части облака, где начался процесс кристалливации;

3) в период роста облака, над ним (на расстоянии до 300 м) заблюдалась «теплая» зона с максимальным средним перегревом, завным 0,5°C;

4) средняя и нижняя части Сb были исследованы в период зрелой стадии и стадии диссипации, при этом возмущения темпе-

ратуры оказались близкими к нулю;

5) в приведенных результатах измерений температуры отсутствуют погрешности, связанные с обледенением или смачиванием гермоприемников в облаке.

### СПИСОК ЛИТЕРАТУРЫ

1. Зайцев В. А., Ледохович А. А. Приборы для исследования туман и облаков и измерения влажности. — Л.: Гидрометеоиздат, 1970, с. 7—2. Зайцев В. А., Ледохович А. А., Сокольский Б. П. Некоторые р

зультаты экспериментального исследования кучевых облаков. — Труды ГП 1967, вып. 202, с. 86—94.

3. Синькевич А. А. К анализу работы ИК радиометра при измерении те пературы воздуха в свободной атмосфере и в облаках. — См. наст. сбо

И метер С. М. Структура полей метеорологических элементов в зо кучево-дождевых облаков. — Труды ЦАО, 1969, вып. 88, с. 24—30.
 В yers Н. R., Braham R. R. Thunderstorm structure and dynamics. — I

Thunderstorm Electricity, Chicago, 1953, p. 46-65.

6. We at her and climate modification/Ed. W. H. Hess.—New York, p. 145—149.

# ОБЛАЧНЫЕ РЕСУРСЫ ДЛЯ ИСКУССТВЕННЫХ ВОЗДЕЙСТВИЙ В ЛЕСНОЙ ЗОНЕ УРАЛА

Настоящая работа является продолжением исследований тергориального и временного распределения облачных ресурсов пожароопасный сезон в лесной зоне СССР, выполнявшихся ечение ряда лет в отделе физики облаков и активных воздейний ГГО [1—5]. Методика определения облачных ресурсов из-

жена в работах [3, 4, 5].

В настоящей работе по данным 8-срочных наблюдений M-1) 70 станций за период 1966—1975 гг. рассмотрено число ей с Сb в месяцы пожароопасного сезона (май — сентябрь), их вторяемость в различные часы суток, а также число дней с Сb и пожароопасности III—V классов (при крупных лесных пожак) в лесной зоне Урала. Число дней с Сb учитывается как отньно за светлое время суток, так и в целом за сутки. На основии данных о среднем числе дней с Сb за пожароопасный сепостроена карта облачных ресурсов. Пожароопасность опрерялась по методике, описанной в [1, 4, 5].

1. Некоторые физико-географические особенности района. На риториальное распределение облачных ресурсов большое влия- оказывают физико-географические условия района. На Урале особенно разнообразны и сложны. Здесь четко выражена замность распределения Сb от формы рельефа и экспозиции

онов по отношению к влагонесущим потокам.

Уральские горы простираются с севера на юг на 2800 км от полярья до широтного течения реки Урала [6]. Западный склон альских гор полого спускается к Восточно-Европейской равни-Восточный склон более крутой, местами уступом обрывается

ападно-Сибирской равнине.

Леса распространены на Урале не повсеместно, а лишь в опрененных его зонах. На Северном Урале, имеющем наибольшие соты (1600—1800 м), леса встречаются на склонах гор лишь до соты 600—800 м. Значительная часть территории Северного ала располагается выше 800 м.

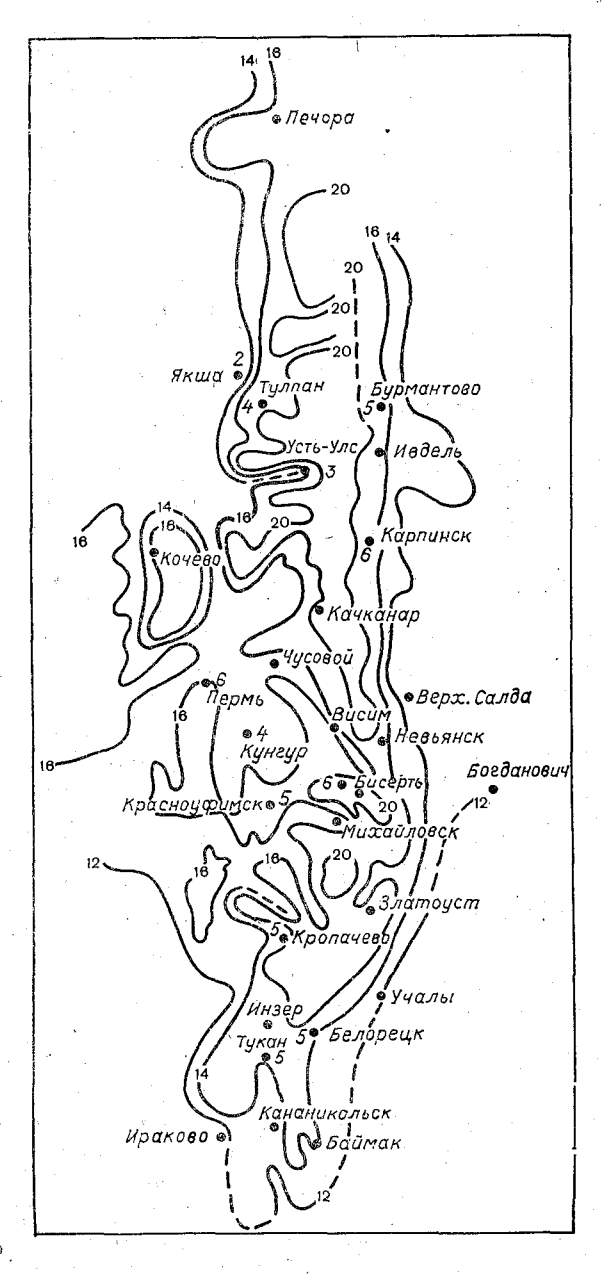


Рис. 1. Среднее месячное число дней с Cb за пожароопасный сезон.

На Северном Ура имеющем наибольи высоты (1600—1800 леса встречаются склонах гор лишь высоты 600—800 Значительная ча территории Северн Урала располагае выше 800 м.

Среднем У Ha ле леса встречаются 800-900 высоты При этом следует метить, что на при Восточногаюшей ропейской равнине са доходят лишь широты Свердлов (57° с. ш.), южнее чинается лесосте Средний Урал харак ризуется сравнител небольшими высота (<1000 m)И зна тельным разнообра ем форм рельефа, сильно влияет на р пределение конвект ных облаков. Особе большой пересеч ностью отличается падный склон с ши кими эрозионными линами. имеюши террасы, а также к стовыми форма рельефа.

Южный Урал стоит из несколь хребтов с высотами 1600 м. Леса зл произрастают в зоне 600 до 1200 м. Ни 600 м — лесостепь, ше 1200 м — лесолу вой пояс, переходяп в тундру.

2. Территориальное и временное распределение облачных реурсов. Число дней с облачными ресурсами за пожароопасный эзон наибольшее на Северном и Среднем Урале. Оно заметноменьшается к югу. Меньше оно и на восточных склонах по сравению с западными на той же широте (рис. 1).

Так, среднее число дней с Сb за светлое время пожароопасносезона на Северном Урале на западных наветренных склонах вершинах (Тулпан) достигает 20—21 дня. На восточных наветэнных склонах на той же широте (Бурмантово) оно меньше— 7 дней. В глубоких долинах рек число дней с Сb меньше даже а лежащих выше станциях, чем на станциях склонов и вершин. Іапример, в Усть-Улсе, находящемся на 58 м выше Ныроба, оно оставляет только 15 дней.

На Среднем Урале число дней с облачными ресурсами наблюается в тех же пределах, что и на Северном. Но в связи с больим разнообразием форм рельефа распределение облачности на лизко расположенных станциях может сильно различаться. Наример, на станциях Невьянск, Бисерть, расположенных на плокогорье в наиболее высокой восточной части гор, число дней с СЬ оставляет соответственно 18, 21 и 22. Тогда как на близко лежацих от них станциях Висим и Михайловск, находящихся в глубоих речных долинах, число дней с облачными ресурсами составяет соответственно 7 и 9. При этом Висим располагается на 37 м ыше, чем Невьянск. На Среднем Урале, как и на Северном, заетно уменьшение числа дней с Сb на восточных склонах по равнению с западными на той же широте. Так, оно составляет 8 в Перми и Красноуфимске, 12 в Верхней Салде и 15 в Свердовске, расположенном на 66 м выше. В западной части гор поиженным числом дней (13) с Cb отличается сравнительно больтая котловина в районе ст. Кунгур.

На Южном Урале число дней с облачными ресурсами меньше, ем на Северном и Среднем Урале (5—16). Здесь сравнительно галая относительная влажность воздуха и высоко лежащий уроень конденсации приводят к уменьшению числа дней с Сb. На Эжном Урале четко выражено вертикальное расположение зон астительности. Метеорологические станции расположены на выотах до 564 м, поэтому часть их находится у нижней границы

есной зоны и часть — в лесостепи.

В центре северной части Южного Урала на склонах и невыоких вершинах гор число дней с облачными ресурсами составлят 16—17 (Кропачево, Златоуст), к югу оно уменьшается до 14 Белорецк, Тукан, Баймак), а затем еще южнее и восточнее о 11—12 (Мраково, Учалы) и далее к подножию западного склоа—до 10.

Но в глубоких речных долинах Южного Урала число дней Сb резко снижается и составляет 5—9 (Инзер — 5, Кананиольск — 8, Зилаир — 9 дней).

Для пунктов, находящихся в подобных условиях местоположеия, характерным является то, что число дней с Cb в них мало

аблица

Число дней с облачными ресурсами и их изменчивость  $\mathfrak c$  и  $C_{\mathfrak o}$  за пожароопасный сезон

Станция         V         VI         VII         IX         ср.         N         VII         VII <th></th> <th></th> <th></th> <th></th> <th></th> <th></th> <th></th> <th></th> <th></th> <th></th> <th></th> <th></th> <th></th> <th></th> <th></th> <th></th> <th></th>																	
THE TRANSPORT OF THE LANGE OF Co. 15. No. 1. N. 1. N. 1. N. 1. N. 1. N. 1. N. 1. N. 1. N. 1. N. 1. N. 1. N. 1. N. 1. N. 1. N. 1. N. 1. N. 1. N. 1. N. 1. N. 1. N. 1. N. 1. N. 1. N. 1. N. 1. N. 1. N. 1. N. 1. N. 1. N. 1. N. 1. N. 1. N. 1. N. 1. N. 1. N. 1. N. 1. N. 1. N. 1. N. 1. N. 1. N. 1. N. 1. N. 1. N. 1. N. 1. N. 1. N. 1. N. 1. N. 1. N. 1. N. 1. N. 1. N. 1. N. 1. N. 1. N. 1. N. 1. N. 1. N. 1. N. 1. N. 1. N. 1. N. 1. N. 1. N. 1. N. 1. N. 1. N. 1. N. 1. N. 1. N. 1. N. 1. N. 1. N. 1. N. 1. N. 1. N. 1. N. 1. N. 1. N. 1. N. 1. N. 1. N. 1. N. 1. N. 1. N. 1. N. 1. N. 1. N. 1. N. 1. N. 1. N. 1. N. 1. N. 1. N. 1. N. 1. N. 1. N. 1. N. 1. N. 1. N. 1. N. 1. N. 1. N. 1. N. 1. N. 1. N. 1. N. 1. N. 1. N. 1. N. 1. N. 1. N. 1. N. 1. N. 1. N. 1. N. 1. N. 1. N. 1. N. 1. N. 1. N. 1. N. 1. N. 1. N. 1. N. 1. N. 1. N. 1. N. 1. N. 1. N. 1. N. 1. N. 1. N. 1. N. 1. N. 1. N. 1. N. 1. N. 1. N. 1. N. 1. N. 1. N. 1. N. 1. N. 1. N. 1. N. 1. N. 1. N. 1. N. 1. N. 1. N. 1. N. 1. N. 1. N. 1. N. 1. N. 1. N. 1. N. 1. N. 1. N. 1. N. 1. N. 1. N. 1. N. 1. N. 1. N. 1. N. 1. N. 1. N. 1. N. 1. N. 1. N. 1. N. 1. N. 1. N. 1. N. 1. N. 1. N. 1. N. 1. N. 1. N. 1. N. 1. N. 1. N. 1. N. 1. N. 1. N. 1. N. 1. N. 1. N. 1. N. 1. N. 1. N. 1. N. 1. N. 1. N. 1. N. 1. N. 1. N. 1. N. 1. N. 1. N. 1. N. 1. N. 1. N. 1. N. 1. N. 1. N. 1. N. 1. N. 1. N. 1. N. 1. N. 1. N. 1. N. 1. N. 1. N. 1. N. 1. N. 1. N. 1. N. 1. N. 1. N. 1. N. 1. N. 1. N. 1. N. 1. N. 1. N. 1. N. 1. N. 1. N. 1. N. 1. N. 1. N. 1. N. 1. N. 1. N. 1. N. 1. N. 1. N. 1. N. 1. N. 1. N. 1. N. 1. N. 1. N. 1. N. 1. N. 1. N. 1. N. 1. N. 1. N. 1. N. 1. N. 1. N. 1. N. 1. N. 1. N. 1. N. 1. N. 1. N. 1. N. 1. N. 1. N. 1. N. 1. N. 1. N. 1. N. 1. N. 1. N. 1. N. 1. N. 1. N. 1. N. 1. N. 1. N. 1. N. 1. N. 1. N. 1. N. 1. N. 1. N. 1. N. 1. N. 1. N. 1. N. 1. N. 1. N. 1. N. 1. N. 1. N. 1. N. 1. N. 1. N. 1. N. 1. N. 1. N. 1. N. 1. N. 1. N. 1. N. 1. N. 1. N. 1. N. 1. N. 1. N. 1. N. 1. N. 1. N. 1. N. 1. N. 1. N. 1. N. 1. N. 1. N. 1. N. 1. N. 1. N. 1. N. 1. N. 1. N. 1. N. 1. N. 1. N. 1. N. 1. N. 1. N. 1. N. 1. N. 1. N. 1. N. 1. N.					. H	ень								утки			
ck         18         21         22         20         18         20         2,1         14         17         19         18         16         17         28         17         28         17         19         18         16         17         29         17         19         18         16         17         19         18         16         18         20         21         14         17         19         18         16         18         20         21         19         19         18         16         18         20         21         20         21         20         21         20         21         20         21         20         21         21         20         21         21         20         21         21         20         21         11         18         20         21         21         20         22         24         23         22         24         23         22         22         24         23         22         28         20         20         20         20         20         20         20         20         20         20         20         20         20         20         20         20	Станция	> 1	IV	III	VIII	×I	do	ь		>	VI	VIII	VIII	XI	cb.	макс.	мин.
CK         15         14         15         32         21         14         17         19         18         16         17         19         18         16         17         19         18         16         17         20         20         20         20         17         18         16         18         20         20         20         17         18         19         19         19         20         20         20         20         20         20         19         19         10         20         20         20         20         20         20         20         20         20         20         20         20         20         20         20         20         20         20         20         20         20         20         20         20         20         20         20         20         20         20         20         20         20         20         20         20         20         20         20         20         20         20         20         20         20         20         20         20         20         20         20         20         20         20         20         20         20<		81	21	22	20	181	20	2,1	41	14	17	19	18	16	17	28	01
CK         15         18         16         17         2,8         16         18         20         21         20         21         20         21         20         21         20         21         20         20         20         18         19         19         10         20         20         20         18         19         10         20         20         18         19         10         20         20         10         10         20         20         10         10         20         20         10         10         20         20         20         20         11         18         21         22         21         20         20         20         20         20         20         20         20         20         20         20         20         20         20         20         20         20         20         20         20         20         20         20         20         20         20         20         20         20         20         20         20         20         20         20         20         20         20         20         20         20         20         20         20         20	•	12	15	17	15	14	15	3,2	21	14	17	19	18	16	17	25	വ
CK         16         20         20         20         19         19         10         10         10         10         20         20         11         18         21         22         21         20         20         20         20         11         18         20         22         21         20         20         20         21         1,8         20         22         21         22         21         20         22         21         22         21         22         21         22         22         22         22         22         22         22         22         22         22         24         22         24         22         24         22         22         22         22         22         22         22         22         22         22         22         22         22         22         22         22         22         22         22         22         22         22         22         22         22         22         22         22         22         22         22         22         22         22         22         22         22         22         22         22         22         22         22	30	15	17	19	18	16	17	2,8	16	18	20	217	20	17	19	28	10
CK         16         10         20         20         15         18         2,0         11         18         21         22         21         22         24         23         22         22         24         23         22         28         28             19         23         21         20         22         11         21         22         24         23         22         28         29         20         22         24         23         22         28         29         20         22         24         23         22         28         29         20         21         21         21         21         21         21         21         21         21         21         21         22         18         21         21         22         22         22         23         21         21         21         21         21         22         22         22         23         22         23         22         23         23         23         24         23         24         23         24         24         25         24         24         25         24         24         25         2	•	16	20	20	20	18	19	1,9	10	19	21	21	21	20	20	52	=
<td>имск</td> <td>16</td> <td>10</td> <td>20</td> <td>20</td> <td>15</td> <td>18</td> <td>2,0</td> <td>=</td> <td>18</td> <td>21</td> <td>22</td> <td>21</td> <td>16</td> <td>20</td> <td>56</td> <td>6</td>	имск	16	10	20	20	15	18	2,0	=	18	21	22	21	16	20	56	6
	01	20	20	23	21	20	21	1,8	6	70	22	24	23	22	22	78	<b>∞</b>
7         11         12         8         6         9         1,5         17         8         12         15         16         17         18         7         10         21           1         15         17         14         12         14         3,2         23         16         17         19         16         12         16         24           1         15         18         20         15         13         16         1,9         12         16         20         22         17         14         18         25           1         2         2         3         4         2         5         1,3         26         6         9         9         4         2         6         14           1         1         15         13         10         14         1,9         14         15         18         17         14         12         15         18         17         14         12         15         18         17         14         15         15         18         17         14         15         15         18         17         14         17         15         18 <td></td> <td>19</td> <td>19</td> <td>23</td> <td>21</td> <td>17</td> <td>50</td> <td>2,2</td> <td>11</td> <td>21</td> <td>21</td> <td>24</td> <td>25</td> <td>18</td> <td>21 2</td> <td>27</td> <td>15</td>		19	19	23	21	17	50	2,2	11	21	21	24	25	18	21 2	27	15
14     15     17     14     12     14     32     23     16     17     19     16     12     16     24       10     15     18     20     15     13     16     1,9     12     16     20     22     17     14     18     25       10     10     14     1,9     14     15     18     17     14     12     15     14	ск ,	7	11	12	. «»	9	6	7,5	17	8	12	15	. ∞	. 7	10	21	-
5     7     8     4     2     5     1,9     12     16     20     22     17     14     18     25       10     10     14     1,9     14     15     18     17     14     12     15     14	:	14	15	17 .	14	12	14	3,2	23	16	17	19	91	17	16	24	9
5 7 8 4 2 5 1,3 26 6 9 9 4 2 6 14 13 16 15 13 10 14 1,9 14 15 18 17 14 12 15 22	•	15	18	70	15	13	91	1,9	12	16	20	22	17	14	18	52	4
13 16 15 13 10 14 1,9 14 15 18 17 14 12 15 22	•	5	2	∞	4	. 2	ರ	1,3	26	9	6	6	4	۵۱ ,	9	4	0
		13	16	15	13	10	14	1,9	14	15		17	14	12	15	22	2

ависит от широты и высоты места. Так, Кананикольск располокен на 40 м выше, чем Баймак, и на 130 м выше, чем Кропачево, которых число дней Сb в 2 раза больше, чем в Кананикольске.

В сезонном ходе числа дней с облачными ресурсами почти на сех станциях максимум приходится на июль (табл. 1). Он сотавляет от 18 до 23 дней в пунктах, расположенных на склонах вершинах гор (Тулпан, Дружинино, Ревда — 23 дня, Пермь, Биер — 20 дней, Бурмантово — 19, Ивдель — 18). В пунктах, нахонящихся в понижениях рельефа, максимум числа дней с облачным ресурсами составляет от 10 до 17 дней (Усть-Улс — 17, Винм — 10).

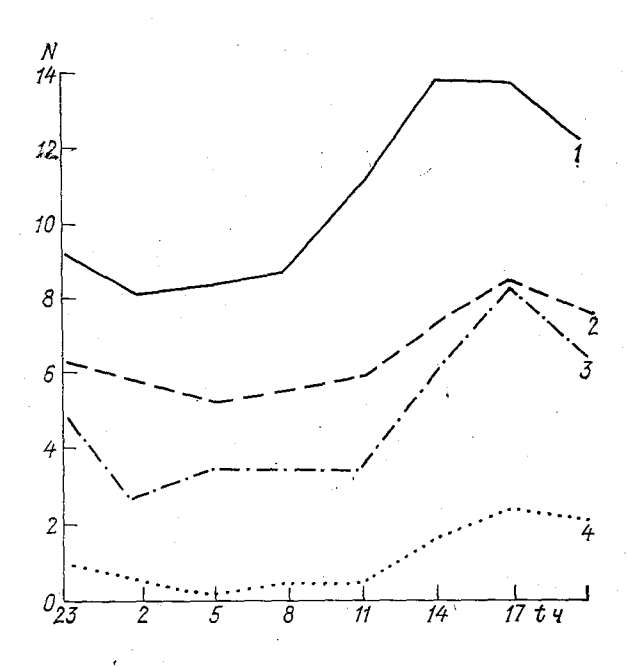


Рис. 2. Суточный ход кучево-дождевых облаков (N — среднее число случаев за ПОС). I — Дружинино, 2 — Усть-Улс, 3 — Тукан, 4 — Инзер.

В отдельные годы максимальное число дней с облачными реурсами достигает 28—30 дней за месяц. Это характерно для гунктов, расположенных на вершинах и склонах гор (Емаши, Гулпан, Кузино, Ревда—28 дней, Бурмантово, Бисерть—29 дней, Нижний Тагил—30 дней). В пунктах, находящихся в понижениях рельефа, максимальное число дней с облачными ресурсами в отдельные годы составляет только 14—18 дней (Инзер—14, Кунур, Кананикольск—17, Мраково—18 и т. д.).

Амплитуды числа дней с облачными ресурсами колеблются от

5 (Бисерть) до 23 (Кропачево).

В суточном ходе наибольшая повторяемость Сb за пожаро опасный сезон (ПОС) наблюдается в 14—20 ч с максимумом н большинстве станций в 17 ч декретного времени данного пояс (по 8-срочным наблюдениям). Минимум в суточном ходе Сb при ходится на ночное и утреннее время (2—8 ч). Такой суточный ходарактерен для станций, расположенных в различных условия рельефа (рис. 2). Различие в суточном ходе между станциями находяшимися в защищенных условиях рельефа, и станциями открыто расположенными на склонах гор, заключаются тольков числе случаев с Сb за каждый отдельный срок наблюдения. Та кое число случаев в 6—8 раз больше на склонах и вершинах гор чем в котлованах и узких долинах рек.

Изменчивость числа дней с облачными ресурсами за пожаро опасный сезон  $(\sigma)$  в основном небольшая: в 71% пунктов он

составляет 1—2 дня, в 29 % пунктов — 3 дня.

Коэффициент вариации Сb не превосходит 30 % во всех пунктах, причем в 71 % пунктов он меньше 20 %.

Для месяца максимума числа дней с облачными ресурсами (для июля) изменчивость несколько больше, чем в целом для по жароопасного сезона. Среднее квадратическое отклонение длиюля составляет в 82 % пунктов 3—4 дня, а коэффициент вариации в 91 % пунктов не превышает 30 % и только в 9 % пункто он составляет 30—40 %.

Число дней со средней (ИІ класс), высокой (IV класс) и чрез вычайной (V класс) пожарной опасностью определялось по дан ным о горимости. Горимость вычислялась по формуле  $\Gamma = \Sigma (t-\tau) t$  где t— температура воздуха в 15 ч,  $\tau$ — температура точки рось Горимость вычислялась для дней с осадками менее 3 мм. Прп пожароопасности III—V классов ( $\Gamma > 1000\,^{\circ}$ C) возникают круп ные лесные пожары, для тушения которых вызывают осадки пу тем искусственного воздействия на облака.

Число дней с пожароопасностью III—V классов возрастае с севера на юг от 7 (Тулпан) до 10 дней (Пермь, Дуван) и с за пада на восток (на одной и той же широте) от 7 (Тулпан) до (Бурмантово) на Северном Урале и от 10 (Пермь) до 12 на Сре днем Урале (Нижний Тагил).

Число дней с облачными ресурсами при пожароопасности III— V классов вычислялось, как и в [2, 5], т. е. по вероятности и совпадения в предположении независимости этих событий. В ра боте [5] была также вычислена вероятность числа дней с ножа роопасностью III—V классов, которые фактически совпали с на блюдавшимися Св. В обоих случаях вычисленные вероятност были близки по своим значениям. Полученное в настоящей рабо те число дней с облачными ресурсами, пригодными для воздей ствия, мало меняется по территории. Оно равно 3—7 в среднем за пожароопасный сезон (см. рис. 1), что составляет приблизи тельно 1/3 всех дней с Св на каждой отдельной станции. Числаких дней составляет 3 (Усть-Улс) или 4 (Кунгур, Шамарн и др.) в понижениях рельефа и несколько больше на склонах гор

(7 в Нижнем Тагиле, 6 в Перми, Дружинино и 5 в Ревде).

В отдельные годы число дней с облачными ресурсами при пожароопасности П1-V классов может достигать 9 на склонах гор (июль 1966 г. и май 1973 г. в Дружинино) и 6 в понижениях рельефа (июль 1972 г. в Кунгуре и др.).

Таким образом, из анализа следует, что при крупных лесных пожарах имеются дни с облачными ресурсами, пригодными для воздействия. Число таких дней в среднем за месяц пожароопасного сезона составляет 5—7 на склонах гор и 3—4 в пониженных

Выполненное исследование позволяет делать следующие воды.

1. Территориальное распределение облачных ресурсов зависит главным образом от формы рельефа и относительной высоты места, экспозиции склонов по отношению к влагонесущим пото-

кам и от широты места.

Число дней с облачными ресурсами в среднем за месяц пожароопасного сезона наибольшее на склонах и невысоких вершинах гор (16-22), наименьшее в котловинах и глубоких речных долинах (5—15).

Наибольшее число дней с Cb (по многолетним данным отмечается на Северном и среднем Урале (до 22). На Южном Урале оно уменьшается до 14-16. В отдельные годы максимум может достигать 28—30 дней на склонах гор и 18 дней в котлованах и узких речных долинах.

Особенно большим разнообразием числа дней с облачными характеризуется Средний Урал, что соответствует ресурсами

большому разнообразию форм рельефа.

2. Наблюдается четко выраженный сезонный ход Cb с максимумом в июле и суточный ход с максимумом в 17 ч местного декретного времени.

3. Изменчивость среднего месячного числа дней (о) с облачными ресурсами за пожароопасный сезон в 71 % пунктов состав-

ляет 1-2 дня (коэффициент вариации менее 20 %).

4. Число дней с облачными ресурсами при пожароопасности III—V классов составляет 5—7 дней на склонах гор и плоскогорьях и 3—4 дня в понижениях рельефа. Оно мало меняется по территории.

### СПИСОК ЛИТЕРАТУРЫ

1. Оренбургская Е. В., Сумин Ю. П. К оценке повторяемости условий, благоприятных для тушения лесных пожаров искусственными осадками на территории Красноярского края. — Труды ГГО, 1976, вып. 372, с. 95—104. 2. Оренбургская Е. В. К оценке условий, благоприятных для проведения

воздействий в пожароопасных районах Приморского края. — Труды ГГО,

1978, вып. 405, с. 122—127. 3. Оренбургская Е. В. К методике подсчета числа дней с конвективной облачностью, пригодной для искусственного вызывания осадков. — Труды ГГО, 1979, вып. 405, с. 128—131.

Осипова Г. И., Прохорова Г. Н. Облачные ресурсы для активных воздействий в Архангельской области и Коми АССР в пожароопасный сезон. — Труды ГГО, 1975, вып. 356, с. 92—102.
 Осипова Г. И. Особенности территориального и временного распределе-

иия облачных ресурсов для активных воздействий на северо-западе Европейской территории СССР. — Труды ГГО, 1979, вып. 405, с. 132—140.

6. Тушинский Г. К., Давыдова М. И. Физическая география СССР. — М.: Просвещение, 1975, с. 149—235.

# К ХАРАКТЕРИСТИКЕ УСЛОВИЙ, БЛАГОПРИЯТНЫХ ДЛЯ ВОЗДЕЙСТВИЯ В ПОЖАРООПАСНЫХ РАЙОНАХ САХАЛИНА

В работах [2, 3] проведена оценка возможности применения метода тушения лесных пожаров с помощью искусственно вызываемых осадков для территории Забайкалья и Красноярского края. Методика оценки основывалась на сопоставлении числа дней с кучево-дождевыми облаками и условиями пожарной опасности III—V классов. В настоящей работе выполнены аналогичные исследования для территории Сахалина.

Распределение по территории и во времени числа дней с кучево-дождевыми облаками. По данным наземных наблюдений (ТМ-1) было подсчитано среднее месячное число дней с кучево-дождевыми облаками по 22 станциям за 10-летний период (1966—1975 гг.). Рассмотрено распределение облаков по терри-

тории и во времени.

В табл. І представлено среднее месячное число дней с Сb по месяцам пожароопасного периода и за период в целом. Как видно из таблицы, число дней с Сb изменяется значительно на сравнительно небольшой территории острова (от 2 до 20). Более чем на 40 % станций кучево-дождевые облака наблюдаются в 1/3 дней месяца.

На формирование облачности, в том числе и конвективной, оказывают влияние циркуляционные процессы и характер подстилающей поверхности. На режим облачности Сахалина, кроме того, существенно влияют омывающие его берега холодное Охотское море и сравнительно теплое Японское море. Перечисленными факторами и определяется неравномерность в распределении кучево-дождевых облаков по территории. Не обнаружено значительного различия в числе дней с Сb между западным и восточным побережьем острова. По данным [4], число дней с грозой на западном побережье выше за счет влияния вод более теплого Татарского пролива. Малое число дней с Сb (до 5) наблюдается в северных районах острова, где холодное Сахалинское течение препятствует развитию конвекции. По мере продвижения на юг

Среднее месячное число дней с Cb, с пожарной опасностью III—V классов и с условиями, благоприятными для тущения лесных пожаров искусственно вызываемыми осадками

				Cb				Благопри-
Станция	v	VI	VII	VIII	ıx	сред- нее за -V— IX	Пожарная опасность III—V классов	ятные усло- вия для тушения лесных пожаров
Макаров	8	8	9	12	14	10	2	1
Москальво	4	2	3	6	13	5	7	1
Пограничное	9	-8	6	10	12	9	2	0
Углегорск	7	8	9	9	11	9	1	0
Южно-Сахалинск	10	11	11	14	12	12	4	2
Виахту	12	9	8	13	14	12	3	1
Пильво	11	11	9	11	12	11	0	0 .
Холмск	11	10	1.0	14	11	12	. 1	0
Поронайск	17	15	16	18	16	16	2	1
Победино	6	6	5	9	8	7	7	1
Мыс Терпения	3	. 2	1	2	3	<b>4</b> 2	0	0
Корсаков	7	7	8	13	10	8	. 1	0 -
Александровск	11	11	13	17	16	13	4	1
Адо-Тымово	19	18	21	22	20	20	7,	4
Стародубское	15	14	13	16	13	15	3	0
Крильон	15	12	12	18	18	15	0	0
Oxa	10	6	7	11	16	10	4	1
Погиби	. 9	10	9	12	14	И	1	1
Ноглики	13	9	12	14	16	13	4	] 1
Мыс Елизаветы	3	3	3	5	6	4	2	0
Ильинский	6	- 8	6	9	13	8	1	0
Южное	9	12	13	12	11	11	0	0

число облачных дней увеличивается до 12—13 и в районе ст. Адо-Тымово достигает максимального значения 20. Однако степень покрытия неба кучево-дождевыми облаками, наблюдавшимися на этой станции, в 50 % случаев не превышала 5 баллов. На других станциях также с большой повторяемостью Cb (15—16), расположенных в южных районах острова, на случаи покрытия неба этими облаками менее 5 баллов приходится от 10 до 30 % дней (Стародубское, Поронайск).

Значительное число дней с Сb (15—16) наблюдается на станциях Южного Сахалина, где к усилению конвекции приводит бо-

лее теплое Японское море и относительно теплое Цусимское течение. Наименьшее число дней с Сb (2) отмечено на крайней юго-восточной станции — мысе Терпения. По данным Справочника [4], количество осадков и число пасмурных дней на этой станции велико. Вероятно, в летний период в этот район выносится образующаяся над морем слоистая облачность.

пожароопасного сезона максимальное число п лней с Cb на большей части территории наблюдается 60 конце сезона, а именно в сентябре. К концу лета окружающие остров прогреваются, что способствует развитию конвективной 50 деятельности. В этом месяце отмечается также максимум осадков и гроз. Только на трех континентальных станциях (Адо-Тымово, Победино, Южно-Сахалинск) 40 наибольшее число дней с Cb падает на август.

Островное положение рассматриваемой территории и сложный рельеф (бо- 30 лее 3/4 поверхности занимают горы) вносят значительное разнообразие в суточный ход кучево-дождевых облаков. На рис. 1 приведе- 20 ны примеры типичного распределения Cb по суток. Как видно из рис. 1. на континентальных станциях (Адо-Тымово и Южно-Сахалинск) наблюдается обычный для материков ход Cb с максимумом в послеполуденные часы (17).

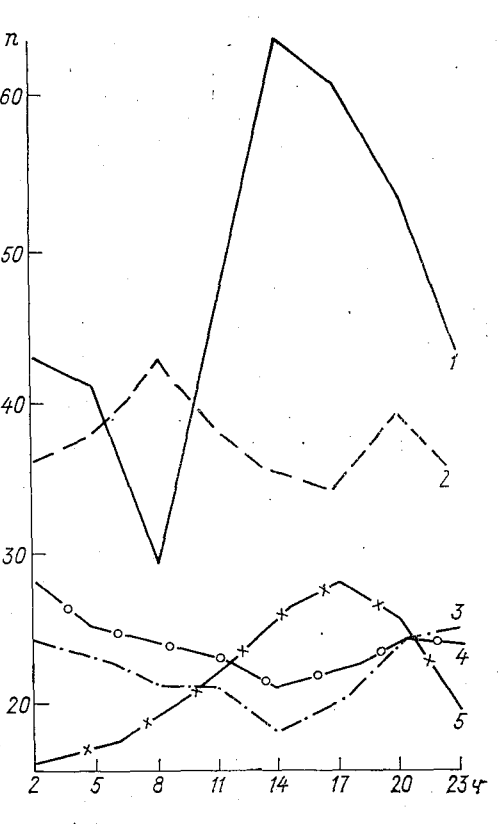


Рис. 1. Суточный ход кучево-дождевых облаков (n— среднее число случаев наблюдаемых Cb).

1 — Адо-Тымово, 2 — Крильон, 3 — Пильво, 4 — Южное, 5 — Южно-Сахалинск.

Для станций, расположенных на побережье, максимум Сb смещается на поздние вечерние (ст. Пильво) и ночные (ст. Южное) часы. Максимум Сb может наблюдаться даже в утренние часы (ст. Крильон).

При решении ряда практических задач иногда недостаточно знать только средние величины. Необходимо знание также таких статистических характеристик, как изменчивость по сезонам, коэффициент вариации и др.

В табл. 2 представлены некоторые важнейшие статистически характеристики числа дней с кучево-дождевыми облаками: амплитуда (A), среднее квадратическое отклонение (σ), коэффициен

вариации  $(C_v)$ .

Из данных таблицы видно, что колебания числа дней с Cb о года к году (A) значительные и могут достигать 14. Только для 15% станций, расположенных на западном побережье острова A не превышает 5 дней. Среднее квадратическое отклонение ( $\sigma$  изменяется по территории от 1,21 до 4,57. Для 60% станций меньше 3 дней. Наибольшей изменчивостью ( $\sigma$ >3) отличаются районы побережья. Коэффициент вариации ( $C_v$ ) лежит в преде

Таблица Статистические характеристики числа дней с Съ

Станция	A	σ	$C_v$	Станция	A	σ	$C_v$
Макаров	10	3,00	0,30	Александровск	7	2,16	0,14
Москальво	6	<b>2</b> ,32	0,38	Адо-Тымово	6	2,01	0,09
Пограничное	11	3,74	0,37	Стародубское	. 6	1,71	0,73
Углегорск	8	3,34	. 0,37	Крильон	10	3,20	0,18
Виахту	5	1,98	0,14	Оха	7	3,85	0,35
Пильво	14	4,31	0,33	Погиби	12	4,57	0,41
Холмск	4	1,21	0,09	Ноглики	6	1,94	0,14
Поронайск	14	4,44	0,27	Мыс Елизаветы	9	3,40	0,68
Победино	6	2,66	0,29	Ильинский	8	2,70	0,34
Мыс Терпения	8	2,55	0,85	Южно-Сахалинск	8	4,26	0,30
Корсаков	4	1,50	0,16				
•							

лах от 0,09 до 0,85. Максимальные значения  $C_v$  получились для станций Мыс Терпения и Мыс Елизаветы, исключение составляет

мыс Крильон, где  $C_v$  меньше 0,20.

Распределение пожарной опасности III—V классов. Для Са халина было рассмотрено также распределение числа дней с по жарной опасностью III—V классов. Пожарная опасность вычис лялась на основании данных наземных наблюдений за 10-летний период (1966—1975 г.) по методике, описанной в работе [2].

По данным [1], более 60 % территории (46 тыс. км²) занято лесами. Лесные массивы сосредоточены в основном в северной

и средней частях острова.

Как видно из данных табл. 1, максимальное число дней с вы сокой пожарной опасностью не велико и достигает 7. Относитель но высокие значения пожарной опасности получены для станций расположенных внутри континента (Адо-Тымово, Победино), и на северной прибрежной ст. Москальво. Для остальной территории число дней с пожарной опасностью III—V классов не превышает

, из них 55 % станций имеют пожарную опасность в среднем не олее 2 дней. Низкие значения рассматриваемой величины не вляются случайными. В теплую половину года Сахалин нахонится под влиянием летнего муссона, приносящего морской влажный воздух. В этот период выпадает до 80 % годовой нормы осадов. Осадки в течение пожароопасного сезона выпадают часто в количестве более 3,0 мм за сутки, поэтому возможности для озгорания леса невелики. Однако в отдельные годы при сухой гогоде возникают пожароопасные периоды продолжительностью до 20—25 дней.

На основании данных о числе дней с кучево-дождевыми обла-

іней, пригодных для тушения лесных пожаров искусственно вызываемыми осадками. Учитывая, что в среднем условия для возгорания леса на острове наблюдаются относительно редко, то соответственно редко ются и возможности для применения указанного метода. Как видно из данных табл. 1, только на ст. Адо-Тымово наблюдается в среднем 4 дня в месяц, благоприятных ДЛЯ вызывания осадков в дни c высокой

Таблица З Продолжительность относительно сухих периодов, число дней с Съ и их отношение

Станция	п дни	<b>N</b> дни	N/n %
Москальво	25	5	20
Южно-Сахалинск	19	5	26
Oxa	18	4	22
Адо-Тымово	22	10	45
Победино	17	11	64

пожарной опасностью. На остальных станциях эта величина не превышает 2.

Учитывая, что на территории Сахалина в отдельные годы наблюдаются продолжительные сухие периоды, интересно было проследить, развиваются ли Сb в это время. В табл. 3 по отдельным станциям представлены продолжительность относительно сухих периодов с осадками менее 3,0 мм за сутки (n), число дней с кучево-дождевыми облаками (N), наблюдавшимися в эти периоды, и их отношение (N/n).

Как видно из приведенной таблицы, в относительно сухие периоды не менее чем в 20 % случаев появляются кучево-дождевые облака.

В заключение можно сделать следующие выводы.

На территории Сахалина кучево-дождевые облака более чем на 40% станций отмечаются в среднем не менее 1/3 дней в месяц за теплое время года (V—IX). Однако условия с пожарной опасностью III—V классов встречаются здесь редко. Для 70% территории пожарная опасность в среднем меньше 3 дней в месяц. Поэтому применение метода тушения лесных пожаров искусственно вызываемыми осадками возможно лишь в отдельные годы с длительными периодами относительно сухой погоды.

### СПИСОК ЛИТЕРАТУРЫ

- 1. Дальний Восток. Экономико-географическая характеристика. Мысль, 1966, с. 365—380.
- 2. Оренбургская Е. В., Сумин Ю. П. Исследование условий, благопр ятных для воздействия в пожароопасных районах Забайкалья. Труд ГГО, 1975, вып. 356, с. 74—80.

  3. Оренбургская Е. В., Сумин Ю. П. К оценке повторяемости услови
- 3. Оренбургская Е. В., Сумин Ю. П. К оценке повторяемости услови благоприятных для тушения лесных пожаров искусственно вызываемым осадками на территории Красноярского края. Труды ГГО, 197 вып. 372, с. 95—104.
- 4. Справочник по климату СССР. Вып. 34. Ч. IV и V. Л.: Гидр метеоиздат, 1968, с. 168—185.

# ЭКСПЕРИМЕНТ ПО ОЦЕНКЕ ВЛИЯНИЯ ПЕРИСТОЙ ОБЛАЧНОСТИ НА ДИНАМИКУ БАРИЧЕСКИХ ОБРАЗОВАНИЙ

Облачность является главным фактором, определяющим пересс и трансформацию излучения в атмосфере. Наличие облачноги влияет на распределение баланса как коротковолновой, так длинноволновой радиации, что существенным образом сказывется на перестройке термического режима подоблачного слоя подстилающей поверхности. Согласно [3], средняя температура эмной поверхности повысится на 6°C при условии отсутствия блачности и понизится на 9°C в случае, если количество облачости увеличится от 50 до 90 %.

Наименее изучены на сегодняшний день оптические свойства еристых облаков и их роль в процессе трансформации излучеия. Вместе с тем немногочисленные теоретические и эксперименальные исследования дают основание полагать, что перистая обачность оказывает существенное влияние как не вертикальное пеераспределение энергии, так и на характер атмосферной циркуяции в целом. Согласно [3], перистая облачность значительно
меньшает приход коротковолновой радиации (от 22 до 78 % по
тношению к безоблачной атмосфере). Эти выводы хорошо соласуются с выводами, полученными Г. П. Гущиным.

Перистая облачность уменьшает суммарную радиацию, что приводит к росту противоизлучения атмосферы и к уменьшению радиационного баланса земной поверхности. Наличие десятибалльной облачности верхнего яруса может привести к понижению редней температуры днем на 3—5°С и повышению ее ночью на

l—5°C.

Существуют указания [2, 13], что, наряду с облаками верхнего яруса, связанными с особенностями циркуляционных процессов, образование перистой облачности происходит за счет антропогенных факторов, а также может зависеть от солнечной активности.

Согласно конденсационному механизму влияния солнечной активности на облачность, разработанному А. А. Дмитриевым [8],

при вторжении в верхнюю атмосферу потока высыпающихся за женных частиц происходит ионизация нейтральных составляющ атмосферы, что приводит к конденсации водяного пара при от сительной влажности менее 100 % и, как следствие, к образован перистой облачности. Сопоставление облачности отдельных разнов земного шара с измеренным на спутнике рентгеновским измением [2] показало, что глобальная облачность резко увелич вается на другой день после всплеска излучения. В среднем у личение количества облаков составляет от 1,8 балла при слаб вспышках до 3 баллов при сильных. Причем появление облачисти наблюдается примерно на тех же высотах, где обычно набл даются естественно образующиеся перистые облака. Подобн выводы были сделаны и в [13].

Такое резкое увеличение глобальной облачности должно ог зывать существенное влияние на процессы большого масшта В то же время проблема влияния перистой облачности на дин мику барических образований до настоящего времени не рассма ривалась. Нами была предпринята попытка оценить такого ровлияние с помощью прогностической модели по полным уравниям с учетом неадиабатичности атмосферных процессов [7].

Учитывая, что радиационные свойства перистых облаков о ладают сильной изменчивостью (излучательная способность, н пример, может колебаться от 0,2 до 0,9), в силу чего наличие о лачности верхнего яруса может обусловить как рост, так и пон жение температуры у земли, в модели приняты средние опт ческие характеристики перистой облачности.

Приведем краткое описание модели.

1. Система прогностических уравнений и граничные услови Система уравнений в системе координат x, y, g, t включает уранения движения, статики, неразрывности, притока тепла и пер носа влажности:

$$\frac{\partial u}{\partial t} + u \frac{\partial u}{\partial x} + v \frac{\partial u}{\partial y} + \omega \frac{\partial u}{\partial \zeta} - lv =$$

$$= -g \frac{\partial H}{\partial x} + \frac{g^2}{R^2 T^2} \frac{\partial}{\partial \zeta} \left( k_1 \zeta^2 \frac{\partial u}{\partial \zeta} \right) + \mu \nabla^2 u, \qquad (1)$$

$$\frac{\partial v}{\partial t} + u \frac{\partial v}{\partial x} + v \frac{\partial v}{\partial y} + \omega \frac{\partial v}{\partial \zeta} + lu =$$

$$= -g \frac{\partial H}{\partial y} + \frac{g^2}{R^2 T^2} \frac{\partial}{\partial \zeta} \left( k_1 \zeta^2 \frac{\partial v}{\partial \zeta} \right) + \mu \nabla^2 v, \qquad (2)$$

$$T = -\frac{g \zeta}{R} \frac{\partial H}{\partial \zeta}, \qquad (3)$$

$$\frac{\partial u}{\partial x} + \frac{\partial v}{\partial y} + \frac{\partial \omega}{\partial \zeta} = 0, \qquad (4)$$

$$\frac{\partial T}{\partial t} + u \frac{\partial T}{\partial x} + v \frac{\partial T}{\partial y} + \omega \frac{\partial T}{\partial \zeta} - \frac{\gamma_a}{g} R T \frac{\omega}{\zeta} = 0$$

$$= \frac{g}{c_p p_0} \left( \frac{\partial Q_{\pi}}{\partial \zeta} + \frac{\partial Q_{\tau}}{\partial \zeta} \right) - \frac{Lm'}{c_p}, \tag{5}$$

$$\frac{\partial q}{\partial t} + u \frac{\partial q}{\partial x} + v \frac{\partial q}{\partial y} + \omega \frac{\partial q}{\partial \zeta} = m' + \frac{q^2}{R^2 T^2} \frac{\partial}{\partial \zeta} \left( k_1 \zeta^2 \frac{\partial q}{\partial \zeta} \right), \quad (6)$$

$$\omega = \frac{1}{p_0} \frac{\partial p}{\partial t}, \quad \zeta = \frac{p}{p_0}$$
 — вертикальная координата,  $\nabla^2 = \frac{\partial^2}{\partial x^2} \frac{\partial^1}{\partial y^2},$ 

 $\mu$  — коэффициенты вертикального и горизонтального турбунтного перемешивания, m' — количество сконденсировавшегося цяного пара в единице массы воздуха за единицу времени,  $\frac{1}{c} \frac{\partial Q_{\rm T}}{\partial \zeta} \frac{Lm'}{c_p}$  — притоки тепла за счет лучистого  $(\epsilon_{\rm M})$ , турбулент-

го  $(\epsilon_{\mathtt{T}})$  и фазового  $(\epsilon_{\phi})$  теплообменов.

Остальные обозначения общепринятые. Шесть уравнений (1)— позволяют рассчитать шесть неизвестных функций  $u, v, H, T, \omega$  по их начальным значениям и могут рассматриваться как икнутая система уравнений, если  $\varepsilon_{\pi}$ ,  $\varepsilon_{\tau}$ ,  $\varepsilon_{\phi}$ ,  $k_{l}$ ,  $\mu$  и m' предстать через другие функции, фигурирующие в этих уравнениях. Я замыкания системы привлекаются уравнения переноса раации:

$$\frac{q\zeta}{RT}\frac{\partial G^{\downarrow}}{\partial \zeta} = -\rho_{\pi} k'(G^{\downarrow} - B), \tag{7}$$

$$\frac{q\zeta}{RT}\frac{\partial u^{\uparrow}}{\partial \zeta} = \rho_{\Pi} R'(U^{\uparrow} - B), \qquad (8)$$

$$-\frac{q\zeta}{RT}\sin\hbar\frac{\partial F}{\partial\zeta} = \rho_{\rm II}k''F, \qquad (9)$$

 $G^{\downarrow}$ ,  $U^{\uparrow}$  — потоки нисходящей и восходящей длинноволновой диации, F — поток солнечной радиации,  $ho_{\pi}$  — плотность поглоющих радиацию газов (водяной пар, углекислый газ, озон), k'' — массовые коэффициенты поглощения длинноволновой солнечной радиации, B — функция Стефана — Больцмана, h — сота солнца.

 $\Phi$ ункция m' выражается через искомые функции с помощью тношения

$$m' = \frac{1 - 0.286T\left(\frac{1}{\alpha^*} - \frac{1}{T}\right)}{\frac{1}{q_{\text{max}}} + \frac{L}{c_p}\left(\frac{1}{\alpha^*} - \frac{1}{T}\right)} \stackrel{\omega}{\zeta}, \tag{10}$$

 $\frac{1}{a^*} = \frac{ac}{(c+T_d-273)^2} \ (T_d$  — температура точки росы, a и c — пооянные формулы Магнуса).

Система (1)—(9) замыкается, если использовать ряд диагноических соотношений для расчета коэффициентов турбулентнои, функции Стефана—Больцмана и др., а также задать ряд раметров и пространственно-временное распределение углекислого газа и озона. В качестве счетных и прогнозируемых урові  $(\zeta)$  используются следующие: 1.0: 0.85: 0.7: 0.5: 0.3: 0.2 и В плоскости х. и интегрирование производилось на сеточной ласти размером  $31 \times 31$  узел с шагом  $\Delta x = \Delta y = 450$  км на шир 60°. Центральный узел сетки совпадает с северным полюсом. х на карте полярной стереографической проекции направле вдоль меридиана 125° в. л., а ось и — влоль мерилиана 145° з

В качестве краевых условий на боковых границах, проходяц вблизи экватора, принимается неизменность всех рассматрив мых функций. Граничные условия по переменной С записываю

следующим образом:

а) на верхней границе атмосферы при  $\zeta = 0$ :

$$\omega = 0$$
,  $q = 0$ ,  $G^{\downarrow} = 0$ ,  $F_0 = 1.38 \text{ kBT/M}^2$ ;

б) на уровне подстилающей поверхности при  $\zeta = 1$ :

$$\omega = -\frac{q^2}{RTl} \sqrt{\frac{k_1}{2l}} \nabla^2 H,$$

$$q = sq_{\max} \quad (0, 3 \leqslant s \leqslant 1, 0),$$

$$U^{\uparrow} = \delta \circ T_*^4 + (1 - \delta)G^{\downarrow}, \quad F^{\uparrow} = F^{\downarrow} A_0,$$

$$-\frac{c_p q \zeta p_0}{R^2 T^2} k_1 \frac{\partial T}{\partial \zeta} + k_* \frac{\partial T_*}{\partial z} + \frac{q \zeta p_0 L}{R^2 T^2} k_1 \frac{\partial q}{\partial \zeta} =$$

$$= F^{\downarrow} + G^{\downarrow} - U^{\uparrow} - F^{\uparrow},$$

где  $A_0$  — альбедо подстилающей поверхности,  $T_*$  и  $k_*$  — темпе тура и коэффициент теплопроводности подстилающей поверх сти, г — вертикальная координата, отсчитываемая от подстилающей поверхности вглубь, б — излучательная ность подстилающей поверхности.

2. Метод интегрирования и способ задания начальных пол yчитывая, что конечно-разностный метод и дискретно-точеч представление переменных для решения нелинейных диффер циальных уравнений второго порядка с учетом неадиабатич сти (физических процессов подсеточного масштаба) сопряже с большими трудностями, связанными с преодолением вычис. тельной неустойчивости, был разработан специальный алгори для настройки исходных данных, а также был выбран вариа размещения шахматной сетки, позволяющий члены, не содерх щие производных по времени, отнести к середине удвоенного ша по времени. Все прогнозируемые функции задаются и определ ются в одних и тех же узлах шахматной сетки, но в разные в менты времени: в четных узлах — на четных шагах по време в нечетных узлах — на нечетных.

Схема интегрирования по времени двухшаговая:

Прогностические уравнения на шаге «предиктор» записаны дивергентной форме, а на шаге «корректор» — в обычной, что озволяет избежать интерполяции в узлы, где переменные не опеделяются, но требуются для конечно-разностных уравнений. лены, содержащие параметр Кориолиса, вводятся в полунеявой форме. В соответствии с критериями линейной устойчивости уранта — Фридрихса — Леви [4, 9]  $\left|c_{\max}\frac{\Delta t}{\Delta x}\right| \leqslant 1$  и на основ численных экспериментов шаг по времени был выбран равым 15 мин.

Конечно-разностные аналоги прогностических уравнений стротся с использованием пятиточечной центрально-разностной апроксимации пространственных производных, обеспечивающей торой порядок точности, а также с применением операторов очленного сглаживания по Шуману [11, 12], способствующих реодолению нелинейной вычислительной неустойчивости.

В качестве примера запишем прогностическое уравнение для дной из составляющих скорости ветра для шага «предиктор»:

$$u^{t+\delta t} = u^{t-\delta t} + \left\{ -\overline{m}^{y} \overline{\left[ \overline{(u^{2})}_{x}^{y} + \overline{(uv)}_{y}^{x} \right]^{t}} - \overline{\left( \overline{u_{\zeta}^{x, y}} \omega \right)_{\zeta}^{t}} + \right.$$

$$\left. + \overline{lv}^{t} - mg \overline{H}_{x}^{y} + \overline{\left( \frac{g}{R\overline{T}^{x, y}} \right)^{2} \left( R_{1} \zeta^{2} \overline{u_{\zeta}^{x, y}} \right)_{\zeta}^{t}} \right\} \cdot 2 \delta t, \qquad (11)$$

де m — масштабный множитель, нижние индексы x, y,  $\zeta$  означати дифференцирование по соответствующим функциям, черта верху — символ осреднения по соответствующей переменной.

Так как в системе уравнений (1)—(9) нет прогностического гравнения для геопотенциала, то значения  $H_{\varsigma}$ , необходимые на таждом шаге по времени, рассчитываются с помощью специального алгоритма, построенного на основе учета свойств среднего гровня [1].

Диагностическая часть схемы включает вычисления коэффицинта турбулентности (через вертикальный сдвиг ветра), вертикальной скорости (из уравнения неразрывности), характеристик злажности (по формулам ВМО и Магнуса), а также неадиабатинеских притоков тепла:

$$\begin{split} \delta \, T_{\rm T} &= \frac{g^2}{R^2 T^2} \, \frac{\partial}{\partial \, \zeta} \Big( k_1 \, \zeta^2 \, \frac{\partial \, T}{\partial \, \zeta} \Big) \cdot 2 \, \delta \, t \,, \\ \delta \, T_{\rm \phi} &= c_{\rm p} L m' \cdot 2 \, \delta \, t \,, \\ \delta \, T_{\rm p} &= \frac{\varepsilon_{\rm R} + \varepsilon_{\rm K}}{c_{\rm p}} \cdot 2 \, \delta \, t \,, \end{split}$$

где  $\delta T_{
m T},~\delta T_{
m \Phi},~\delta T_{
m p}$  — изменение температуры за счет турбулентного теплообмена, фазовых переходов воды и радиационных прито-

ков тепла,  $\varepsilon_{\text{д}}$  — длинноволновый приток тепла,  $\varepsilon_{\text{к}}$  — приток тепла за счет поглощения солнечной радиации.

Остановимся подробнее на методике расчета радиационны

притоков тепла.

Длинноволновый лучистый приток тепла. Расчеты длинноволнового лучистого притока тепла выполняются на основе решени уравнений переноса радиации (7) и (8) для облачной атмосфоры. Схема расчетов потока радиации поясняется рис. 1.

Расчет радиационных притоков тепла осуществляется пр следующих предположениях: рассеяние длинноволновой радиаци

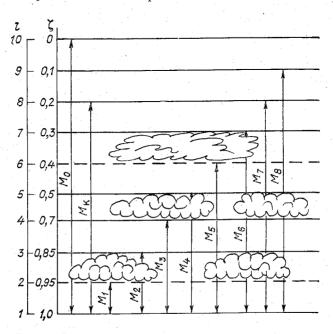


Рис. 1. Схема, поясняющая задание границ облачности и слоев, для которых рассчитываются функции пропускания.

на каплях воды несущественно и им можно пренебречь; излуча тельные способности подстилающей поверхности и облаков ниж него, среднего и верхнего ярусов постоянны и имеют следующи значения:  $\delta_0 = 0.96$ ;  $\delta_1 = 0.9$ ;  $\delta_2 = 0.8$ ;  $\delta_3 = 0.5$ . При расчете потоко излучения в облачной атмосфере учитывается поглощение водя ным паром  $(m_1)$ , углекислым газом  $(m_2)$  и каплей воды  $(m_3)$  Интегральная функция пропускания используется в следующем виде [11]:  $P(M) \equiv P$   $(m_1, m_2, m_3) = e^{-\alpha m_3}$   $P(m_1, m_2)$ , где коэф фициент поглощения капельной водой —  $\alpha$ , равный 1100 см²/г соответствует среднему типу распределения облачных капель по размерам. Количество капельножидкой влаги задается по дан

ным работы [10] с учетом зависимости от температуры и форм облачности. В качестве  $P(m_1, m_2)$  используется функция пропускания по данным работы [5]. Диффузность излучения учитыватся с помощью коэффициента  $\beta = 1,66$ , на который умножаются значения масс m.

Приток тепла  $\varepsilon_{\pi}$  к единице воздуха, заключенного между изобарическими поверхностями  $p_l - p_{l+1}$ , рассчитывается по формуле:

$$\varepsilon_{\mathrm{I}} = -\frac{g\left[\left(U_{l+1}^{\dagger} - G_{l+1}^{\downarrow}\right) - \left(U_{l}^{\dagger} - G_{l}^{\downarrow}\right)\right]}{\left(p_{l+1} - p_{l}\right)},$$

де  $(U_{l+1}^{\uparrow} G_{l+1}^{\downarrow})$ ,  $(U_{l}^{\uparrow} G_{l}^{\downarrow})$  — эффективное излучение на уровнях l+1 и l,  $(p_{l+1}-p_{l})$  — толщина слоя атмосферы в единицах цавления.

Приток тепла за счет поглощения солнечной радиации. Поскольку пространственно-временное распределение твердого врозоля и его поглощающие свойства изучены недостаточно, схеме учитывается только поглощение водяным паром в пологах Q, 0,8 мкм, Ф, Ψ, Ω, X, 3,2 мкм и облачным жидким аэрозолем. Поглощение углекислым газом мало и поэтому не учитывается.

Расчетные формулы получены при следующих предположениях:

а) поток радиации, отраженный от облаков, прошедший через облака и внутри облаков считается диффузным;

б) рассеянием излучения в ближней ИК области пренебрега-

в) поглощение диффузного потока учитывается путем увелинения поглощающей массы в 1,66 раза;

г) альбедо облаков нижнего, среднего и верхнего ярусов принимается равным 0,69, 0,58, 0,21 соответственно;

д) функция пропускания капельножидкой влаги рассчитывается с учетом полидисперсности облачного аэрозоля.

Расчеты притоков солнечной радиации производятся для тех же уровней и облачных слоев, что и для длинноволновой радиатии.

На уровнях 6, 5, 4, 3, 2, 1 потоки состоят из двух составляющих; диффузной  $(S'_l)$  и прямой радиации, прошедшей в разрызах между облаками  $(S''_l)$ . Поток на каждом из этих уровней выражается суммой:  $S'_l = S'_l + S''_l$ .

Функции пропускания  $P(\chi)$  и  $T(m_r)$  рассчитываются по формулам:

$$P(\chi) = 0.13e^{-0.5} \chi + 0.87e^{-0.025} \chi,$$
  

$$T(m_r) = 0.35e^{-35m_r} + 0.65e^{-0.1m_r},$$

где  $T(m_r)$  — функция пропускания жидкой влаги, содержащейся в облаках,  $\chi = \sqrt{w} \, (p + e)^{0.3}$  (w — приведенная масса водяного

пара),  $m_r$  — масса сконденсированной влаги между нижне

и верхней границами облачности r-го яруса.

Потоки восходящей коротковолновой радиации формируюто за счет отражения от поверхности земли и верхних кромок облаков прямой и рассеянной вышележащими облаками солнечно радиации. Значения  $A_0$  задаются в пределах от 0,1 до 0,9 в за висимости от вида подстилающей поверхности и считаются неименными в течение всего срока прогноза.

Приток тепла к слоям для единичной массы за счет поглешения солнечной радиации рассчитывается так же, как и прито

длинноволновой радиации:

$$\varepsilon_{\mathrm{K}} = -\frac{g\left[\left(S_{l+1}^{\dagger} - S_{l+1}^{\downarrow}\right) - \left(S_{l}^{\uparrow} - S_{l}^{\downarrow}\right)\right]}{\left(p_{l+1} - p_{l}\right)}.$$

Количество облачности оценивается с помощью эмпирически соотношений, позволяющих ставить в соответствии вертикальной скорости  $\omega$  и дефициту влажности  $(q_{\text{max}}-q)$ соответствующем уровне количество облачности n в долях еди ницы. Для решения уравнений модели требуется задать в на чальный момент как поле массы через температуру и геопотен циал, так и поле ветра, проводя их предварительное согласовани прогностической схемы, т. е. инициализацию. рамках тывая результаты Нитта [6], который пришел к выводу, чт в процессе приспособления атмосфера приходит не столько к по ложению равновесия, сколько к квазиустойчивому состояник т. е. наибольшие изменения претерпевают вертикальные профил полей, применительно к рассматриваемой прогностической мо дели подготовка начальных данных производилась следующи образом.

Исходные данные о температуре и геопотенциале задавалис на наиболее информативных (для данного алгоритма) уровнях геопотенциал — на  $\zeta=0.85$  и  $\zeta=0.5$ , а температура — на  $\zeta=1.0.5$ ; 0,2 и 0,1. Недостающие данные о  $T_{\zeta}$  и  $H_{\zeta}$  рассчитывалис с помощью уравнения статики с использованием параметров среднего уровня в предположении о линейности профиля темпера туры в слое 500—300 мбар. Данные о влажности задавались н всех счетных уровнях. Поле ветра рассчитывалось в результат процедуры псевдопрогноза. В качестве начального приближени

для ветра использовались геострофические значения.

Учитывая, что любая схема динамического согласования, ис пользующая процедуру псевдопрогноза, требует больших затра машинного времени, сравнимого с прогнозом на несколько часог а задача решалась на ЭВМ сравнительно малого быстродействи (М-222), было выполнено свободное согласование для адиабати ческого варианта модели по схеме:

$$\begin{split} & \mathbf{\varphi}^{t+\delta\;t} = \mathbf{\varphi}^{t-\delta\;t} + F^t \cdot 2\,\delta\;t, \\ & \mathbf{\varphi}^{t-\delta\;t} = \mathbf{\varphi}^{t+\delta\;t} - F^t \cdot 2\,\delta\;t, \end{split}$$

используя всего два итерационных цикла, но подключая после каждого такта псевдопрогноза процедуру вертикального согласования полей H и  $T_{\zeta}$  в соответствии с диагностической частью решения, реализующей получение H  $_{\varepsilon}^{t+\delta t}$ .

3. Описание эксперимента. Цель эксперимента состояла в оценке степени влияния перистой облачности на поведение различных параметров атмосферы, а также на характер синоптических процессов в целом.

Сущность эксперимента заключалась в следующем. В качестве объекта исследований был выбран мощный антициклон (29 августа 1959 г., 03 ч) с давлением в центре 1030 мбар, про-

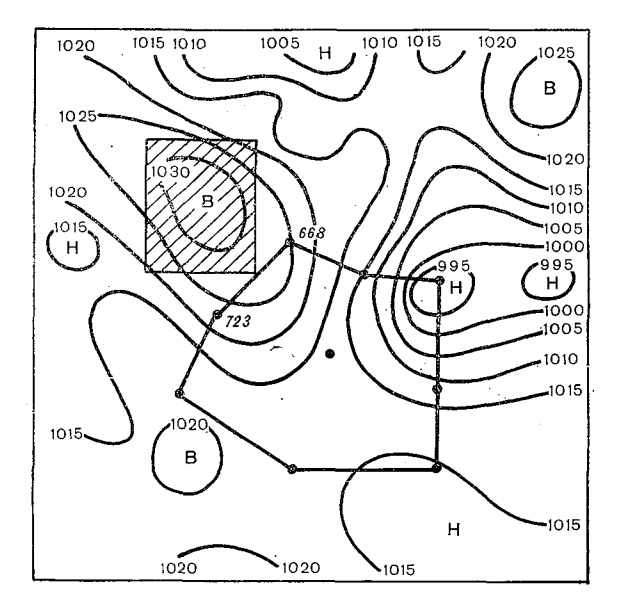


Рис. 2. Исходное поле приземного давления  $p_0$ . 663, 723— номера узлов.

слеживающийся на  $AT_{500}$ . Облачность верхнего яруса моделировалась над центром антициклона и удерживалась в течение всего срока прогноза, т. е. задавалось  $n_3 = 1$  в узлах сетки  $4 \times 5$ , что соответствует площади  $1350 \times 1800$  км², на всех шагах по времени (заштрихованная область на рис. 2).

Задача прогноза сроком на 24 часа решалась дважды: в первом случае рассчитывался обычный прогноз (эталон), во втором — рассчитывался прогноз по тем же самым исходным данным с использованием той же расчетной схемы, но с заданием перистой облачности над центральной частью антициклона. Оба решения сравнивались между собой. Через каждые четыре шага по времени (что соответствует часовому прогнозу) для девяти

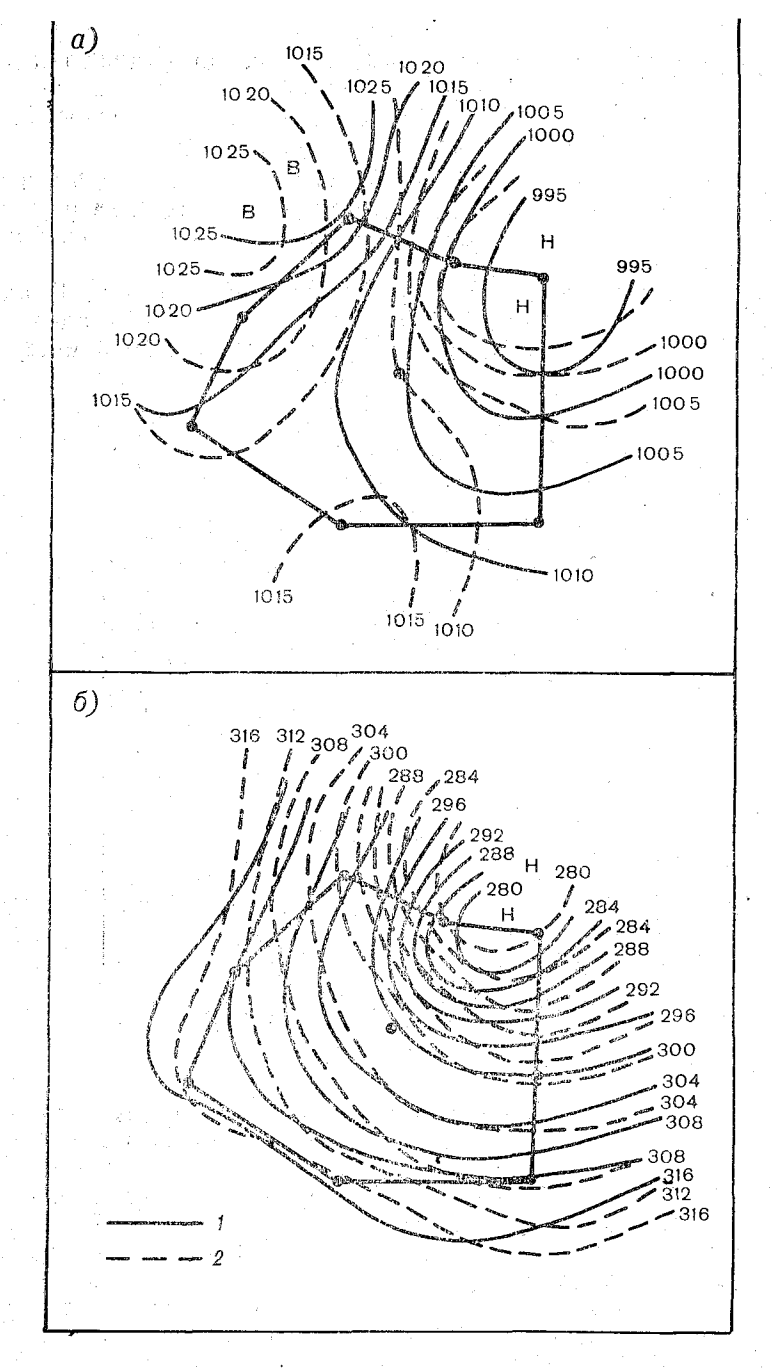


Рис. 3. Прогностические поля приземного давления  $p_0$  (a) и  $AT_{700}$  (б).

I — при наличии перистой облачности над центральной частью антициклона, 2 — контрольное поле (эталон).

узлов сетки, расположенных к востоку от центра антициклона на разных расстояниях, выдавались на печать следующие харак-

теристики:  $T_{\zeta}$ ,  $T_{d\zeta}$ ,  $H_{\zeta}$ ,  $u_{\zeta}$ ,  $v_{\zeta}$ ,  $\omega_{\zeta}$ ,  $p_{0}$ ,  $\delta T_{p}$ ,  $\delta T_{\tau}$ ,  $\delta T_{\phi}$ .

Результаты численных экспериментов представлены на рис. 3 и 4. Как видно из этих рисунков, наличие перистой облачности оказывает влияние не только на интенсивность барических образований, но и на изменение их траекторий. Циклон на востоке

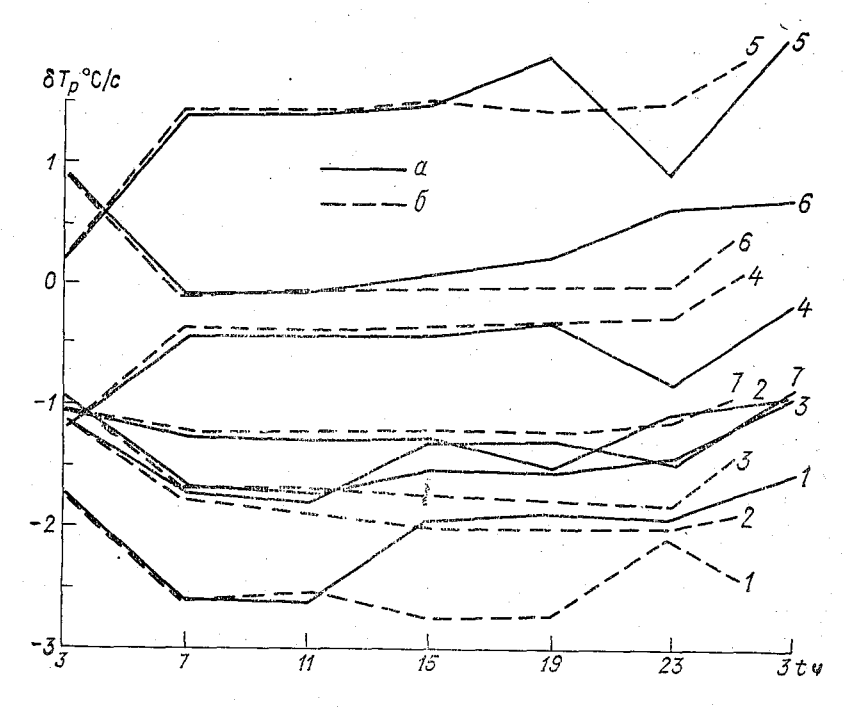


Рис. 4. Изменение температуры за счет радиационных притоков тепла  $\delta T_p$  (увеличено в  $10^5$  раз) при наличии перистой облачности (a) и для контрольного поля (б) на разных уровнях  $\zeta$ .

исследуемого района сместился примерно на 100 км южнее, а антициклон— севернее по отношению к эталонным траекториям.

На рис. 4 приведены графики изменения во времени величины  $\delta T_{
m p}$  для ближайшего к области задания перистой облачности узла 663.

Из приведенных рисунков видно, что результаты влияния перистой облачности на различные параметры весьма разнообразны. В силу сложности взаимодействия различных факторов судить о «направлении» изменения синоптических процессов результате появления перистой облачности на больших терригориях чрезвычайно трудно. Например, для узла 663 этот эффект сопровождался увеличением  $\delta T_{\rm p}$  на уровнях  $\zeta=1,0,~0,85,~0,7,~0,2$  и уменьшением  $\delta T_{\rm p}$  на уровнях  $\zeta=0,5$  и 0,3. Это привело к увеличению  $T_{\zeta=1},~T_{\zeta=0,5}$  и к уменьшению  $T_{\zeta=0,85}$  и  $T_{\zeta=0,7}$ . Очевидно, следствием этих изменений явилось усиление меридиональной составляющей скорости ветра. Для узла 723 тот же эффект сопровождался увеличением  $\delta T_{\rm p}$  на уровнях  $\zeta=1,0,~0,85,~0,3,~$  что также привело к увеличению меридиональной скорости ветра. Однако в первом случае значения H (на всех счетных уровнях) увеличились, а во втором — уменьшились.

Конечно, эксперимент с использованием численной модели характеризует в большей степени поведение модели, а не реальной атмосферы. Результаты эксперимента позволяют говорить лишь о большой чувствительности данной модели к заданию обширных полей перистой облачности. Но успешность суточного прогноза по данной схеме (эталонная и фактическая траектории антициклона практически совпали, совпадение по знаку прогностических и фактических изменений высот изобарических поверхностей составляет около 90 %) позволяет отнестись к полученным результатам с определенной степенью доверия.

Основные выводы, которые могут быть сделаны на основе результатов данного численного эксперимента, состоят в следую-

щем:

1. Перистая облачность, образование которой связано с циркуляционными, антропогенными, либо с гелиофизическими факторами, через механизм лучистого теплообмена оказывает влияние на динамику атмосферных процессов. Эффекты, связанные с появлением перистой облачности, могут быть существенными и их следует учитывать как в схемах численного прогноза, так и в моделях климата.

2. Так как в данной работе оценки выполнены на основе модельных расчетов в пределах ограниченной территории, то вполне естественно, что полученные результаты позволяют судить о реальных процессах лишь в той мере, в какой поведение модели согласуется с поведением реальной атмосферы.

#### СПИСОК ЛИТЕРАТУРЫ

1. Борисенков Е. П. Вопросы энергетики атмосферных процессов. — Л.: Гидрометеоиздат, 1960. — 168 с.

2. Дмитриев А. А., Ломакина Т. Ю. Облачность и рентгеновское излучение космоса. — В кн.: Эффекты солнечной активности в нижней атмосфере. Л.: Гидрометеоиздат, 1977, с. 70—77.

3. Зайцев В. А., Кудрявцев Б. П., Ледохович А. А. Возможности и пути создания полей искусственных облаков. — Метеорология и гидроло-

гия, 1977, № 7, с. 3--9.

Касахара А. О некоторых конечно-разностных методах решения гидродинамических задач. — В кн.: Численные методы решения задач динамики атмосферы и океана. Л.: Гидрометеоиздат,1968, с. 157—167.
 Нийлиск Х. Ю., Саммел Л. Э. Интегральная функция пропускания

 Нийлиск Х. Ю., Саммел Л. Э. Интегральная функция пропускания атмосферы для расчетов поля теплового излучения в тропосфере. — В кн.: Таблицы радиационных характеристик атмосферы. Тарту, ИФА АН ЭССР,

1967.

Нитта Т. Подготовка начальных данных и объективный анализ для модели примитивных уравнений. Труды второго Токийского симпозиума по численным методам прогноза погоды. — Л.: Гидрометеоиздат, 1971. с. 282—289.

ленным методам прогноза погоды. — Л.: Гидрометеоиздат, 1971, с. 282—289. Панин Б. Д., Никонова Е. Т. Численный прогноз полей метеорологических элементов с учетом неадиабатичности атмосферных процессов. — Труды ЛГМИ, 1974, вып. 51, с. 20—34.

Рубашев Б. М. Проблемы солнечной активности. — М.: Наука, 1967. —

362 c

. Фишер Г. Исследование конечно-разностных аппроксимаций примитивных уравнений. — В кн.: Численные методы решения задач динамики атмосферы и океана. Л.: Гидрометеоиздат, 1968, с. 121—142.

0. Фейгельсон Е. Н. Лучистый теплообмен и облака. — Л.: Гидрометео-

издат, 1970. — 230 с.

1. Шуман Ф. С., Стэкцул Дж. Д. Оперативно действующая модель НМЦ и результаты проведенного численного эксперимента. Труды второго Токийского симпозиума по численным методам прогноза погоды. — Л.: Гидрометеоиздат, 1971, с. 127—136.

2. Шуман Ф. Численные эксперименты с примитивными уравнениями. Труды Токийского симпозиума по численным методам прогноза погоды.— Л.:

Гидрометеоиздат, 1967, с. 18-51.

3. Roberts W. O. Relationships between solar activity and climate change.—A symposium held at Goddard Space Flight Center, Greenbelt, Maryland, Nov. 7—8, 1973, NASA SP-366, p. 13—24.

# ВЛИЯНИЕ АНТРОПОГЕННЫХ ИЗМЕНЕНИЙ ХАРАКТЕРИСТИК ПОДСТИЛАЮЩЕЙ ПОВЕРХНОСТИ И ОБЛАЧНОСТИ НА НЕКОТОРЫЕ ЧЕРТЫ КЛИМАТА

В связи с интенсивным развитием хозяйственной деятельности человека наблюдается все возрастающее влияние ее последствий на окружающую среду и, в частности, на погоду и климат. В настоящее время роль антропогенных факторов влияния на климат в энергетическом смысле все еще менее существенна, нежели естественных. Однако бесспорно, что развитие хозяйственной деятельности достигло таких масштабов, когда роль антропогенных факторов со временем будет возрастать все больше, вызывая все более заметные изменения в режиме погоды и климата. При энергетической оценке возможных эффектов воздействия различных антропогенных факторов следует иметь в виду, что для изменения циркуляционного режима атмосферы, связанного с генерацией кинетической энергии атмосферных движений, необходимо затратить энергию порядка 2,5-5 Вт/м², в то время как такого количества энергии совершенно недостаточно, чтобы существенно изменить тепловой режим атмосферы.

Таким образом, хотя средний тепловой режим атмосферы при воздействии ряда антропогенных факторов может и не измениться сколь-нибудь ощутимо, но динамика атмосферы в некоторых районах, в том числе и в районах воздействия (новообразование циклонов и антициклонов, их эволюция, повторяемость), может заметно изменяться [1]. Это, естественно, скажется на погоде и климате отдельных районов, а также, в ряде случаев, может способствовать развитию аномальных условий погоды и нежелательных экстремальных региональных климатических условий.

В этой связи, наряду с задачей оценки влияния антропогенных факторов на глобальный климат в целом, представляет интерес и оценка их влияния на динамический режим атмосферы, которое может проявиться как непосредственно в районах интенсивного воздействия, так и опосредованно в других районах. В данной работе ставится задача определения характера возможного влияния на вертикальные движения в тропосфере эф-

екта антропогенного воздействия на подстилающую поверхость, связанного с орощением засушливых земель, а также воз

ожного образования перистой облачности.

> Иллюстрацией того, к каким серьезным последствиям могут ривести процессы воздейтвия на подстилающую поверхность результате сельскохозяйственной деятельности, служат материлы Конференции ООН по наступлению пустынь, проходившей 29 августа по 9 сентября 1977 г. При этом, согласно [5], натупление пустынь определяется как успление интенсивности—путынных условий или увеличение охватываемой ими площади, бусловливающие уменьшение способности земли к поддержанию кизни скота и растительности.

В настоящее время скорость наступления пустынь достигает 0 000 км²/год (это примерно равно площади Бельгии и Нидерандов вместе взятых), что, естественно, вызывает растущую забоченность мировой общественности, при этом проблема натупления пустынь рассматривается как глобальная и предполавется международное сотрудничество в борьбе с этим явле-

ием.

Как отмечалось на Конференции [5], результаты исследований показали, что хотя во многих случаях климатические условия представляют собой фон, на котором происходит наступление устынь, изменения климата не являются главной причиной этого ввления. Основная причина заключается в чрезмерной нагрузке за землю (пашню или пастбище), т. е. в неправильном землетользовании в условиях крайней чувствительности экологического баланса и изменчивого, неблагоприятного климата. Непразильное землепользование, например чрезмерный выпас скота, иногокультурное земледелие, вырубка деревьев и т. п., лишает точву защиты от ветровой и водной эрозии, в результате чего геряется плодородный слой почвы и облегчается продвижение песков из пустынь.

Помимо такого «адвективного» механизма наступления пустынь, связанного с механическим переносом массы песка, представляет интерес и другой эффективный физический механизм, предложенный Чарни [10] для объяснения развития засушливых условий и значительного расширения площади пустынь в Сахели под влиянием антропогенных изменений подстилающей поверхности. Это так называемый эффект самоусиления пустынь при увеличении альбедо, заключающийся в радиационно обусловленном усилении нисходящих движений, что в конечном счете вызывает уменьшение количества выпадающих осадков, а значит и дальнейшее усиление засушливых условий. Такого рода выводы получены в [10] на основе математического моделирования воздействия на динамику воздушного потока над Сахарой изменений радиационных характеристик подстилающей поверхности.

Из сказанного следует, что вопросы, связанные с проб<del>лем</del>ой орошения засушливых пустынных территорий, в том числе и изучение характера влияния такого рода хозяйственной деятельчение характера влияния такого рода хозяйственной деятель

мости на динамику атмосферы в районах орошения, весьма ак туальны.

Наиболее интенсивно орошаемое земледелие у нас в стране развивается в пустынных районах Средней Азии и Южного Ка характеризующихся богатыми почвенно-климатиче СКИМИ ресурсами. Интенсификация орошаемого землелелия в этих районах началась примерно в 1960 г., когда площадь оро лшаемых земель составляла приблизительно 4·106 га. К 1990 г эта величина, как планируется, возрастает до 9.106 га. При этом полагается, что основные водные ресурсы этого района Амударьи и Сырдарьи) будут практически полностью использо ваться при орошении и для дальнейшего расширения площади орошаемых земель необходимо будет привлекать водные ресурсы других районов страны, в частности, ставится вопрос о переброс

ке части стока сибирских рек в Среднюю Азию.

Процесс увеличения площади орошаемых земель в бассейнах Амударьи и Сырдарьи, как известно, сопровождается закономерным уменьшением стока этих рек в Аральское море. Средний многолетний сток в Аральское море, полученный как на основе расчета водного баланса моря, так и путем гидрологических расчетов, до 1960 г. составлял 53 км<sup>3</sup>/год. Согласно данным, приведенным в [7], количество речных вод, достигающих Арала, к 1990 г. не превысит 18 км<sup>3</sup>/год и далее уменьшится до 12 км3/год. Учитывая, что поступление в Аральское море подземных вод, как полагает большинство исследователей, составляет лишь 1 км<sup>3</sup>/год, то, согласно прогнозам, акватория Аральского моря к 1990 г. может сократиться до 45 500 км<sup>2</sup> [7]. Следовательно, при существующих темпах увеличения площади орошаемых земель за счет ресурсов рек Амударьи и Сырдарьи без принятия «соответствующих мер Аральское море в конечном счете может перестать существовать.

Выявлению закономерностей изменений метеорологического режима приземного слоя воздуха под влиянием орошения посвящены работы, основанные на анализе эмпирических данных, и работы теоретического плана [3, 6, 8, 9 и др.]. Но в связи с большими масштабами и большой интенсивностью преобразований подстилающей поверхности в результате орошения засушливых земель, а также сокращения акватории Аральского моря, естественно, следует ожидать и возможных изменений циркуляции не только в приземном, но и в более высоких слоях тропосферы, обусловленных изменением условий поглощения радиации у поверхности земли вследствие изменения радиационных харак-

теристик подстилающей поверхности.

В получении такого рода оценок для вертикальных скоростей в тропосфере и конкретизировалась сформулированная выше задача данной работы — оценить возможное влияние на динамику атмосферы антропогенно обусловленных изменений подстилающей поверхности вследствие орошения больших территорий пустынь Средней Азии и сокращения акватории Аральского моря.

ія этого мы воспользовались реализованной нами ранее [2] сленной моделью, использующей исходную систему уравнений

тематической модели Чарни [10].

Математическая модель Чарни представляет собой стационарю двумерную модель воздушного потока над изучаемой им обстью, содержащую ряд вполне допустимых ограничений (и упщений). В связи с этим вполне закономерен вопрос, насколько чественно правильно данная модель определяет поведение опиваемых ее характеристик. В этой связи необходимо отметить едующее. Результаты численных экспериментов с этой моделью предложению Чарни проверялись на трехмерной нестационарй модели общей циркуляции атмосферы NASA GISS доктором аллен и др. [10]. При этом оказалось, что качественные выводы взаимообусловленности физических процессов, полученные на нове численных экспериментов с математической моделью Чарі, хорошо совпадают с выводами, полученными в результате ісленного моделирования эффекта изменения альбедо подстиающей поверхности на трехмерной нестационарной модели обей циркуляции атмосферы.

Это говорит о том, что численная модель [10] достаточно хоошо описывает взаимообусловленность изучаемых с ее помощью изических процессов. Дополнительное подтверждение этого обгоятельства дает работа [11]. Авторы этого исследования проеряли описанный выше биогеофизический механизм, предложеный Чарни, на двумерной зональной атмосферной модели ZAM-2. езультаты эксперимента [11] находятся в соответствии с реультатами более ранней проверки гипотезы Чарни на модели JASA GISS 3D GCM, о которой говорилось выше, и значит такке свидетельствуют о том, что математическая модель Чарни 10] достаточно хорошо описывает физику изучаемых явлений.

Nтак, основная система уравнений, сформулированная в [10], писывает взаимосвязь баланса длинноволнового излучения и по-

ія температуры и имеет следующий вид:

$$c_{\rho} \rho \vee h \frac{N^2}{l^2} T_{yy} = (\tau_{\infty} - \tau) F_{\tau}, \qquad (1)$$

$$F_{\tau\tau} - F = 2 \sigma \, \overline{T^3} T_{\tau}. \tag{2}$$

Здесь F — баланс длинноволнового излучения, T — температура воздуха; т — оптическая глубина, о — постоянная Стефана — Больцмана,  $N^2$  — параметр устойчивости, l — параметр Кориолиca, v — коэффициент вязкости, о — плотность; нижние индексы переменных означают дифференцирование по соответствующим координатам.

Массовая функция тока и вертикальная скорость определяет-

ся как

$$\Psi \equiv \int_{0}^{z} \overline{\rho} \, v dz = -\frac{\overline{\rho} \vee u_{z}}{l} = \frac{g \overline{\rho} \vee T_{y}}{l^{2}} \cdot \frac{T_{y}}{\overline{T}}. \tag{3}$$

$$\psi_y = \overline{\rho} \, w = - \frac{g \, \overline{\rho} \, \nu}{l^2} \, \frac{T_{yy}}{\overline{T}},$$

где u, v — составляющие вектора скорости ветра.

Граничные условия фиксируют T, а следовательно, и F согл сно (1) и (2) как функцию  $\tau$  на южной  $(y_1)$  и северной  $(y_2)$  гр ницах области решения. Для моделирования эффекта изменени изучаемых характеристик, обусловленных лишь изменением усл вий поглощения радиации на верхней и нижней границах област решения, полагается  $T(y_1, \tau) = T(y_2, \tau)$ . Граничные условия дл F предусматривают задание T на нижней границе атмосфер и определения F на верхней ее границе из второго уравнения стемы, переноса длинноволновой радиации в предположени G=0:

$$F_{\tau} - F = 2(B - U), \tag{3}$$

$$F_{\tau} + F = 2(B - G). \tag{6}$$

Здесь U и G — направленные вверх и вниз потоки длинноволно вой радиации, B — излучение абсолютно черного тела.

В окончательном виде система уравнений (1) и (2) записы вается для безразмерных переменных, получаемых посредством деления F и T на выражения (1-A)/S и  $T\infty/4\tau_\infty$  соответственно и безразмерных координат  $\xi = \tau/\tau_\infty = 1 - e^{-z/h}$  и  $y = \lambda \eta$  и имеевид:

$$F_{\xi \xi} - \tau_{\infty} F = \left(\frac{\overline{T}}{\overline{T}_{\infty}}\right)^{3} T_{\xi}, \tag{7}$$

$$\nu' T_{\eta \eta} = (1 - \xi) F_{\xi},$$
 (8)

где

$$v' = \frac{1}{2} \left\{ 1 + \text{th} \left[ 10(\xi_1 - \xi) \right] \right\} \frac{\overline{\rho}}{\rho_0} + 0.1, \quad \xi_1 = 0.8,$$

$$\lambda^2 = \frac{c_p T_\infty \overline{\rho}_0 v_0 h}{4(1 - A) S_{\infty}} \frac{N^2}{l^2}$$

радиус деформации Россби.

Для оценки возможного влияния перистой облачности на динамику антициклонов в [2] был сформирован эффективный алгоритм численного решения исходной системы уравнений, предусматривающий модификацию системы конечно-разностных аналогов уравнений (7) и (8) с учетом граничных условий и дальнейшее решение модифицированных систем конечно-разностных уравнений методом матричной факторизации.

Однако для настоящего исследования пришлось ввести изменение в формулировку граничных условий для основной системы уравнений, предусмотренную в работе [10]. В [10] полагается, что величина баланса длинноволнового излучения на нижней границе атмосферы определяется выражением  $F_{z=0} = (1-A)S$ , где

V à relie

— альбедо, S — направленный вниз поток солнечной радиации. и такой формулировке считается, что вся поглощенная энеря тратится на тепловое излучение, т. е. радиационный баланс вен нулю. Такое приближение допустимо для пустыни, когда грата тепла на испарение чрезвычайно мала. Вследствие май влажности почвы и поглощенная энергия тратится в основм на эффективное излучение и турбулентный обмен (причем личина последнего не учитывается в рассматриваемом в рабо-[10] краевом условии). Для постановки задачи [10], предуатривающей исследование влияния изменений отражающих эйств подстилающей поверхности на вертикальные движения, тае нижнее граничное условие было корректным, так как радиаонные характеристики исследуемых в [10] поверхностей, как пускалось в [10], отличались лишь значениями альбедо. Таким разом, в [10] не учитывалось возможное при смене типа расатриваемой поверхности перераспределение энергии поглощенй коротковолновой солнечной радиации на такие процессы, как парение, поток тепла в почву, турбулентный обмен. Ввиду этодля нашей задачи такая формулировка нижнего краевого усвия для F оказалась неприемлемой.

Как известно, орошение существенно меняет соотношение меу отдельными компонентами радиационного и теплового банса. Происходит увеличение поглощенной солнечной радиации основном вследствие уменьшения альбедо подстилающей поэхности (влажная почва, покрытая растительностью), а также результате увеличения приходящей солнечной радиации. Соглара [9], увеличение поглощенной солнечной радиации при оронии территорий будет составлять до 10—15 % аналогичной вечины для пустынных районов.

Но наиболее существенным является не увеличение поглощенй радиации, а факт существенного перераспределения ее межразличными составляющими теплового баланса для орошае-

их территорий по сравнению с пустынными.

Как известно, поглощенная радиация П расходуется на эфктное излучение, испарение, турбулентный обмен и поток тепв почву. В то время как для пустыни величиной затраты тепна испарение можно с полным основанием пренебречь, для ошаемых территорий эта величина существенно велика. Кроме о, она значительно больше других составляющих теплового ланса, и пренебрегать ею, полагая  $F_{z=0} = (1-A)S = \Pi$ , естевенно, нельзя. Орошение также существенно меняет и величину фективного излучения F вследствие заметного уменьшения ипературы подстилающей поверхности, вызванного затратой гла на испарение, и значительного увеличения влажности. Как казывают экспериментальные данные по синхронному измеретемпературы почвы и влажности на орошаемом в пустыне, разница между максимальными значениями темпетуры почвы достигает 20°C и более, а увеличение влажности приземном слое над орошаемым полем достигает 5 мбар. Вследствие этого над орошаемым полем значительно уменьшается ланс длинноволнового теплового излучения. По эксперимента ным данным и согласующимися с ними теоретическим расчет такое уменьшение F в оазисе может достигать 50 % от величи эффективного излучения в пустыне. В результате сильного уме шения эффективного излучения и увеличения поглощенной рад ции радиационный баланс для орошаемых территорий зако мерно увеличивается, что, естественно, не нашло бы отраже в формулировке нижнего граничного условия из [10], кото полагает величину радиационного баланса неизменной (р ной 0) для территорий с разными альбедо.

В соответствии со сказанным, мы отказались от граничн условия, предложенного в [10]. В проведенной серии числення экспериментов по изучению влияния эффекта орошения на в тикальные скорости мы полагали  $F_{z=0}=F_N$ , где  $F_N$ — зна ния баланса длинноволнового излучения есть реальные вели ны F, полученые экспериментально (для некоторых числення экспериментов брались рассчитанные величины  $F_N$ ). Вследст этого в уравнениях (6) и (7) безразмерные величины F получения в результате деления на величину  $F_N$ , а параметр  $\lambda^2$ —

диус деформации — примет вид:

$$\lambda^2 = \frac{c_p T_\infty \overline{\rho_0} v_0 h}{4F_N \tau_\infty} \frac{N^2}{l^2}.$$

Подобная формулировка нижнего граничного условия для отражает реальные отличия F, имеющие место для пустыны и орошаемых территорий, и, таким образом, в ней находит ко чественное отражение не только фактор изменения альбедо п стилающей поверхности, но и такой важный для орошаем

территорий фактор, как затрата тепла на испарение.

В качестве экспериментальных данных для величин бала длинноволнового излучения, используемых в численной сх в нижнем краевом условии, нами были привлечены данные з педиций, проведенной в ГГО при участии Института пустынь Туркменской ССР в июле — августе 1972 г. в юго-восточной ч ти центральных Каракумов (район Чащкента). Во время экс диций в течение восьми суток проводился комплекс метеороло ческих наблюдений (в том числе и актинометрических) синхр но, идентичными приборами на двух площадках: в оазисе орошаемом хлопковом поле и в Каракумской пустыне, непоср ственно примыкающей к оазису и распространяющейся к сев от него на сотни километров. Характер поверхности этой ча пустыни — песчаная почва с редкой выгоревшей растите ностью. Измерения производились суточными сериями, включа щими 24 срока наблюдений, одновременно на двух площади Облачность за время наблюдений практически отсутствовала.

Заметим также, что результаты измерений во время дани экспедиции в Чашкент представляют большой интерес, так

литературе почти не встречается материалов синхронных налюдений на орошаемом поле и пустыни, за исключением, покалуй, лишь данных экспедиций ГГО 1953 г. в Пахта-Арале, имеющиеся данные наблюдений в оазисах не являются типичыми для орошаемых полей, хотя и могут быть использованых ишь для предварительных оценок эффекта орошения.

Для расчета были выбраны средние за сутки и экстремальные дневные и ночные) значения  $F_N$ , характеризующие величины ффективного излучения для пустыни и орошаемого поля. Кромеого, был проведен численный эксперимент, в котором в качетве  $F_N$  использовались рассчитанные в [9] величины  $\Delta F$ , отракающие изменения эффективного излучения при орошении  $K_{\Delta N}$ 

акумов.

Для всех этих граничных значений  $F_N$  были рассчитаны, соласно уравнениям модели, вертикальные скорости, обусловленные лишь эффектом изменения условий поглощения радиации перераспределением ее между отдельными составляющими теплового баланса поверхности (напомним, что для того, чтобы исключить наложение эффекта изменений w за счет существовавшего меридионального градиента T, температуры на границах области решения полагались равными).

Как показали результаты численных экспериментов, величины радиационно обусловленных вертикальных скоростей w в тропосфере над орошаемыми территориями меньше, чем над пустынными (примерно в 2-3 раза). Как известно, сильные нисходящие движения, сопровождаемые адиабатическим сжатием, способствуют деградации облачности и уменьшению главным образом, конвективных осадков. Следовательно, выявленную в результате численных экспериментов тенденцию к уменьщению скорости нисходящих движений в средней тропосфере над орошаемыми территориями можно рассматривать как фактор, препятствующий описанному выше и в [10] механизму усиления засушливых условий через увеличение скорости нисходящих движений, а значит и уменьшающий вероятность наступления пустынь т. е. эффект орошения вызовет поддерживающий его режим вертикальных скоростей. Максимальные различия в интенсивности радиационнообусловленных w, как показали расчеты, обнаруживаются в послеполуденные часы (примерно в 15 ч), когда особенно велика разница в величинах эффективного излучения для пустынных и орощаемых территорий в основном из-за значительного увеличения F в условиях сильного разогрева поверхности пустыни. В ночные часы значения w над орошаемыми и пустынными районами близки друг к другу и малы по абсолютной величине. Над орошаемыми районами суточный ход ш в тропосфере выражен слабо, в отличие от пустынных районов.

На рис. 1 представлены данные одного из проведенных численных экспериментов, в котором моделировалась ситуация орошаемого поля, окруженного пустыней. Полагалось, что орошаемая территория простирается на расстояние до 300 км (в преде-

лах значений  $\lambda$  от 0,3 до 0,7). Пустыни занимают территори в пределах значений  $\lambda$  от 0,1 до 0,3 и от 0,8 до 1,0. Потоки эфективного излучения на нижней границе атмосферы для разли ных типов поверхностей брались близкими к максимальным и данным средних из восьми серий наблюдений экспедиции в Чат кенте. Отчетливо проявляется описанная выше закономернос уменьшения абсолютных величин вертикальных скоростей всех рассчитанных уровнях в тропосфере, постепенное уменьш ние амплитуды вертикальных скоростей по мере перехода к бе

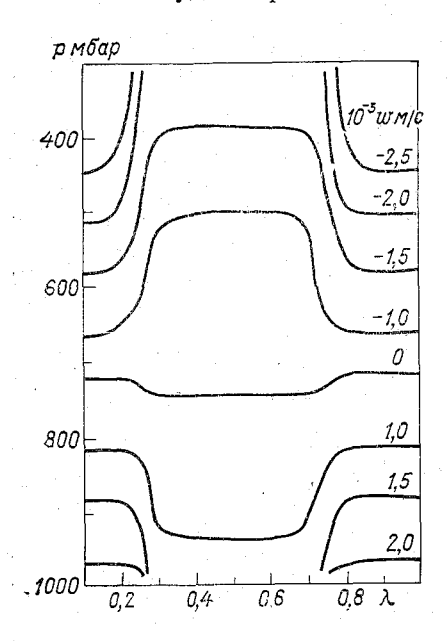


Рис. 1. Вертикальные скорости со для орошаемого поля, окруженного пустыней, рассчитанные по экспериментальным данным [11] при безоблачных условиях.

лее высоким уровням и посл дующая смена их направлени приблизительно с уровня 700 мба (отрицательные значения означают нисходящие движния).

В работе [2] был предложе способ учета в рассматриваемо численной модели эффекта вли перистой облачности вертикальные движения. Нали чие облаков верхнего яруса учи [2] тывалось в параметрическ посредством изменения величи баланса длинноволнового чения у земной поверхности и н верхней границе атмосферы, вы зываемых перистой облачносты На основе численных экспери ментов в [2] был сделан выво об уменьшении скорости нисх дящих движений в средней тро посфере в результате воздействение вия перистой облачности на ба ланс длинноволнового излучения

В настоящем исследовани последствий изменений радиз ционных характеристик подсти лающей поверхности вследстви

орошения мы также промоделировали эффект наличия перисто облачности для всех рассмотренных случаев изменений F для орошаемой и пустынной территорий. При этом эффект изменения перистой облачностью F задавался, как и в [2], согласто данных Флеминга и Кокса [12]. Для каждой из семи рассмотренных си туаций, различающихся типом поверхности и временем суток были также рассчитаны w при условии наличия над изучаемыми территориями как сплошной, так и несплошной перистой облачности. Наличие перистой облачности над каждым из рассмотренных типов подстилающей поверхности уменьшает величины радиационно обусловленных нисходящих движений в средней

опосфере и таким образом снижает возможность развития или силения антициклонической циркуляции, длительное наличие корой в летнее время способствует развитию засушливых усовий.

На рис. 2 a,  $\delta$  приводятся поля вертикальных скоростей для устынных и орошаемых территорий при условии наличия над ами несплошной перистой облачности. При этом задаются слеующие условия: участки перистой облачности горизонтальной ротяженностью 120 км ( $\sim 0.2$   $\lambda$ ) чередуются с такими же по ротяженности участками безоблачного неба. Видно, что как для

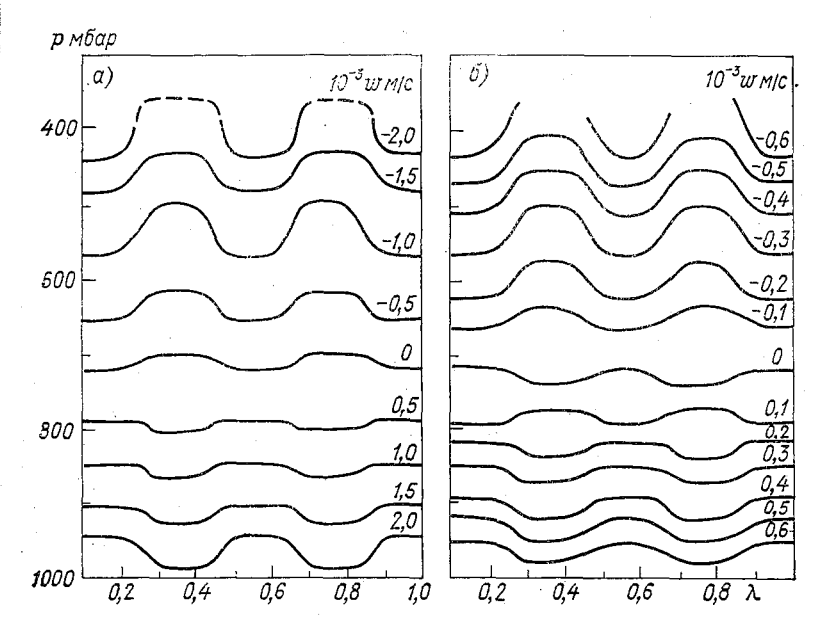


Рис. 2. Вертикальные скорости w над пустыней (a) и орошаемым полем  $(\delta)$  при наличии несплошной перистой облачности.

пустынных, так и для орошаемых территорий значения w при наличии перистой облачности меньше для всех расчетных уровней. Амплитуда изменений абсолютных величин w уменьшается слое от 400 до 750 мбар, после чего она опять возрастает. При наличии несплошной перистой облачности поле w перестраивается таким образом, что значения w на участках в просветах облачности немного меньше, чем для случаев, когда облачность отсутствует полностью над рассматриваемым районом.

Таким образом, наличие перистой облачности над орошаемой герриторией усиливает эффект влияния орошения на радиационно обусловленные вертикальные скорости, так как оба эти эффекта вызывают уменьшение нисходящих движений в средней тропосфере. Наличие же перистой облачности над пустыней будет не-

сколько снижать характерные для пустыни довольно больш радиационно обусловленные скорости и тем самым уменьша различие в значениях w над орошаемой и пустынной территори ми. По-видимому, особенно полезным было бы наличие Сі на граничной областью пустыня — орошаемая территория, для то чтобы избежать развития в этой промежуточной зоне при во можном изменении альбедо эффекта самоусиления пустынь, оп санного Чарни [10], который в принципе сможет привести к раширению зоны пустыни за счет территории оазиса. Хотя при д статочном орошении, которое сейчас проводится в осваиваемы районах Средней Азии, и правильном землепользовании, исключающем значительное увеличение альбедо в пограничной зон вероятность наступления пустынь в этих районах, по-видимом незначительна.

Как уже отмечалось выше, процесс расширения орошаемы земель в Средней Азии сопровождается понижением Аральского моря вследствие уменьшения стоков Амударьи и Сыр дарьи за счет вод, идущих на орошение. Поэтому представлял интерес промоделировать и эффект влияния такого рода измене ния подстилающей поверхности на большой территории на вер тикальные скорости в тропосфере. К сожалению, синхронны экспериментальных данных об эффективном излучении над вол ной поверхностью Аральского моря и окружающей его суше не оказалось. Однако весьма интересные данные такого план содержатся в [4], где приводятся результаты так называемого совмещенного подспутникового эксперимента, одной из которого являлось получение одновременных данных о радиаци онных характеристиках атмосферы у поверхности земли, на раз личных уровнях и ее верхней границе (ИСЗ). Выбор района зон дирования определялся в этом эксперименте, в частности, требо ванием наличия границы раздела двух поверхностей с сильно различающимся альбедо, вследствие чего в одном из полетов были измерены радиационные характеристики атмосферы над восточной частью Каспийского моря и восточным его побережь ем в районе Мангышлака.

Эксперимент проводился 1 августа 1971 г. Учитывая, что в подспутниковом эксперименте район зондирования, прилегающий к Каспийскому морю, представляет собой пустыню и находится примерно на широтах Аральского моря, мы пришли к заключению, что результаты численного моделирования с использованием данных этого эксперимента [4] будут в значительной мере отражать условия, характерные для Аральского моря и при-

легающих к нему территорий.

На рис 3 а, б представлены профили радиационно обусловленных вертикальных скоростей для моря и суши. Как видно из рисунка, значения w над морем меньше, чем над прилегающим побережьем, причем значения w над прилегающей к морю территорией несколько ниже, чем над Каракумами в послеполуденные часы (см. рис. 1).

Следовательно, как показывают данные расчетов, по мере поижения уровня Аральского моря, нисходящие скорости в средей тропосфере, обусловленные изменением эффективного излуения вследствие изменения типа подстилающей поверхности, удут увеличиваться для все больших территорий. В пределе, сли вместо водной поверхности Аральского моря будет поверхость типа пустыни, то для большой территории его бывшей акваории новые условия поглощения и перераспределения радиации тежду составляющими теплового баланса будут способствовать силению в средней тропосфере нисходящих движений, что, как

тмечалось, будет способствовать (альнейшему поддержанию и развичю засушливых условий. При этом задиационные характеристики обраовавшейся на месте Аральского моэя пустыни, по-видимому, будут неколько отличаться от окружающих (аракумов, значительную так как гасть поверхностного слоя будут сотавлять соли, вследствие чего альједо такой поверхности может со-:тавлять примерно 0,5—0,6,  $\tau$ . ольше, чем для окружающих ерриторий. Вопрос оценки вероятости засоления и близлежащих територий в этой ситуации в результате ыноса солей заслуживает дополниельного рассмотрения.

Разумеется, вследствие ряда огланичений в физической формулиювке использованной схемы [10, 2] приведенные здесь результаты численных экспериментов носят в значительной мере качественный характер. Эфрект радиационно обусловленных вергикальных скоростей может сочетаться в реальной атмосфере с рядом дру-

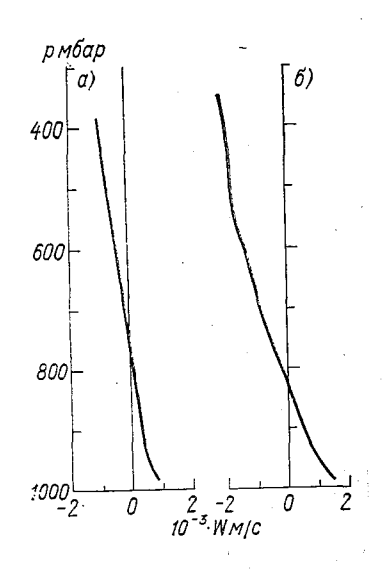


Рис. 3. Профили вертикальных скоростей w над морем (a) и сушей (б) рассчитанные по данным [4] при безоблачных условиях.

их эффектов, вследствие чего результирующая с может не следовать выявленным закономерностям. Однако поведение радиационно обусловленной ее составляющей будет в знацительной мере описываться в свете приведенных здесь данных.

Получение выводов о суммарном эффекте в различных ситуациях не входило в рамки данной работы, однако, по-видимому, эффект радиационной составляющей в ряде случаев будет определяющим, так как известно, что основные черты климата пустыни Средней Азии в летнее время обусловлены радиационными ракторами.

В результате численных экспериментов качественно удалось обнаружить следующие закономерности:

1. Орошение, обусловливающее уменьшение альбедо подсті лающей поверхности и, что наиболее существенно, значительно перераспределение энергий поглошенной солнечной между расходными составляющими теплового баланса, приводи к уменьшению радиационно обусловленных вертикальных скоре стей в тропосфере нал орошаемыми территориями (по сравнени с пустынными). Выявленную тенденцию к уменьшению скорост нисходящих движений в средней тропосфере можно рассматри вать как фактор, препятствующий механизму развития и само усиления засушливых условий через увеличение скорости нисхо дящих движений.

2. Образование перистой облачности над орошаемыми терри ториями усилит влияние орошения на радиационно обусловлен ные вертикальные скорости, поскольку перистая облачность так же способствует уменьшению скорости нисходящих движени

в средней тропосфере.

3. В связи с понижением уровня Аральского моря в резуль тате уменьшения стока рек из-за использования их водных ресур сов для орошения и возможным образованием пустыни на мест его акватории новые условия поглощения солнечной радиации и перераспределения поглощенной энергии будут способствоват усилению в средней тропосфере радиационно обусловленных ни сходящих движений. Это может содействовать дальнейшему под держанию и самоусилению засушливых условий над изменяю щейся подстилающей поверхностью, которая, по-видимому, бу представлять собой «белую» пустыню CO большим альбедо, чем для окружающих его территорий.

4. Полученные в работе результаты носят качественный ха рактер, так как физическая формулировка использованной дл оценок численной схемы построена с рядом ограничений, таких например, как исключение из рассмотрения адвективных факто ров, вледствие чего результирующий эффект влияния рассмотрен ных антропогенных изменений подстилающей поверхности може быть значительно сложнее и проявиться также в других районах

### СПИСОК ЛИТЕРАТУРЫ

1. Борисенков Е. П. Состояние и современные проблемы энергетики атмо сферных процессов. В кн.: Проблемы современной гидрометеорологии. Л.

Гидрометеоиздат, 1977, с. 123—144.

2. Борисенков Е. П., Ефимова Л. К. Теоретическая оценка влияния перистой облачности и альбедо подстилающей поверхности на динамику

антициклонов. — Труды ГГО, 1978, вып. 408, с. 101—111.

3. Горбунова И. Г., Орловский Н. С., Утина З. М. Изменение тем

пературы и влажности воздуха при орошении пустынных территорий.— Проблемы освоения пустынь, 1977, № 6, с. 9—14.

4. Кондратьев К. Я. и др. Совмещенный подспутниковый эксперимент, К. Я. Кондратьев, В. А. Иванов, В. Ф. Жвалев, М. А. Прокофьев, Н. Е. Тер Маркарянц, Л. И. Чапурский. — Труды ГГО, 1973, вып. 317, с. 105—114 5. Қонференция Организаций Объединенных Наций по на

ступлению пустынь. — Бюллетень ВМО, 1978, т. XXVII, № 1, с. 12—17.

Лайхтман Д. Л. О физических принципах нормирования орошения. —

Изв. АН СССР, сер. геофиз., 1955, № 6, с. 541—546. Минаева Е. Н. Возможные изменения в распределении составляющих испарения на равнинах Средней Азии.—В кн.: Вопросы антропогенных изменений водных ресурсов. М.: Изд. ИГ, 1976, с. 135—143.

Утина З. М. К вопросу о трансформации температуры и влажности при орошении. — Труды ГГО, 1973, вып. 297, с. 173—177. Утина З. М., Шехтер Р. Н. Влияние орошения на радиационный баланс

подстилающей поверхности и его составляющие. — Метеорология и гидрология, 1977, № 6, с. 17—23.

O. Charney J. G. Dynamics of deserts and drought in the Sahel.—Quart. J. Roy. Met. Soc., 1975, vol. 101, p. 193—202.

1. Ellsaesser H. W., MacCracken M. C., Potter G. L., Lutter F. M. An additional model test of positive feedback from high desert albedo.—Quart. J. Roy. Met. Soc., 1976, vol. 102, p. 655—666.

2. Fleming J. R., Cox S. R. Radiative effects of cirrus clouds.— J. Atmos.

Sci. 1974, vol. 31, p. 182-188.

## **СОДЕРЖАНИЕ**

Н. С. Шишкин. О запасах конвективной энергии в атмосфере	.
Н. С. Шишкин. К расчету водозапаса конвективных облаков над бол	ó-
шими территориями	1
вертикального профиля осадков из слоистообразных облаков	191
В. Г. Баранов, Ю. А. Довгалюк, А. В. Зинченко, Т. Ф. Кучин	
ская. Некоторые результаты расчетов вертикального профиля облож	
ных осадков	ζ-
денных водяных капель, находящихся в воздушной среде	. 2
В. В. Клинго, Г. Д. Кудашкин, Б. Ш. Файзуллин. Расчет числ	ıa
столкновений частиц реагента с облачными каплями для оценки дейс вия механизма контактной нуклеации	r- . 3
вия механизма контактной нуклеации	
к и н. Химический состав и заряжение капель при фазовых перехода	
Г. М. Башкирова, И. А. Молоткова. К вопросу о разрушении к	
пель при замерзании	. 51
Ю. Д. Дьяченко, Г. Д. Кудашкин, А. И. Сидоров, Н. А. Сили	н,
Н. С. Шишкин. Разработка пиротехнического самолетного аэрозол	ь
ного генератора для воздействия на облака	. 69
варительные результаты натурных экспериментов по вызыванию оса,	π-
ков из конвективных облаков при воздействии кристаллизующими ре-	a-
гентами с самолетов Ан-2	. 74
Т. Н. Громова, И. А. Скороденок, Н. В. Торопова, Т. М. У	a-
герман. О химическом составе дождя и града, выпавших из обла	a-
ков при проведении воздействий с целью градозащиты	. (* 84
А. А. Синькевич. К анализу работы ИК радиометра при измерении теп пературы воздуха в свободной атмосфере и в облаках	и- . 93
А. А. Синькевич. К вопросу о распределении температуры в мощны	
кучевых облаках, переходящих в кучево-дождевые	
Г. И. Осипова. Облачные ресурсы для искусственных воздействи	
Е. В. Оренбургская. К характеристике условий, благоприятных дл	ІЯ 📗
воздействия в пожароопасных районах Сахалина	. 117
В. Д. Панин, Е. Т. Никонова. Эксперимент по оценке влияния перистой облачности на динамику барических образований	и- . 123
Е. П. Борисенков, Л. К. Ефимова. Влияние антропогенных измен	
ний характеристик подстилающей поверхности и облачности на нек	
торые черты климата	. 136
	1